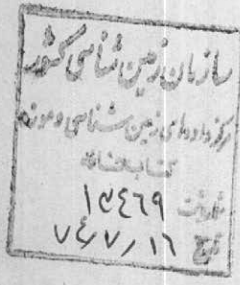


بسمه تعالیٰ

۱۳۷۳

وزارت معادن و فلزات  
سازمان زمین شناسی کشور  
طرح اکتشافات سیستماتیک موضوعی  
در ورقه ۱۰۰،۰۰۰:۱ کاشان



ارزیابی آندیس معدنی دره کامو (آبرده)

جلد سوم

توسط:  
سلیمان کوثری  
پیمان پارسی

مجری فنی: محمود کیوانفر

مجری طرح: محمود احمدزاده هروی

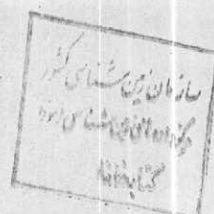
۱۳۷۳

## فهرست مطالب

---

- ۱- مقدمه
- ۲- تشکرات
- ۳- روش مطالعه
- ۴- تحلیل داده ها
- ۴-۱- انتشار مس
- ۴-۲- انتشار مولیبدنیوم
- ۴-۳- انتشار کبالت
- ۴-۴- انتشار کرم
- ۴-۵- انتشار نیکل
- ۴-۶- انتشار سرب
- ۴-۷- انتشار روی
- ۴-۸- انتشار نقره
- ۴-۹- انتشار و اندیوم
- ۴-۱۰- انتشار باریوم، استر اتیوم و بر
- ۵- تعبیر و تفسیرها
- ۵-۱- همیستگی عناصر
- ۵-۲- کانی سازی و سطح فرسایش در اندیس معدنی در هکامو
- ۵-۲-۱- نسبت عناصر فوق کانساری به تحت کانساری یا ضریب کانی سازی
- ۵-۳- رابطه کانی سازی و واحد های سنگی منطقه
- ۶- نتایج و پیشنهاد ات
- ۶-۱- نتایج
- ۶-۲- پیشنهاد ات

فهرست جد اول



۱	جدول شماره	۱	- کرو ہبندی آنومالیها در پروفیل AA
۲	"	"	- همیستگی خطی عناصر در اندازه کامو
۳	"	"	- صورت آنالیز نمونه های سک
۴	"	"	- ضریب همیستگی بروش های مختلف
۵	"	"	Group Averages
۶	"	"	Simple Averages
۷	"	"	Furthest Neighbours

فهرست نمودارها

P.1	نمودار شماره	۱	- نسبت عناصر فوق کانساری به تحت کانساری
P.2	"	"	" " " " " -۲
P.3	"	"	" " " " " -۳
P.4	"	"	" " " " " -۴
P.5	"	"	" " " " " -۵
P.6	"	"	" " " " " -۶
P.7			- مقایسه نمودارهای نسبت عناصر فوق کانساری به تحت کانساری
P.8			- نسبت نفر د به سرب
D.1			- انتشار اکسیدهای $TiO_2, Fe_2O_3, SiO_2$ در استاد پروفیل AA
D.2			- انتشار اکسیدهای $MnO, MgO, SiO_2$
D.3			" " " $TiO_2, MnO, MgO, Fe_2O_3$ " " -۱۱
D.4			" " " $Na_2O, K_2O, Al_2O_3, SiO_2$ " " -۱۲
D.5			" " " $P_2O_5, CaO, SiO_2$ " " -۱۳
H.1			- هیستوگرام فرا او انسی مس
C.1			- نمودار فرا او انسی تجمعی مس
H.2			- هیستوگرام فرا او انسی مولیبدنیوم

C.2	۱۷- نمودار فر او انى تجصى " "
H.3	۱۸- هیستوکرام فر او انى کبات
C.4	۱۹- نمودار فر او انى تجصى کبات
H.4	۲۰- هیستوکرام فر او انى کرم
C.4	۲۱- نمودار فر او انى تجصى کرم
H.5	۲۲- هیستوکرام فر او انى نیکل
C.5	۲۳- نمودار فر او انى تجصى نیکل
H.6	۲۴- هیستوکرام فر او انى سرب
C.6	۲۵- نمودار فر او انى تجصى سرب
H.7	۲۶- هیستوکرام فر او انى روی
C.7	۲۷- نمودار فر او انى تجصى روی
H.8	۲۸- هیستوکرام فر او اسى قلع
C.8	۲۹- نمودار فر او انى تجصى قلع
H.9	۳۰- هیستوکرام فر او انى و اندیوم
C.9	۳۱- نمودار فر او انى تجصى و اندیوم
H.11	۳۲- هیستوکرام فر او انى استر انسیوم
C.11	۳۳- نمودار فر او انى تجصى استر انسیوم
H.12	۳۴- هیستوکرام فر او انى استر انسیوم
C.12	۳۵- نمودار فر او انى تجصى استر انسیوم
H.13	۳۶- هیستوکرام فر او انى اسکاندیوم
H.13	۳۷- نمودار فر او انى تجصى اسکاندیوم
H.14	۳۸- هیستوکرام فر او انى کالیوم
C.14	۳۹- نمودار فر او انى تجصى کالیوم
H.15	۳۹-۸- هیستوکرام فر او انى نقره

C.15						-۴۰
D.6	AA	SiO <sub>2</sub>	Co, Cr	عنصر	پروفیل	-۴۱
P.8	"	"	"	عنصر باریوم، سربوروی	"	-۴۲
D.7	"	"	Zn, Pb, Cu	اکسید SiO <sub>2</sub>	"	-۴۳
D.8	"	"	V, Ni	"	"	-۴۴
D.9	"	"	Sc, Y, Ga	"	"	-۴۵
R.1	Sr, Ba					-۴۶
R.2	V, Ba					-۴۷
R.3	Cr, Co	"	"	"	"	-۴۸
R.4	Du, Co	"	"	"	"	-۴۹
R.5	Sn, Co	"	"	"	"	-۵۰
R.6	Zn, Co	"	"	"	"	-۵۱
R.7	Sc, Co	"	"	"	"	-۵۲
R.8	Y, Co	"	"	"	"	-۵۳
R.9	V, Cr	"	"	"	"	-۵۴
R.10	Y, Cr	"	"	"	"	-۵۵
R.11	Y, Cu	"	"	"	"	-۵۶
R.12	Sn, Cu	"	"	"	"	-۵۷
R.13	Sc, Cu	"	"	"	"	-۵۸
R.14	Zn, Cu	"	"	"	"	-۵۹
R.15	Ni, Cu	"	"	"	"	-۶۰
R.16	Ga, Cu	"	"	"	"	-۶۱
R.17	Y, Sn	"	"	"	"	-۶۲
R.18	Zn, Sc					-۶۳
R.19	Y, Sc	"	"	"	"	-۶۴
R.20	Sn, Ni	"	"	"	"	-۶۵
R.21	Zn, Ni	"	"	"	"	-۶۶

R.22	Y,Ni	"	"	"	"	-54
R.23	Sc,Ni	"	"	"	"	-58
R.24	Y,Ga	"	"	"	"	-59
R.25	Sc,Ga	"	"	"	"	-V.
R.26	Zn,Ga	"	"	"	"	-V1
R.27	Ni,Ga	"	"	"	"	-V2
R.28	V,Sc	"	"	"	"	-V3
R.29	Ni,Co	"	"	"	"	-V4
R.30	Cr,Ba	"	"	"	"	-V5
R.31	Zn,Y	"	"	"	"	-V6

فهرست نقشه‌ها

M0	۱- نقشه نمونه بردازی
M1	۲- " انتشار مس
M2	۳- " مولیبدنیوم
M3	۴- " کربات
M4	۵- " کرم
M5	۶- " نیکل
M6	۷- " سرب
M7	۸- " روی
M8	۹- " قلع
M9	۱۰- " نقره
M10	۱۱- " و آزادیوم
M11	۱۲- " استر انسلیوم
M12	۱۳- " باریوم
M13	۱۴- " بزر
M14	۱۵- " ایتریوم
M15	۱۶- " اسکاندیوم
M16	۱۷- " کالیوم
M17	۱۸- نقشه توپوگرافی

## فهرست مصادر

---

- ۱- مورت آنالیز نمونه ها (اسپکتروسکوپی)
- ۲- مطالعه سک شناسی پارادای از نمونه های سک
- ۳- تجزیه شیمیائی نمونه های سک
- ۴- توضیح کانی شناسی و تجزیه شیمیائی سکهای محدود داکتشاف
- ۵- توضیح کانی شناسی سک شناسی پروفنیل AA

در منطقه شمال شرق دهکده کامو اندیس معدنی معروف به آسبرد محتوی کانیهای پیریت، کالکوپیریت، ارسنوبیریت همراه ادبا عدیمهاشی از آهن در مجاورت باندهای آهکی در محدوده ای به وسعت ۳ الی ۵ کیلومتر مربع بطور پر اکنده بیرون زده است (عکس شماره ۱۵). اندیس مذکور به لحاظ میزان کسترش و همراه بودن با عدیمهای آهن که در مجاورت آهکهای متامورف شده کرتاسه قرار دارد، بدین لحاظ میباشیست تحت بررسی و ارزیابی قرار گرفته است بتوان نسبت به اکتشاف آن اقدام نمود.

کز ارش حاضر تحت عنوان مطالعه و ارزیابی اندیس معدنی کامو در واقع ارائه الگویی جهت بررسی و ارزیابی اندیسمهای معدنی است که از نقطه نظر اکتشافی میتوانند واجد ارزش بوده ولی قبل از هر کوته برنامه ریزی اکتشافی میباشی مورد بررسی و ارزیابی اکتشافی مقدماتی قرار گیرند تا از صرف وقت و هزینه نایجا جلوگیری بعمل آید. بهمین دلیل با توجه بروند کانی سازی اقدام به تنظیم طرح نمونه برداشتن محدود در امتداد محور کانی سازی گردید. نمونه های برداشته به تعداد ۴۰ عدد و بعنوان طولی ۲۰ متر اریکدیکر بمورت نموده برداشته بکاه ای از سنگهای بیرون زده در محدوده هر یک از ایستگاهها نمونه برداشته گردید. نتایج حاصل از آنالیز نمونه های مذکور و طبق آنها با نتایج نمونه های چکشی که بطور پر اکنده در محدوده اکتشاف برداشت شده بود متناسب ب انجام پاره ای از محاسبات زئوشیمیائی گردیده است. اهداف مهمی که از انجام این نوع مطالعه مد نظر بوده است

عبارت است از :

۱- بررسی موقعیت معدنی اندیس از نقطه نظر اکتشاف



- ۲- تعیین عناصر پار ازنس در محدوده اکتشاف
- ۳- تعیین عیار و محدوده رونهای کانیساز
- ۴- تعیین سطح فرسایش اندیس و موقعیت توده معدنی احتمالی نسبت به سطح توپوگرافی فعلی
- ۵- تعیین نوع کانیسازی احتمالی

جهت دستیابی به اهداف فوق، محاسبات آماری متعددی چون محاسبات تک عنصری و چند عنصری، تعیین نمودارهای نوسان عیار عنامر در طول پروفیل، تعیین همبستگی خطی و خوشای و همچنان جهت تعیین موقعیت فضایی توده معدنی احتمالی نسبت به سطح توپوگرافی از روش تعیین نسبت عنامر فوق کانساری به تحت کانساری نیز استفاده کردیده است که در نهایت بخش اول پروفیل (AA) کمترین عمق را نسبت به سطح توده معدنی احتمالی نشان میدهد.

انطباق ناهنجاریهای بدست آمده و تلفیق آنها با نمودارهای انتشار عنامر و نتایج حاصل از محاسبات همبستگی و بالاخره تلفیق نهادی با واحدهای سنگی و ساختیان زمین‌شناسی مقطع، حضور احتمالی یک کانیسازی پیمیتال را تأثیر می‌نماید که میتواند در رابطه با زون اسکارن نیز باشد.

با توجه به مطالعه صورت گرفته اندیس مذکور و اجد ارزش اکتشافی بوده و میتواند بعنوان محدوده‌ای مناسب جهت اکتشافات نیمه تفصیلی مورد استفاده قرار گیرد.

## ۲- تشریفات

علاوه بر این مهندس محمود کیو انفر مجری فنی محترم طرح اکتشافات موضوعی قابل سپاس و تشکر است. مشارکی بآفاق و جدیت اندیش در هکامو را جهت مطالعه و ارزیابی پیشنهاد و کلی برداشت‌های صحرائی و مطالعات دفتری را تا مرحله تهیی کز ارش پیکییری نموده و بازخوانی کز ارش را نیز تقبل نموده‌اند که بدینوسیله از زحات ایشان تشکر میکردد. از آقای دکتر رسول نوبروی و آقای حسین جزوودی که برداشت‌های صحرائی را نیز بعده داشته تشکر و سپاسگزاری میکردد.

زحات آقایان مهندسین بهروز برتا و محمد رضا چشم‌نمایی که اطلاعات جامعی در رابطه با محدوده اکتشافدر اختیار قرارداده‌اند تشکر و سپاسگزاری سی‌شنبه‌ای را طلب مینماید.

از آقای داود یحیی آبادی که در برداشت‌های صحرائی پیکییری، تهیی و آماده‌سازی نمونه‌ها را نیز بعده داشته‌اند تشکر میکردد. از سرکار خانم تمجید که تایپ کز ارش را نیز انجامداده‌اند صعیمانه تقدیر بعمل می‌ماید.

جهت مطالعه اندیس معدنی در هکامو (آبیرد) بدلیل کانی‌سازی‌های پیریت، مکنتیت، کالکوپیریت، آرسن‌پیریت و ظاهر آن در محدوده‌ای بوسعت‌بیش از چندین کیلومتر مربع و همچنین بدلیل اینکه مطالعه اندیس مذکور از نقطه‌نظر ارزیابی جهت اجرای یکبرنامه اکتشافی جامع نیاز به ارائه دلائل مثبت و غنی داشت، لذا طرح نمونه‌برداری را بر روی یکپروفیل‌طولی و در استداد روند کانی‌سازی جهت‌برداشت نمونه‌های چکشی انتخاب کردید.

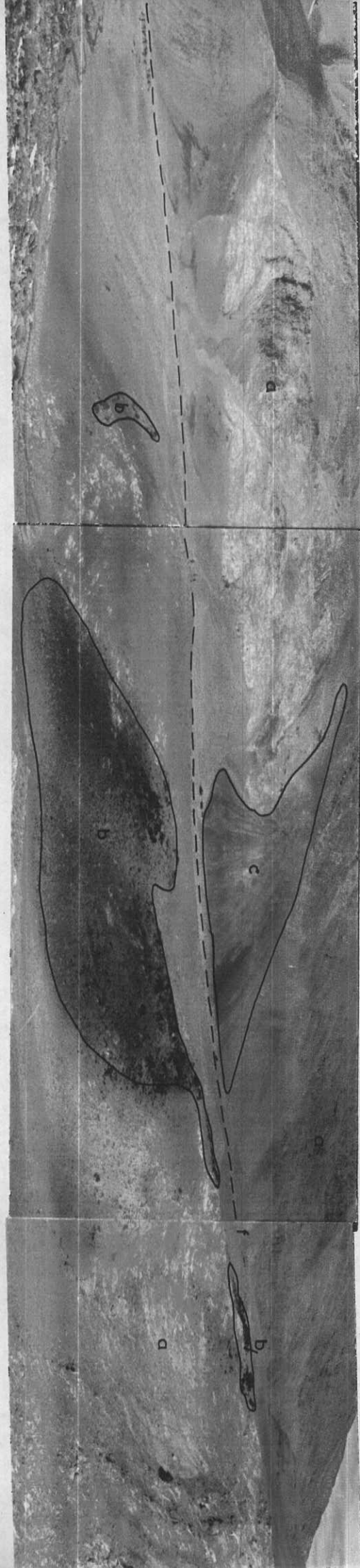
علاوه بر نمونه‌های چکشی (بستعداد ۳۸ عدد) در استداد پروفیل مذکور نمونه‌های چکشی نیز توسط کرو دماغن در چهار چوب اکتشافات چکشی در ورقه ۱:۱۰۰۰۰ کاشان برداشت کردیده که نتایج آن در تفسیر و تحلیل بکار رفت است. نقشه شماره (۲.۱) ارائه دهنده محل پروفیل و همچنین نمونه چکشی در محدوده اندیس مذکور است. پروفیل شماره AA ارائه دهنده محل برداشت نمونه‌های چکشی است که به فو اصل ۲۰ متری نمونه‌ها بصورت نکه‌ای (Chip sample) برداشت شده است. در هر ایستگاه نمونه‌برداری به شعاع ۱۰ متری از نقطه برداشت تعداد ۵ الی ۶ قطعه سنک از سطح غیر هوازده برداشت شده است. وزن تقریبی هر نمونه در هر ایستگاه ۱۰۰ گرم می‌باشد.

نمونه‌های برداشت شده در بخش نمونه‌کوبی تبدیل به پودر ۲۰۰ مش کردیده و بر این اسپکترومتری برای ۱۰ اکسید و ۱۹ عنصر مورد آنالیز قرار گرفته‌اند. از عناصر آنالیز شده عناصر:

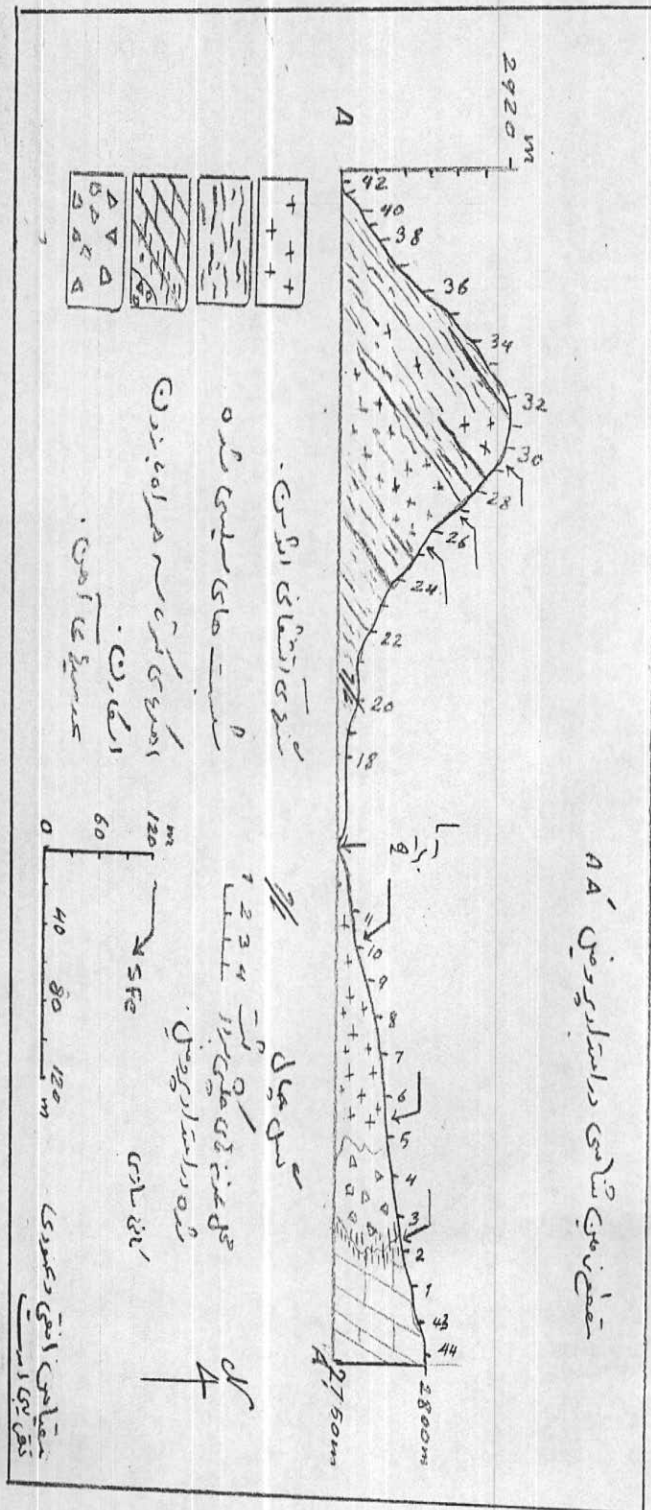
B, Ba, Co, Cr, Cu, Ga, Ni, Pb, Sc, Sr, V, Y, Zn

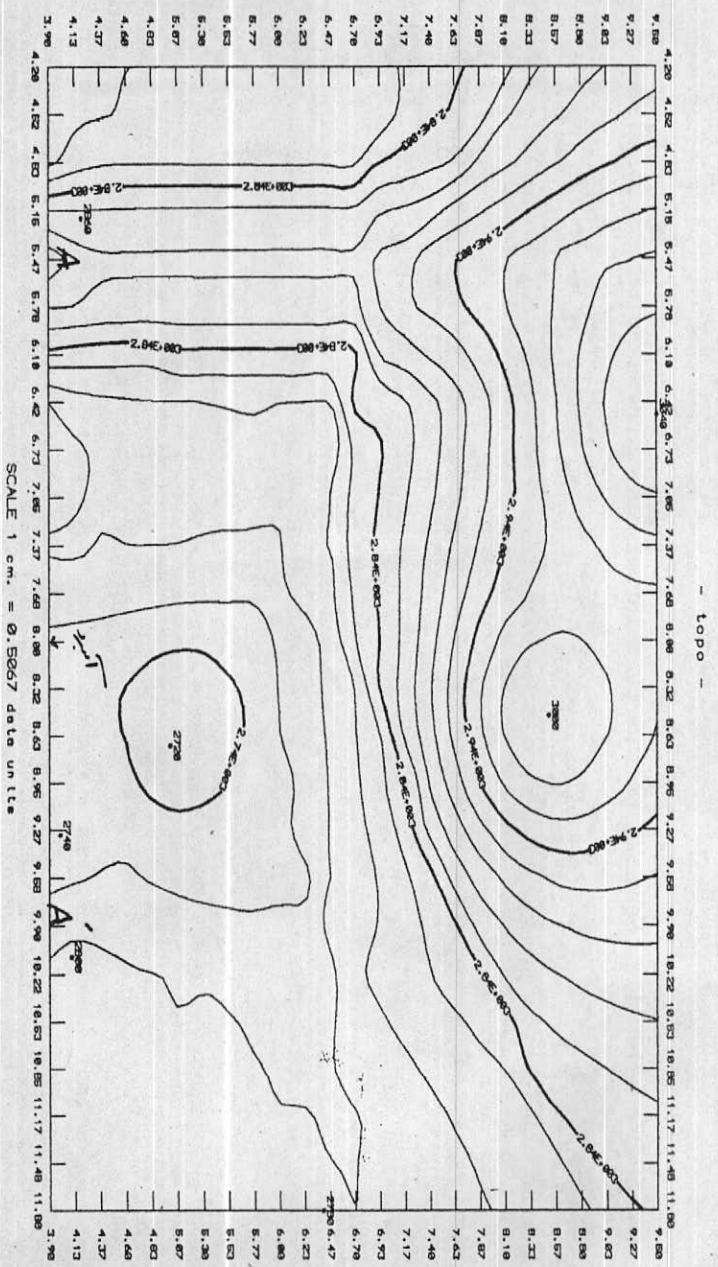
که در ای عیاری بالای حد تشخیص آزمایشگاه بوده‌اند مورد محاسبه

عکس شماره ۱: موقعت توپوگرافی اضفی زمین‌شناسی اندیز آبیرد (در کامو). نکاوه سمعتشن  
همایش و که در عکس دیده ممکن است آهن در کنترل آنکه اندیزه و  
در سمت طرق آمدهای کوتاه که بسته ای پیروانی (ابتدی ای پیروانی) مذکور به خوبی دیده ممکن است.  
در محدوده آمدهای مذکور کامنهای تسبیب اسکارن به ۱ کند ۱ است.  
بین اولیه و متل A بین نمونه های شماره ۱۰ و ۲۲ در عکس شماره ۱ دیده ممکن است.

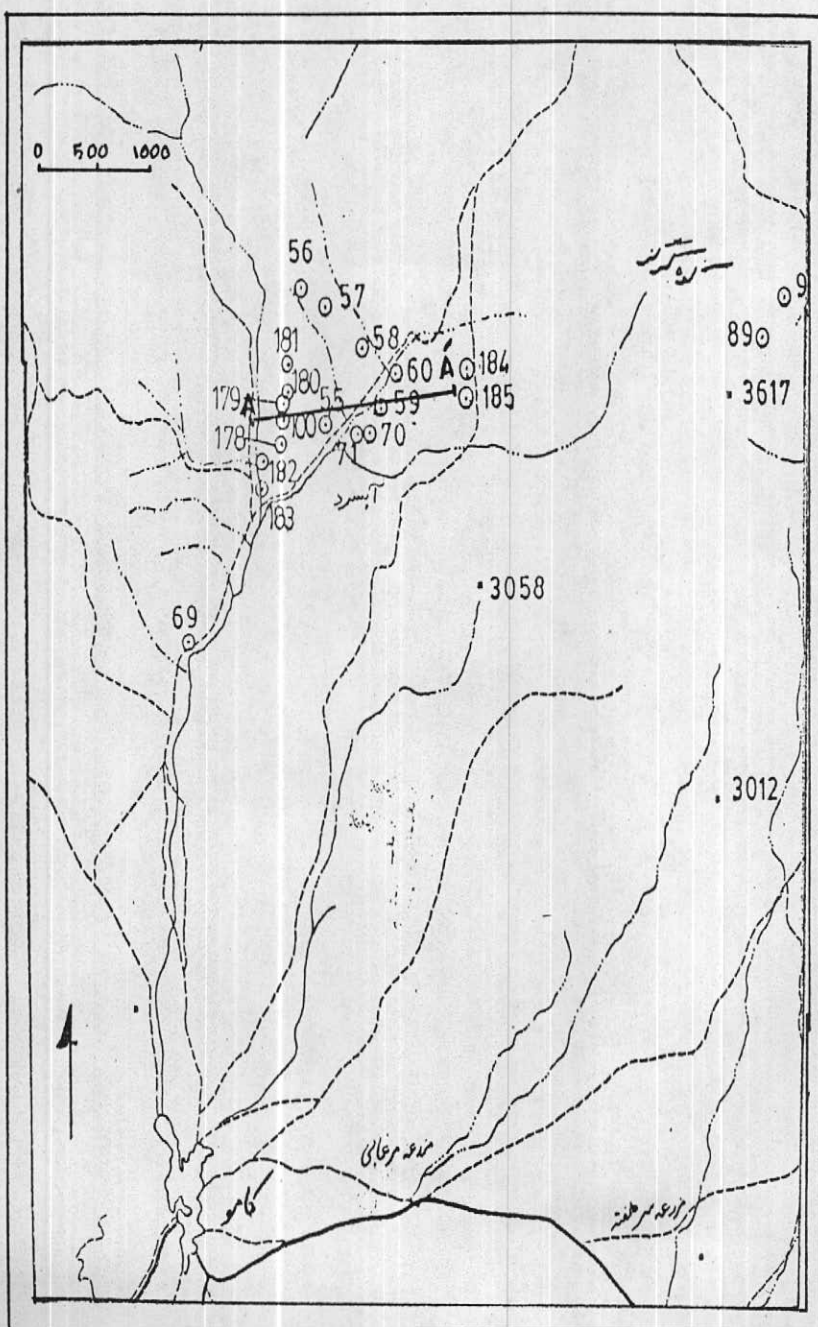


تھمہن میں تھامی دراستارکی وہیں، اُ





11.17



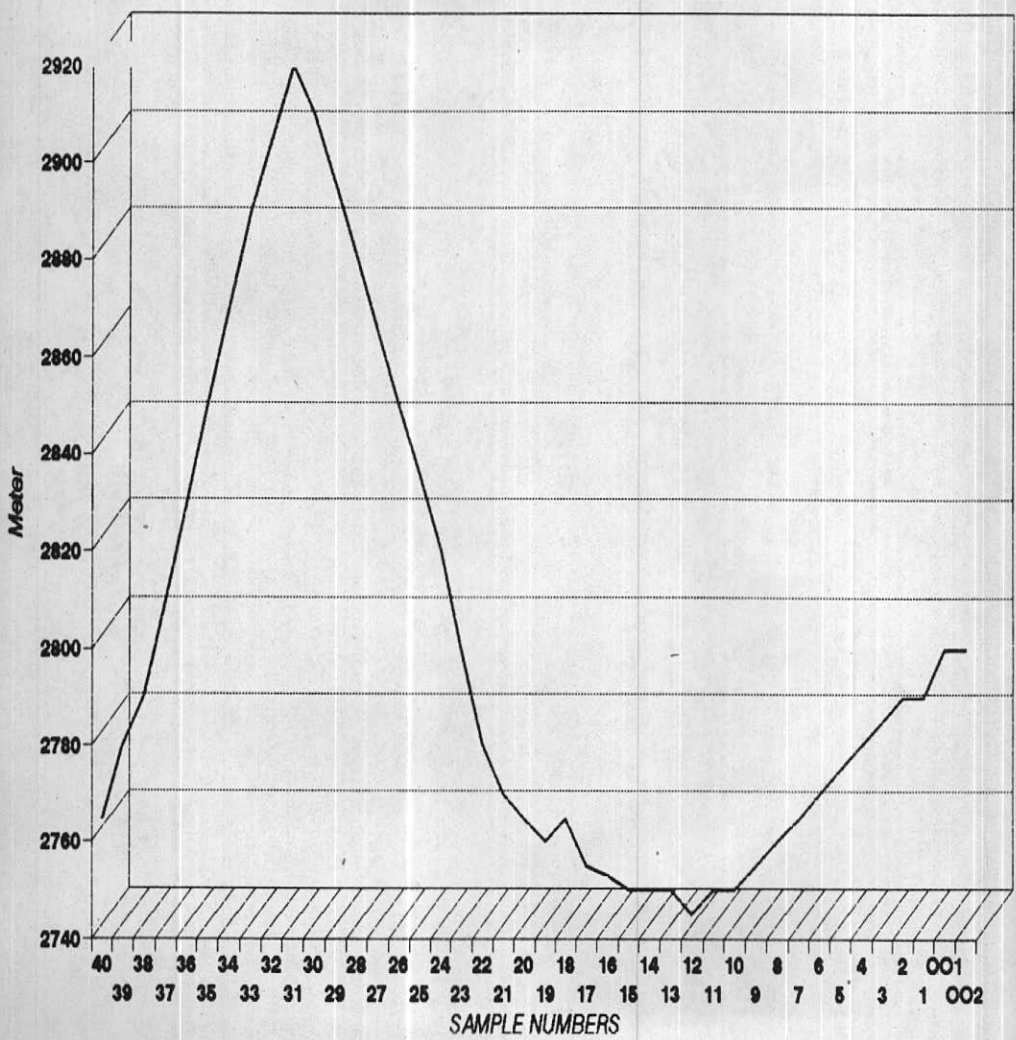
نقشه ۲۱: موقعیت نمونه برداری چکشی در محدوده آندیس آبرد و پروفیل AA.

موقعیت نمونه های چکشی

موقعیت پروفیل مطالعاتی

AA → A

### Cross section profile AA'





قرار گرفته اند و علاوه بر عنصر فوکالدکر با استفاده از روش جذب انتی، نقره و مولیبدن نیز مورد انداز هکیری واقع شده اند لذا در مجموع ۱۳ عنصر و ۱۰ اکسید جهت تعیین پتانسیل اندیس مذکور در محاسبات آماری بکار گرفته شده است. لازم بذکر است که تعیین عبار عنصر  $Sb, Au, W, As$  مورد درخواست بوده ولی بدلیل نبود امکانات آنالیز، آزمایشات مریوطه انجام نشده است.

جهت ارائه چکونگی انتشار عنصر و نوسان عبار هر عنصر در طول پروفیل مذکور، تعدادی دیاکر ام انتشاری تهیه شده است (دیاکر امهاي ۰۱ الى ۰۹).

دیاکر امهاي مذکور چکونگی نوسانات عنصر هم خانواده يا Paragences را نشان میدهدند.

محاسبات آماری بصورت دیاکر امهاي همبستگي خطی (دیاکر امهاي R1 الى R31) و هیستوگرام به شماره های H15 الى H1 و دیاکر امهاي فر او افني تجمعی (Cumulative Frequency) به شماره های C15 الى C1 ارائه شده اند.

چکونگی انتشار عنصر در محدوده اي بوسعت ۵ کیلومتر مربع با استفاده از نتایج حامل از آنالیز نمونه های چکشی و نمونه های چکشی برداشت شده در امتداد پروفیل بصورت نقشه های انتشار عنصر تهیه و ارائه شده اند (نقشه های انتشاری M1 الى M15). علاوه بر دیاکر امها و نقشه های مذکور، جهت تعیین موقعیت سطح بوده معدنی و احتمال حضور آن در امتداد پروفیل AA تعدادی دیاکر ام بعنوان دیاکر امهاي نسبت عنصر فوکالدکر به عنصر تحت کانساري به شماره P1 الى P7 نیز تهیه شده است.

محاسبات آماری با استفاده از نرم افزارهای Datamine, Geoeese، SurfexQuattropro نوشته شده اند. نقشه های پر اکنونگی تهیه و ارائه شده اند.

#### ۴- تطیلدادهای

---

نمودارهای فراوانی تجمعی و هیستوگرامها، کوبای چکونگی انتشار از نقطه نظر آماری می باشند. این نمودارها برای اکثر عناصر به ویژه عناصر کاسارساز تهیه گردیده است که در زیر به خصوصیات پارهای از این عناصر اشاره می کردد.

#### ۴-۱- انتشار مس

---

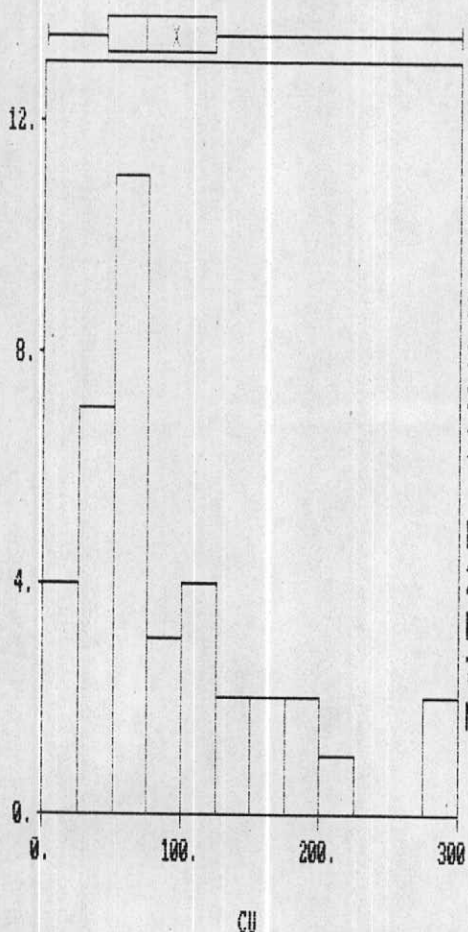
مس در امتداد پروفیل AA دارای انتشاری لکاریتی است. هیستوگرام شماره H1 نشان دهنده چولگی یا Skewness بالانسی است (۰.۱۹۶). ضریب پر اکنونگی انحراف معیار حول محور میانگین و با رقی<sub>Coefficient of Variation</sub> حدود ۷۸.۴۵۸٪ است که این خود با توجه به میانگین ۹۳.۹ نشان دهنده انحراف ۳۰ درصد نمونه ها ز میانه در عیاری بالای p.p.m100 می باشد (نمودار تجمعی ۰.۱).

در نقشه شماره M1 چکونگی انتشار مس در محدوده اندیس معدنی نشان داده شده است خطوط هم عیار نشان دهنده انتشار مس در سطح محدوده اکتشاف است. بطوریکه در نقشه مذکور دیده می شود بیشترین نر اکم در بخش اول پروفیل AA قرار دارد و عیار مس بطرف غرب و شمال غرب به ترتیب کم کشیده و بیشترین نمرکز در بخش شرقی و جنوب شرقی منطقه اکتشافی است.

Histogram

Data file: KAM04.DAT

Statistics

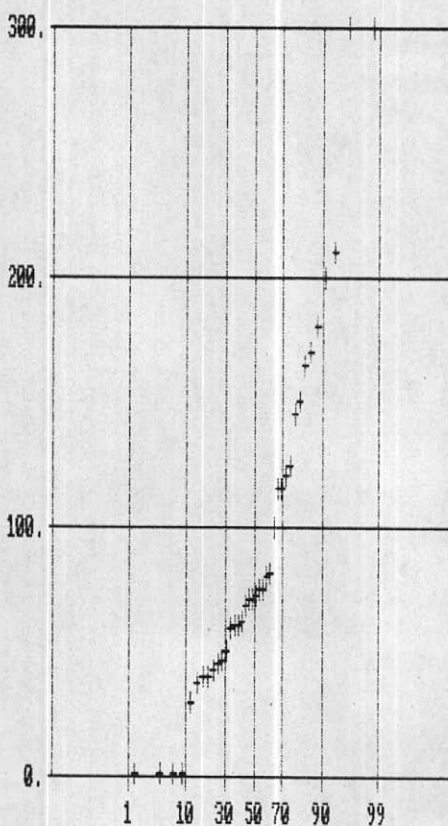


N Total :	38
N Miss :	0
N Used :	38
Mean :	93.895
Variance:	5426.961
Std. Dev:	73.668
% C.V. :	78.458
Skewness:	1.196
Kurtosis:	4.166
Minimum :	1.000
25th % :	43.500
Median :	72.000
75th % :	122.500
Maximum :	300.000

Normal Probability Plot for CU

Data file: KAM04.DAT

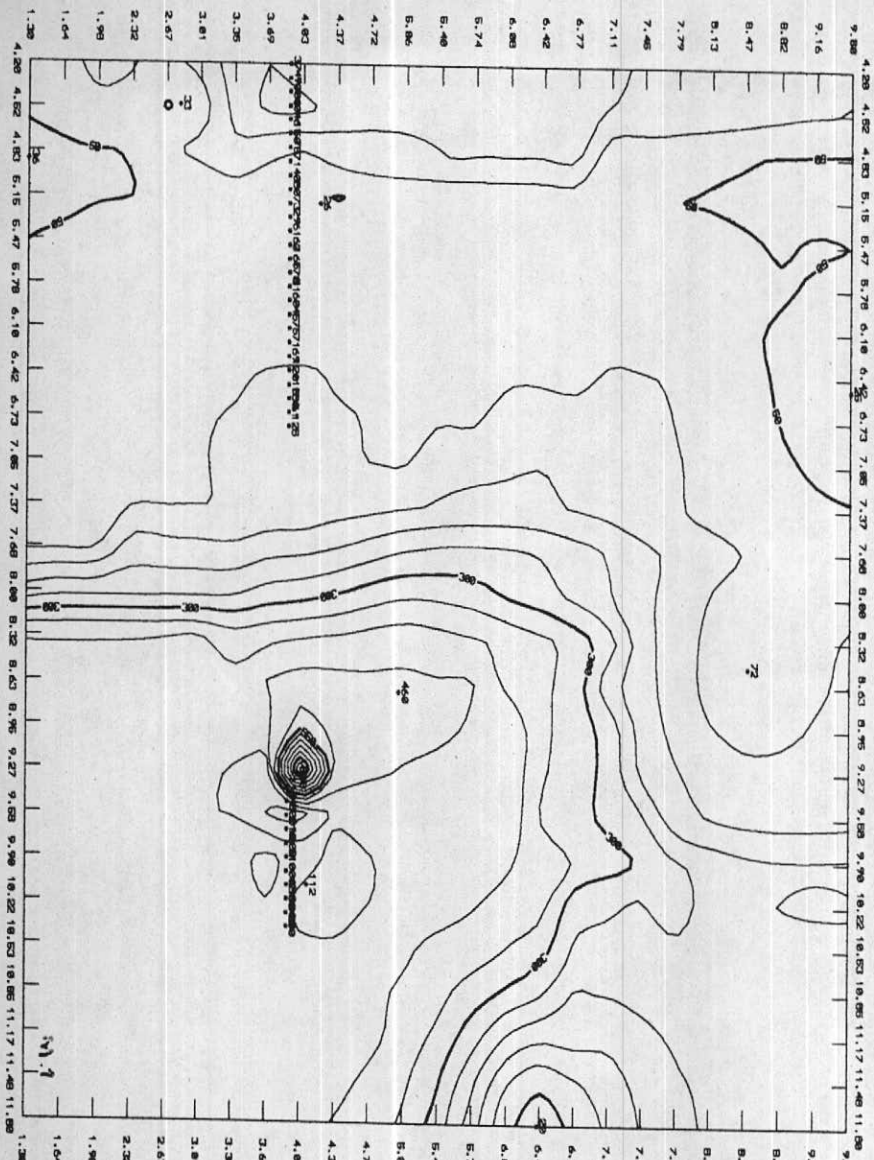
Statistics



N Total :	38
N Miss :	0
N Used :	38
Mean :	93.895
Variance:	5426.961
Std. Dev:	73.668
$\pm$ C.V. :	78.458
Skewness:	1.196
Kurtosis:	4.166
Minimum :	1.000
25th % :	43.500
Median :	72.000
75th % :	122.500
Maximum :	300.000

C.1

- Cu -



SCALE 1 cm. = 0.5467 data units

جدول شماره ۱۵: کرومبندی آنومالیها در امتداد پروفیل AA

عنصر	mean $\bar{x}$	Sd $s$	$\bar{x} + s$	$\bar{x} + 2s$	$\bar{x} + 3s$
Cu	94	74	168	242	>300
Co	17	12	29	41	>53
Cr	106	44	150	19	>238
Ni	31	33	64	97	>130
Pb	78	100	179	279	>380
Zn	180	204	384	588	>792
Mo	6.8	14.7	21.5	36.2	>50.9
Sr	89	54	14.8	202	>256
Sn	13.5	7.7	21	29	>37
Sc	14.9	7.4	22	30	>37
Ga	19.7	10.3	30	40.3	>50.6
Ag	2.7	3	5.7	8.7	>11.7
Y	31	20	51	71	>99
V	123	58	181	239	>297

بر اساس جدول شاره ۱ حد شروع آنومالی نوع اول ۱۶۸ و حد شروع آنومالی مطلق ۳۰۰ p.p.m است و با توجه به حضور نمونه هایی در حد بیش از ۱۰۰۰ محل تمرکز این عنصر با عیار بالای ۱۰۰۰ ppm در محدوده نمونه های ۵ الی ۷ واقع در محدوده عدیمه ای آهن و کنتاکت لایه های آهکی و همچنین در محدوده نمونه ۴۱ بخش انتهاشی پروفیل، میتوان انتظار داشت که محدوده مذکور محل تمرکز و کانی سازی احتمالی این عنصر باشد (نمودار D.7).

#### ۳-۴- انتشار مولیبدنیوم

از مجموعه ۳۹ نمونه ایکه در امتداد پروفیل AA برداشت شده است، تعداد ۹ عدد آن نشان دهنده عیار بالای ppm4 میباشد که با روش جذب انتی مورد آنالیز قرار گرفته است. هیستوگرام شماره H2۰ و نمودار فر او انسی تجمع ۰۲ کوبی انتشار لکاریتی این عنصر در طول پروفیل مذکور است.

مقدار میانگین مولیبدن ppm 6.763 و مقدار انحراف معیار ppm 14.956 میباشد. لذا ضریب پراکندگی انحراف معیار  $0.7\% = 216.749$  نشانه ای از درصد بالای انحراف معیار نسبت به مقدار میانگین وجود مقادیری در حد آنومالی مطلق ppm > 50.9 میباشد.

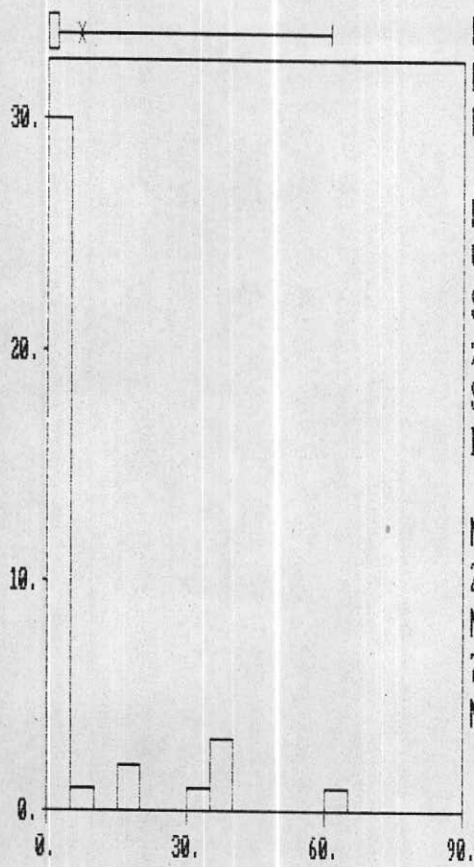
حد شروع آنومالی های سگانه ppm > 50.9, 36.2, 21.5 میباشد که اکثر نمونه هایی که در این حد قرار دارند منطقی بر محدوده زونهای آهن و آmekهای متامورف بخش اول پروفیل AA هستند.

#### ۴-۳- انتشار کبات

نمودارهای شماره C3,H3 ارائه دهنده انتشار لکاریتی کبات در طول پروفیل AA هستند. بر اساس جدول آماری نمودارهای فوق مقادیر

Histogram  
Data file: KAM04.DAT

Statistics



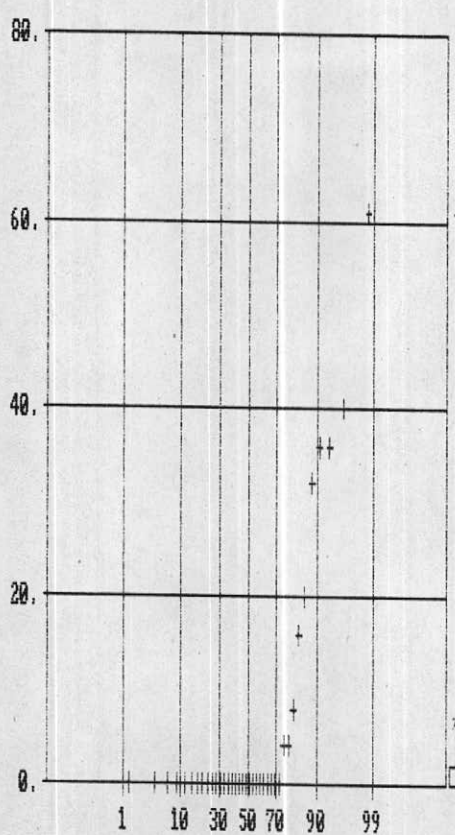
N Total :	38
N Miss :	0
N Used :	38
Mean :	6.763
Variance:	214.888
Std. Dev:	14.659
$\pm$ C.V.:	216.749
Skewness:	2.232
Kurtosis:	7.115
Minimum:	.000
25th $x$ :	.000
Median:	.000
75th $x$ :	2.000
Maximum:	61.000

4.2

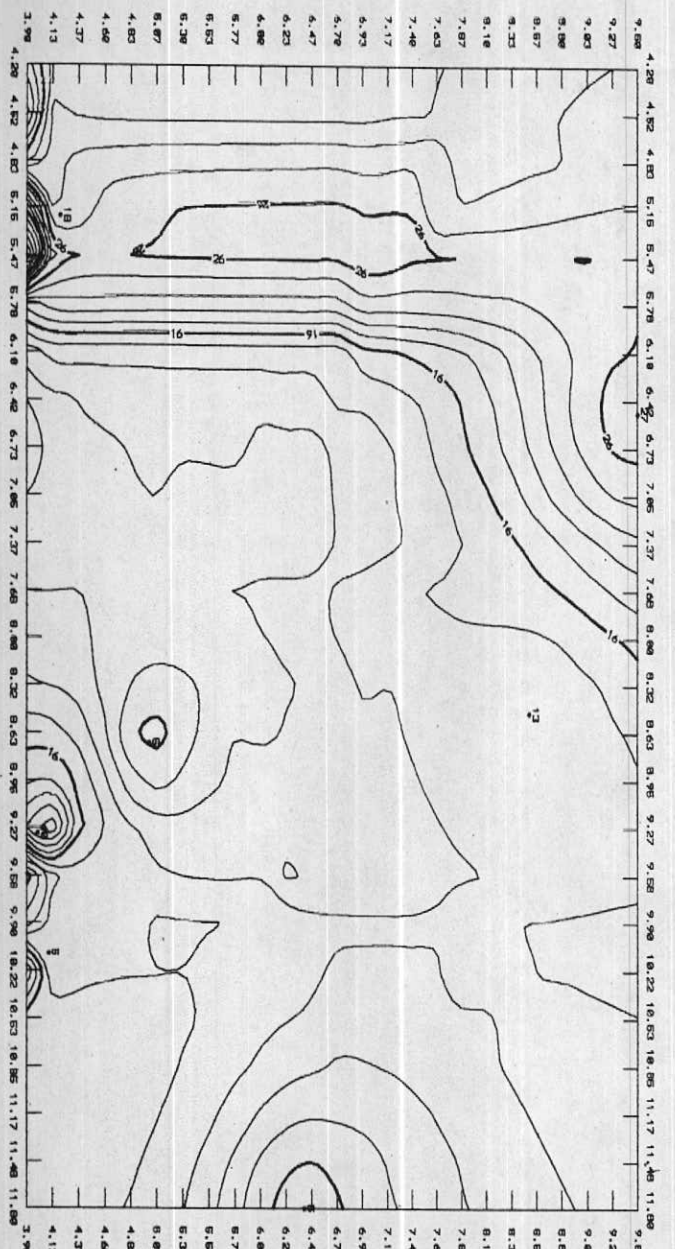
Normal Probability Plot for MD

Data file: KAM04.DAT

Statistics



C.2



۱۳

میانگین و انحراف معیار بترتیب  $16.58, 12.7$  ppm میباشد که در نتیجه ضریب پراکنده‌ی انحراف معیار بالاتر از ۵۰٪ یعنی ۷۶.۷۶٪ درصد است که این خود نیز نشانه‌ای از حضور تمرکزهای بالائی از کبات در طول پروفیل AA میباشد. انتشار کبات در بخش اول پروفیل در حد آنومالی مطلق یعنی بیش از ۵۸ ppm است و همچنین در بخش سوم پروفیل نیز عیار این عنصر در حد آنومالی مطلق مجدداً "ازنتقاض" پیدا میکند (محدوده نمونه‌ها ۱ الی ۸ همچنین نمونه‌های ۲۶ الی ۴۱).

نقشه شماره M3 نیز انتشار جفر افیاسی این عنصر را نشان میدهد، بطوریکه بیشترین تمرکز محدوده شرقی و غربی منتهی‌الیه پروفیل AA میباشد.

#### ۴-۴- انتشار کرم

انتشار این عنصر نیز لکاریتی است و حد اکثر عیار این عنصر رقمی حدود ۱۸۰ ppm است در صورتیکه حد شروع آنومالی مطلق این عنصر بر اساس محاسبات آماری ۲۳۸ ppm میباشد (جدول شماره ۱) لذا حد اکثر مقدار کرم در حد آنومالی درجه دوم قرار دارد.

نحوه اهای H4, H4 چونکی انتشار و نقشه m4 چونکی انتشار جفر افیاسی کرم را نشان میدهد. در نقشه M4 بیشترین تمرکز در بخش غربی محدوده بویژه بخش انتهایی پروفیل AA دیده میشود (نحوه D.6) و این محدوده بیشتر منطبق بر واحدهای سنگی و لکانیکی

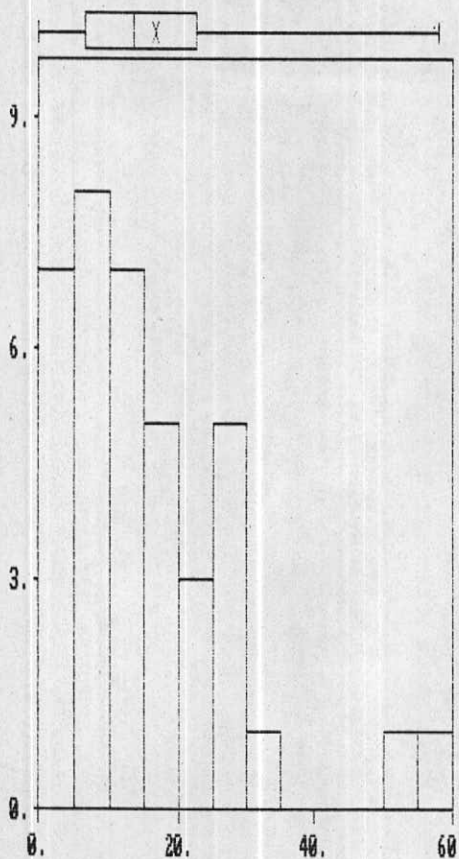
#### ۴-۵- انتشار نیکل

با توجه به مقادیر میانگین ۳۱.۵۲۶ و انحراف معیار ۳۲.۹۴۴ مقدار ضریب تغییرات یا پراکنده‌ی این عنصر حول محور میانگین

Histogram

Data file: XAM04.DAT

Statistics



N Total :	38
N Miss :	0
N Used :	38
Mean :	16.579
Variance:	161.988
Std. Dev.:	12.727
% C.V. :	76.767
Skewness:	1.455
Kurtosis:	5.238
Minimum :	.000
25th % :	6.500
Median :	13.500
75th % :	22.500
Maximum :	58.000

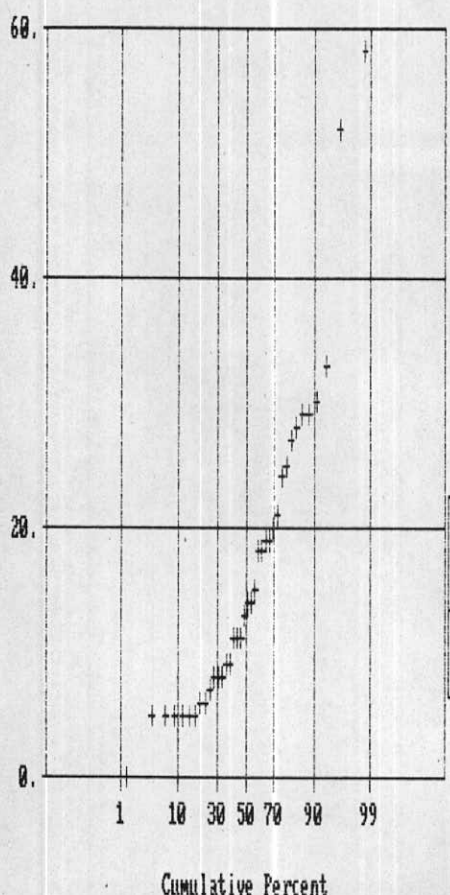
CO

H.3

Normal Probability Plot for CO

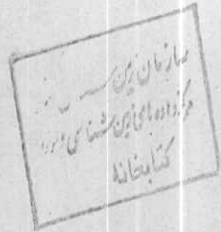
Data file: KAM04.DAT

Statistics



N Total :	38
N Miss :	0
N Used :	38
Mean :	16.579
Variance:	161.980
Std. Dev:	12.727
$\chi$ C.V. :	76.767
Skewness:	1.455
Kurtosis:	5.238
Minimum :	.000
25th $\chi$ :	6.500
Median :	13.500
75th $\chi$ :	22.500
Maximum :	58.000

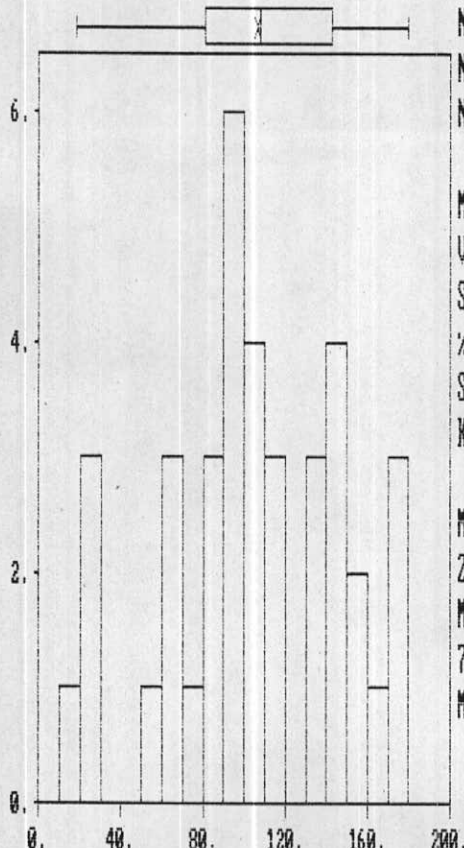
C.3



Histogram

Data file: XAM04.DAT

Statistics



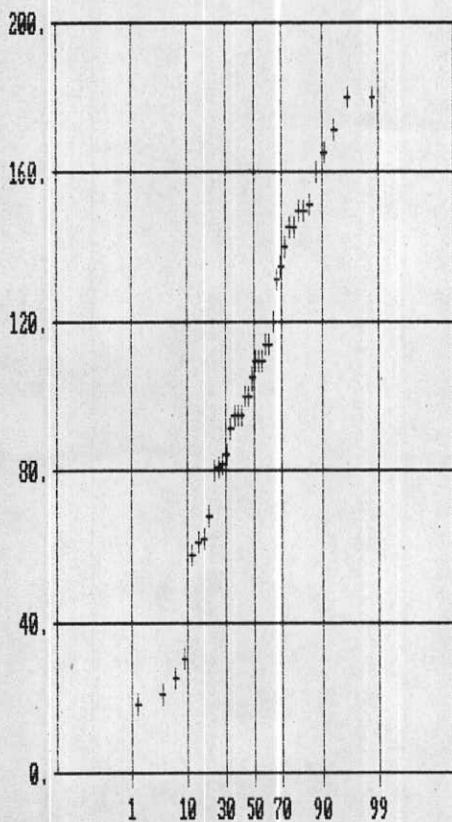
N Total :	38
N Miss :	0
N Used :	38
Mean :	106.158
Variance:	1931.650
Std. Dev:	43.951
% C.V. :	41.481
Skewness:	- .256
Kurtosis:	2.482
Minimum :	18.000
25th % :	80.500
Median :	107.500
75th % :	142.500
Maximum :	180.000

CR

H.4

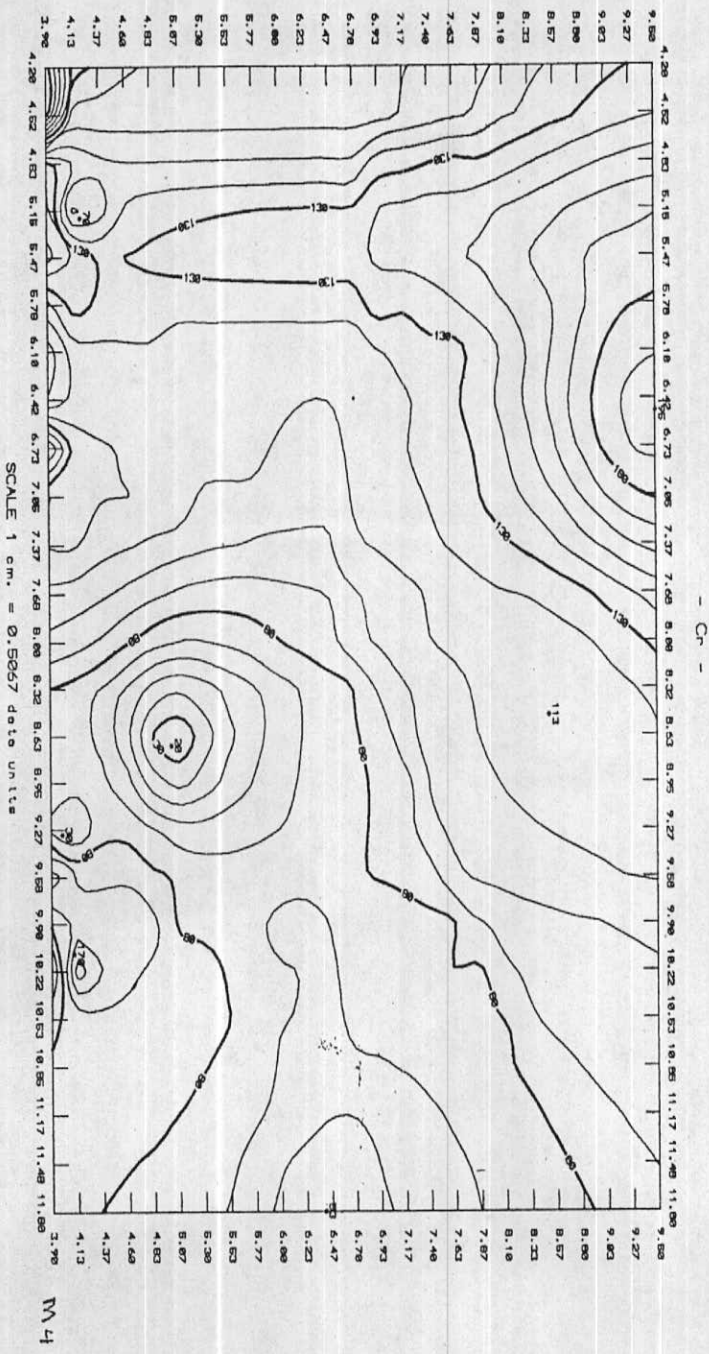
Normal Probability Plot for CR  
Data file: XAM04.DAT

Statistics



N Total :	38
N Miss :	0
N Used :	38
Mean :	106.158
Variance:	1931.650
Std. Dev.:	43.951
% C.V. :	41.481
Skewness:	-.256
Kurtosis:	2.482
Minimum :	18.000
25th % :	88.500
Median :	107.500
75th % :	142.500
Maximum :	188.000

C.4



رقمی حدود 104.496 درصد خواهد شد که نشانه ای از حضور ارقامی در حد آنومالی می باشد (نمودار C.5,H.5). نمودار شماره 0.8 انتشار این عنصر را با عیار بالا در بخش اول پروفیل و بخش سوم به خوبی نشان میدهد. (جدول شماره ۱). شروع آنومالی مطلق نیکل را بیش از ppm130 نشان میدهد که نمونه های شماره 7,5,2 واقع در بخش اول و نمونه های 41,31 در بخش سوم پروفیل دارای مقادیری بیش از ppm130 می باشند. نشانه شماره M5 چکونگی انتشار جفرافنیاپنیکل را نشان میدهد. در بخش غربی محدوده اکتشاف بویژه بخش سوم پروفیل AA مناطق تمرکز و تجمع یافته نیکل که متعلق بر محدوده انتشار سنگهای ولکانیکی هستند نشان میدهد.

#### ۴-۶- انتشار سرب

---

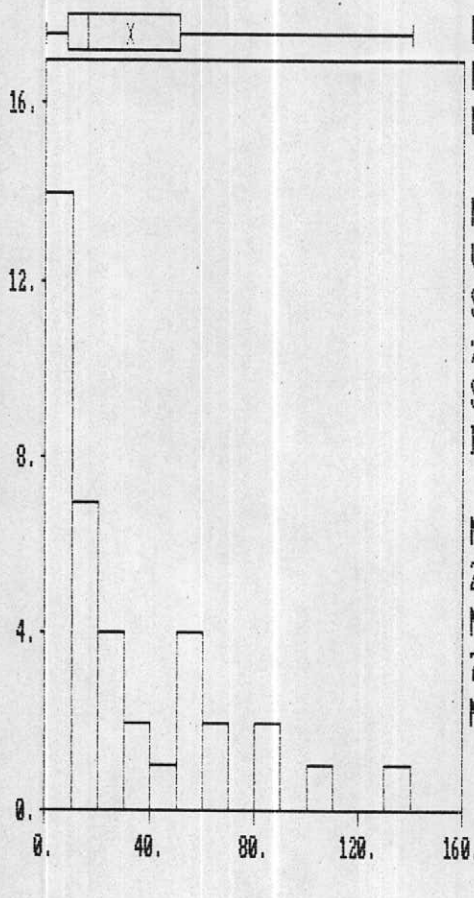
نمودارهای P.8 و نشانه M6 موقعیت و چکونگی انتشار این عنصر را در طول پروفیل و در محدوده اکتشاف نشان میدهد. عیار سرب در بخش دوم پروفیل نسبت به اول حدوداً است نمونه های 22 تا 31 افزایش نشان میدهد و در بخش اول پروفیل به استثناء نمونه شماره 7 که تا مرز ppm 200 افزایش یافت است در بقیه نمونه ها عیار در حد چند ppm می باشد.

نمودارهای تجمعی هیستوگرام C6,H.6 چکونگی انتشار لکاریتی این عنصر را ارائه می نمایند. بر اساس اطلاعات آماری مقدار میانگین 78 و انحراف معیار ppm100.6 است که در نتیجه مقدار ضریب نوسان انحراف معیار در حد 128.9 درصد نموده و حضور نمونه هایی با عیار بالا (آنومالی مطلق) را نمود میدهد. مقدار شروع آنومالی سرب در امتداز ppm179 و آنومالی مطلق آن ppm380 می باشد لذا با توجه

Histogram

Data file: XAM04.DAT

Statistics



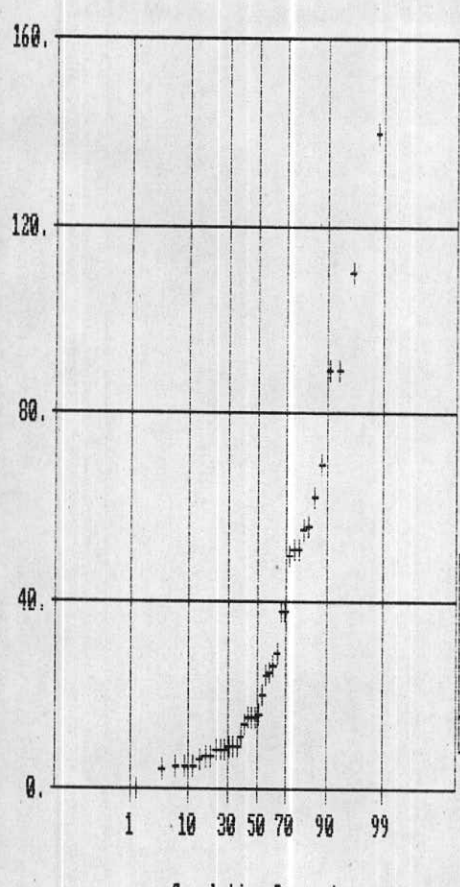
N Total :	38
N Miss :	0
N Used :	38
Mean :	31.526
Variance:	1065.283
Std. Dev:	32.944
$\pm$ C.V.:	104.496
Skewness:	1.538
Kurtosis:	4.915
Minimum :	.000
25th $x$ :	8.000
Median :	15.500
75th $x$ :	50.500
Maximum :	140.000

+ .5

Normal Probability Plot for NI

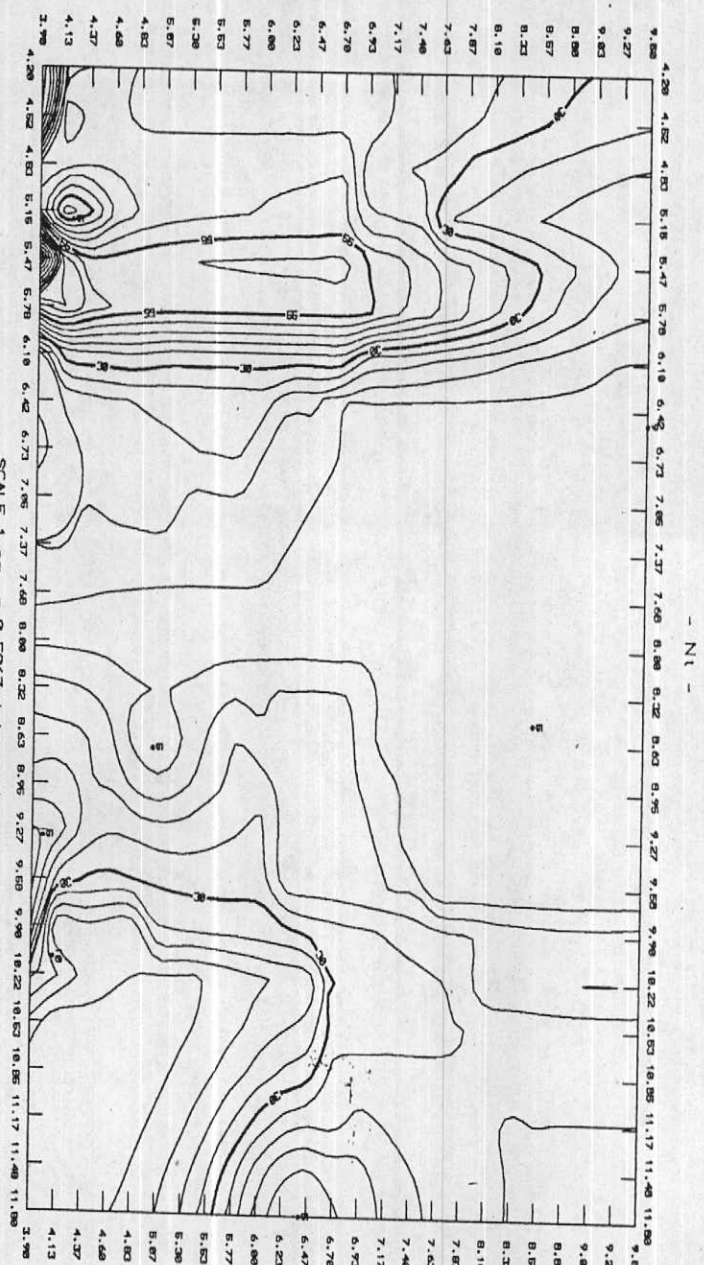
Data file: KAM04.DAT

Statistics



N Total :	38
N Miss :	0
N Used :	38
Mean :	31.526
Variance:	1085.283
Std. Dev:	32.944
% C.V.:	104.496
Skewness:	1.538
Kurtosis:	4.915
Minimum :	.000
25th % :	8.000
Median :	15.500
75th % :	50.500
Maximum :	140.000

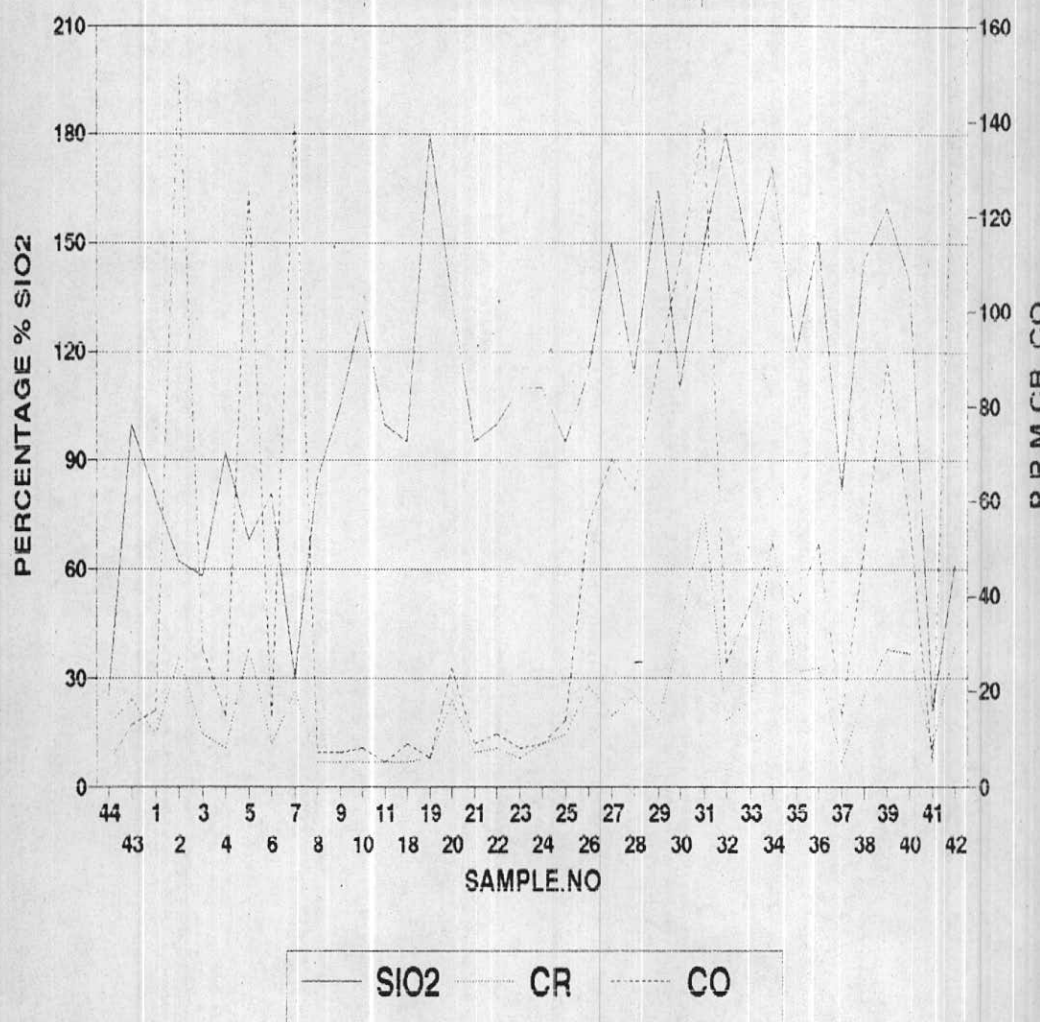
C. S.



M 5

2

DISTRIBUTION OF SIO<sub>2</sub>, CR, CO  
IN KAMO INDICE (D.6)



— SIO<sub>2</sub> — CR — CO

ب کلارکستکمای مشابه از نوع ولکانیک رفی حدود ۵ تا ۲۰ ppm است ارقام بدست آمده نشانه‌ای از حضور کانی‌سازی احتمالی است (جدول شماره ۱).

#### ۴-۷- انتشار روی

انتشار روی به مانند سرب اوای انتشار لگاریتمی است. مقدار میانگین ۱۷۹.۷ و انحراف معیار ۲۰۴.۵ ppm است که در نتیجه ضریب تغییرات آن بالغ بر  $\% 0.7 = 113.7$  میکردد (نمودارهای ۷، H.7). انتشار روی بر خلاف سرب در بخش اول پروفیل دارای عیار بالاشی در حد ۱۰۰ ppm است و در بخش سوم پروفیل مجدداً "مقدار روی افزایش نشان میدهد. در نقشه شماره M7 محل تمرکز روی را در بخش شرقی و کمی بالاتر از پروفیل دیده میشود که تا بیش از ۱۰۰۰ ppm دارد. بر اساس مقایسه نقشه‌های انتشار روی و مس، این دو عنصر از نقطه نظر همبستگی و انتشار جفرانیابی بر یکدیگر منطبق میباشد.

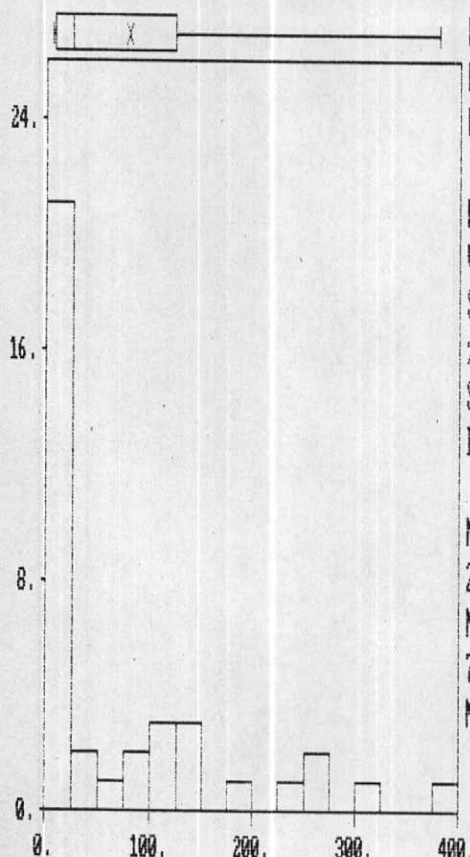
#### ۴-۸- انتشار قلع

از مجموعه ۳۹ نمونه‌ای که در طول پروفیل AA برداشت شده ۹ عدد آن بالای ۱۰ ppm قلع دارند. محدوده نمونه‌هاییکه در حد آنومالی و افعه‌ستند بیشتر منطبق بر بخش اول پروفیل و بخش شرقی محدوده اکتشاف (نقشه M.8). حضور احتمالی قلع میتواند در رابطه با کن tact عدیمهای آهن و لایه‌های آهکی باشد بویژه اینکه نمونه شماره ۲ تا ۴۸ ppm دارای قلع میباشد. علاوه بر بخش اول پروفیل در محدوده تمرکز یافته روی مقدار قلع نیز نوعی تمرکز را نشان میدهد. در نتیجه بخش شرقی محدوده اکتشاف عیار قلع بیش ۱۴ ppm قلع دارد، که بالاترین تمرکز این عنصر در بخش اول پروفیل میباشد.

Histogram

Data file: KAM04.DAT

Statistics



N Total :	38
N Miss :	0
N Used :	38
Mean :	78.853
Variance:	18122.978
Std. Dev:	100.613
% C.V.:	128.904
Skewness:	1.465
Kurtosis:	4.181
Minimum :	5.000
25th x :	8.000
Median :	24.000
75th x :	122.500
Maximum :	386.000

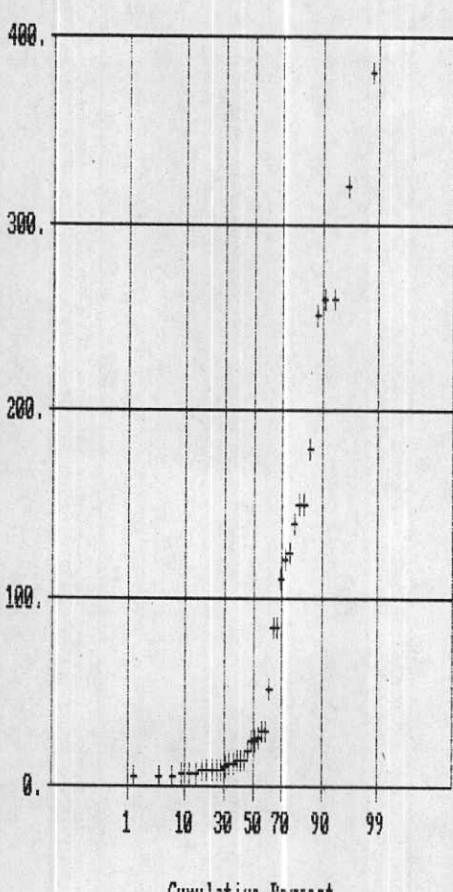
H-6

Yale University  
Statistical Analysis System

Normal Probability Plot for PB

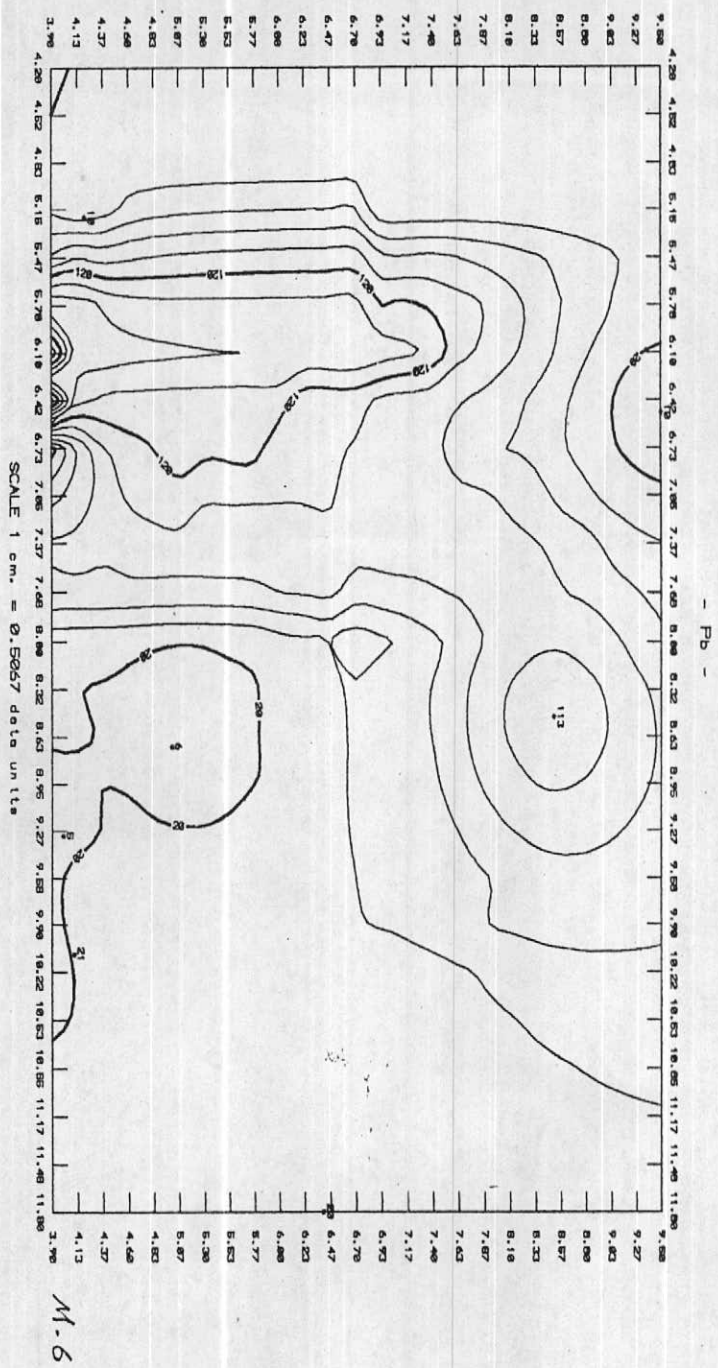
Data file: KAM04.DAT

Statistics



N Total :	38
N Miss :	0
N Used :	38
Mean :	78.853
Variance:	18122.978
Std. Dev:	100.613
% C.V. :	128.904
Skewness:	1.465
Kurtosis:	4.181
Minimum :	5.800
25th x :	8.800
Median :	24.000
75th x :	122.500
Maximum :	380.000

C.6



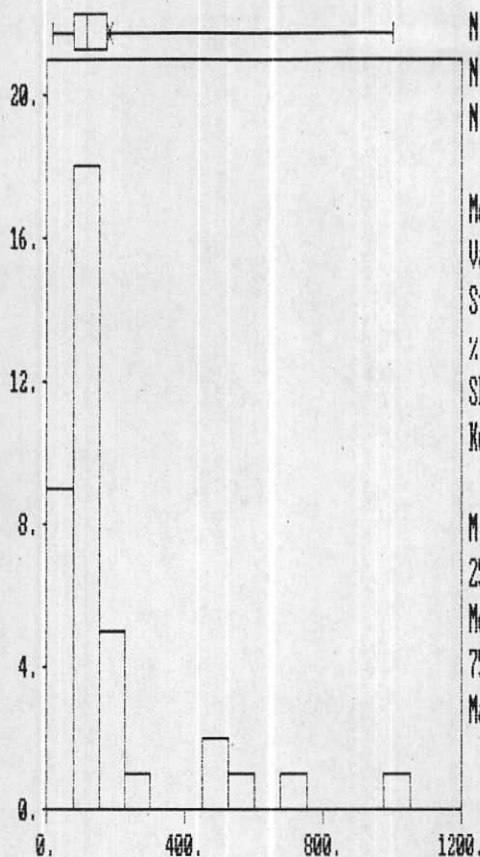
M - 6

b

Histogram

Data file: KAM04.DAT

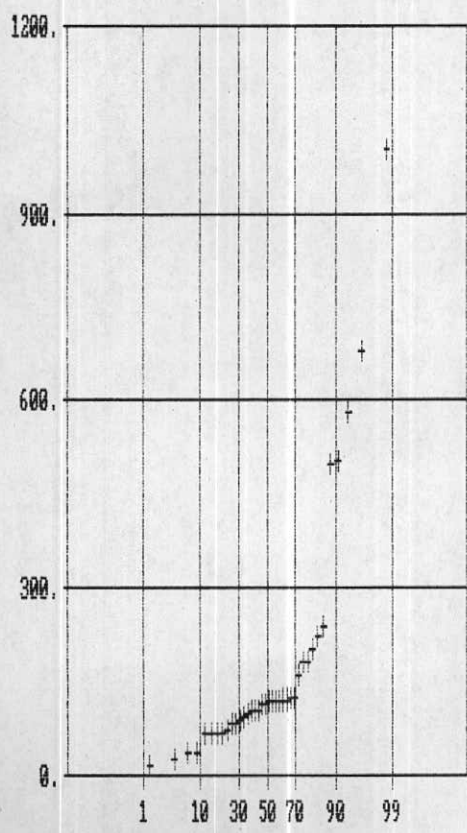
Statistics



N Total :	38
N Miss :	0
N Used :	38
Mean :	179.763
Variance:	41805.110
Std. Dev:	204.463
% C.V. :	113.740
Skewness:	2.495
Kurtosis:	8.984
Minimum :	15.000
25th x :	77.000
Median :	115.000
75th x :	178.000
Maximum :	1000.000

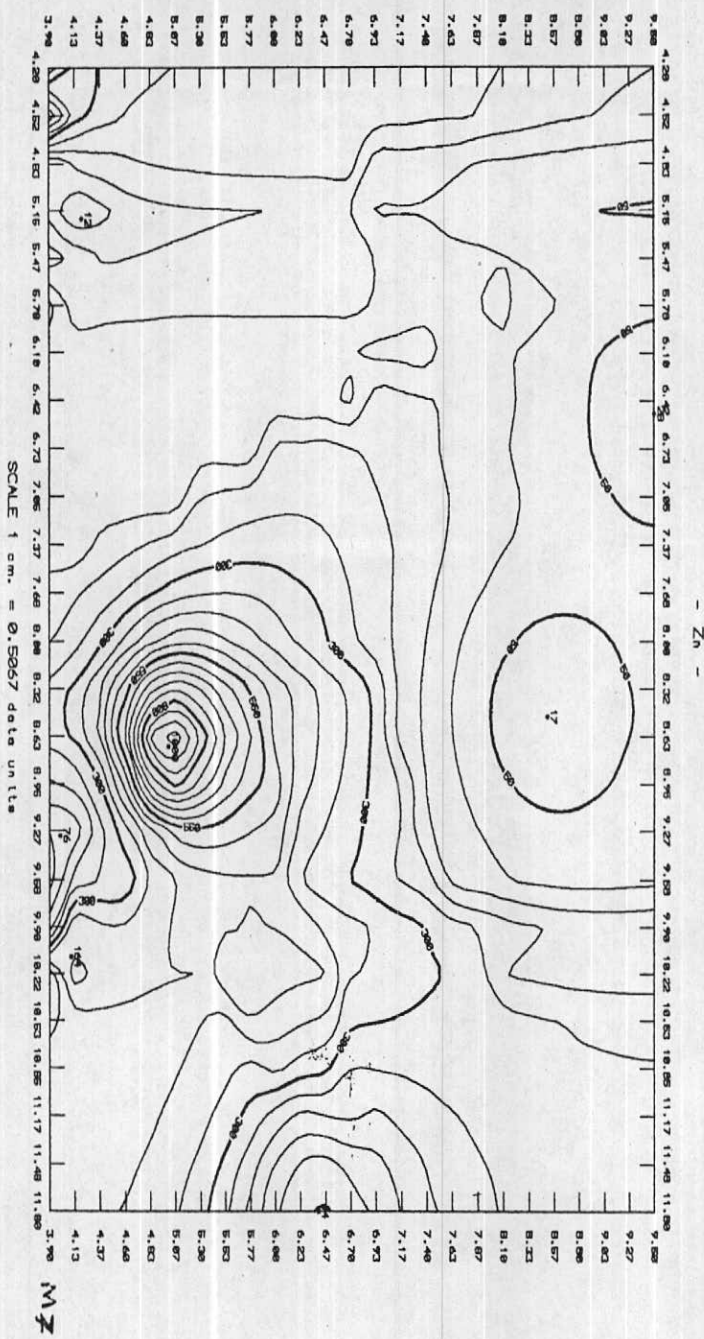
Normal Probability Plot for ZM  
Data file: KAM04.DAT

Statistics

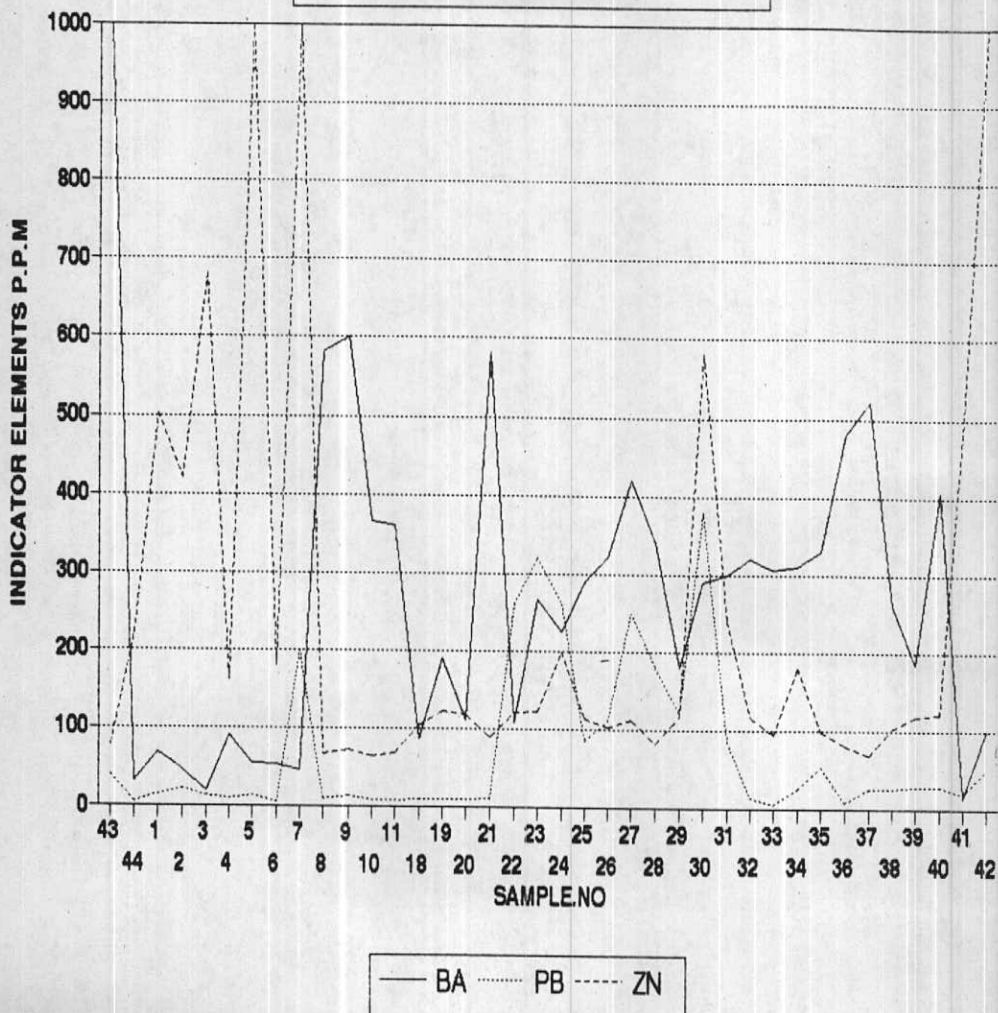


N Total :	38
N Miss :	0
N Used :	38
Mean :	179.763
Variance:	41885.118
Std. Dev:	204.463
$\chi$ C.V. :	113.740
Skeuness:	2.495
Kurtosis:	8.984
Minimum :	15.000
25th $\chi$ :	77.000
Median :	115.000
75th $\chi$ :	178.000
Maximum :	1000.000

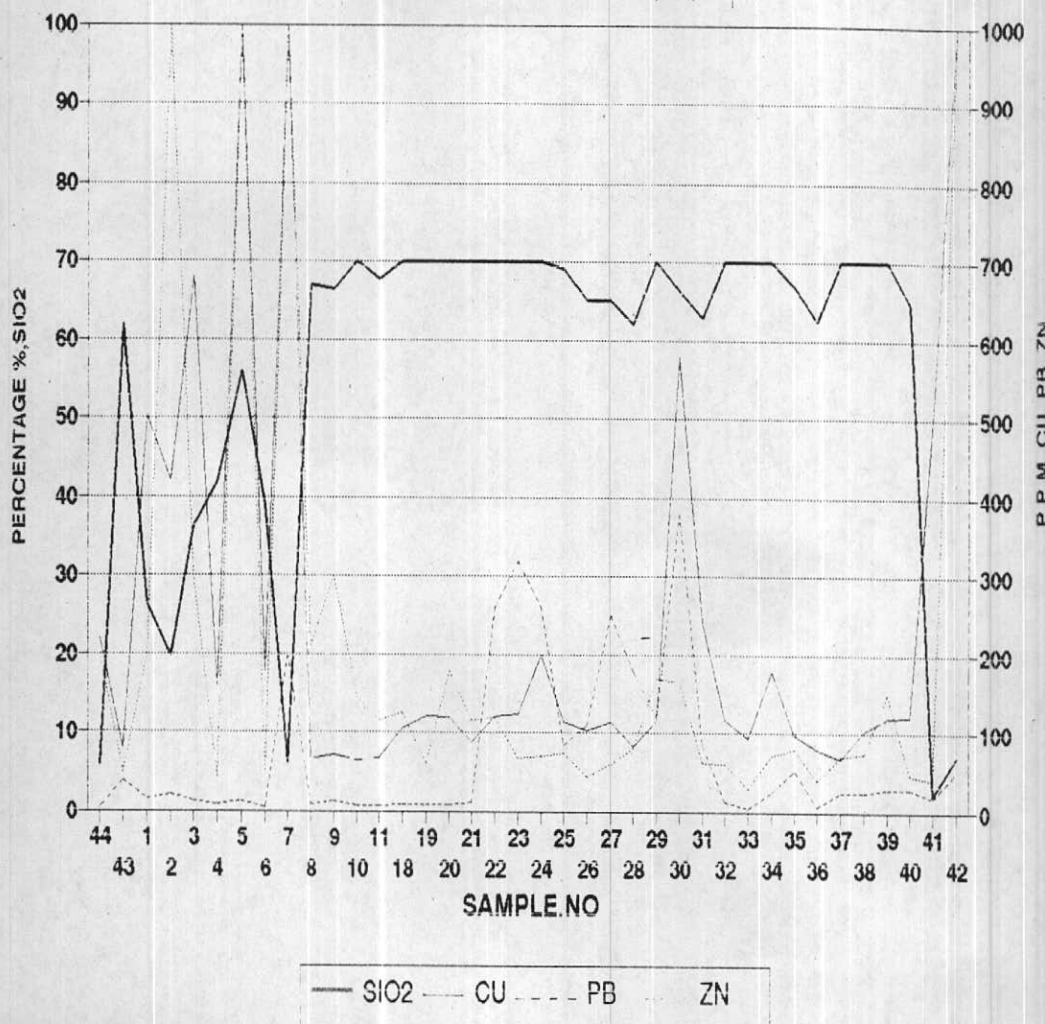
C.7



**SUPRA ORE INDICATOR ELEMENTS  
IN KAMO (P.8)**



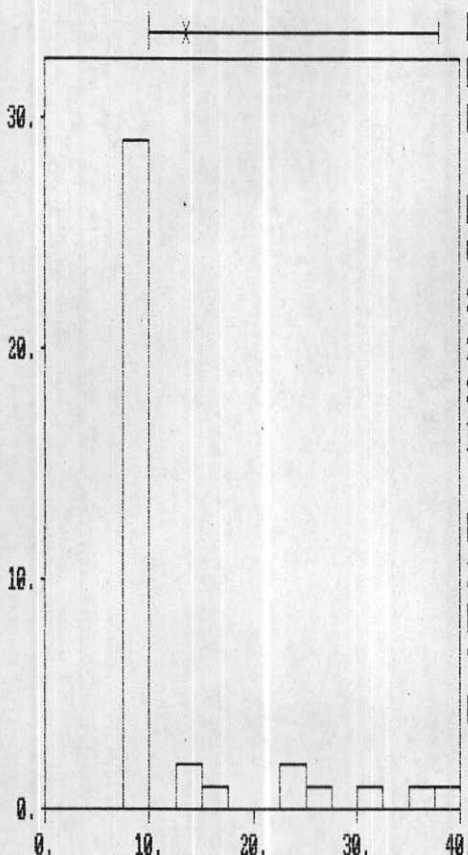
DISTRIBUTION OF SIO<sub>2</sub>, CU, PB, ZN  
IN KAMO INDICE  
(D.7)



Histogram

Data file: XAM04.DAT

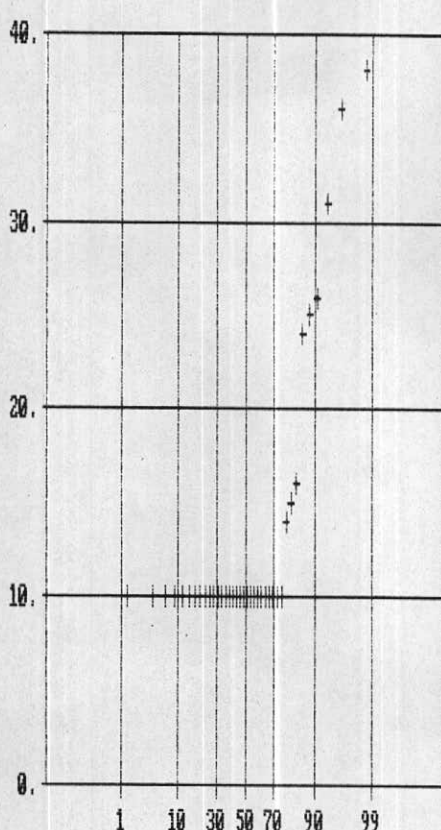
Statistics



H-8

Normal Probability Plot for SN  
Data file: XAM04.DAT

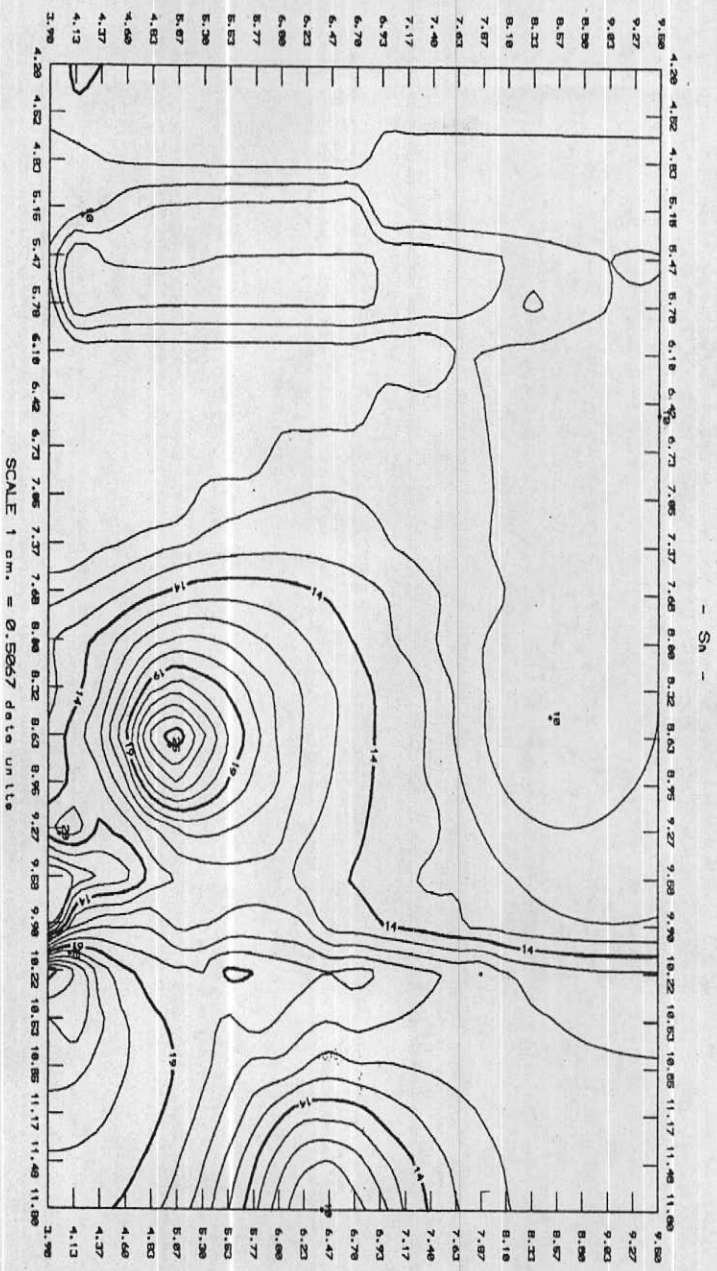
Statistics



N Total :	38
N Miss :	0
N Used :	38
Mean :	13.553
Variance:	58.794
Std. Dev:	7.668
$\chi$ C.V. :	56.578
Skewness:	2.097
Kurtosis:	6.115
Minimum :	10.000
25th $\chi$ :	10.000
Median :	10.000
75th $\chi$ :	10.000
Maximum :	38.000

C.8

47

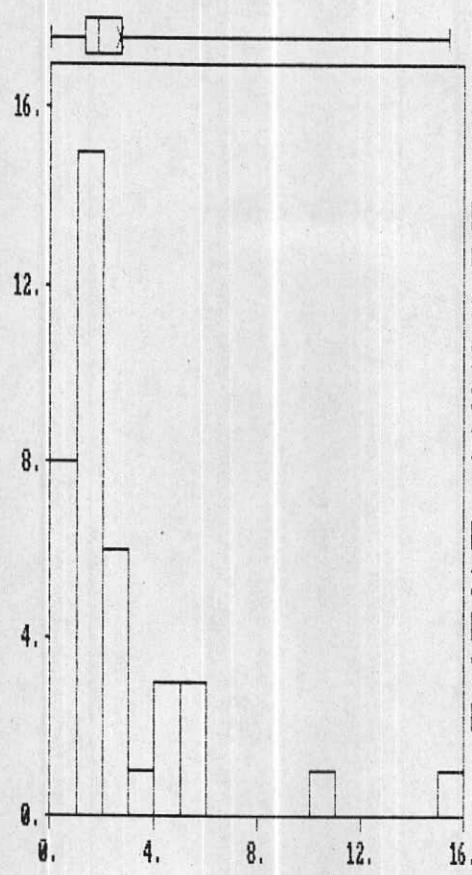


2

Histogram

Data file: KAM04.DAT

Statistics

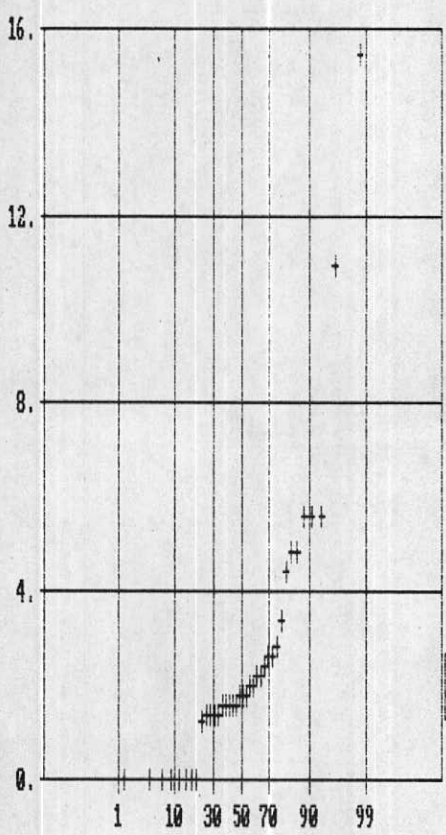


H-15

## Normal Probability Plot for AG

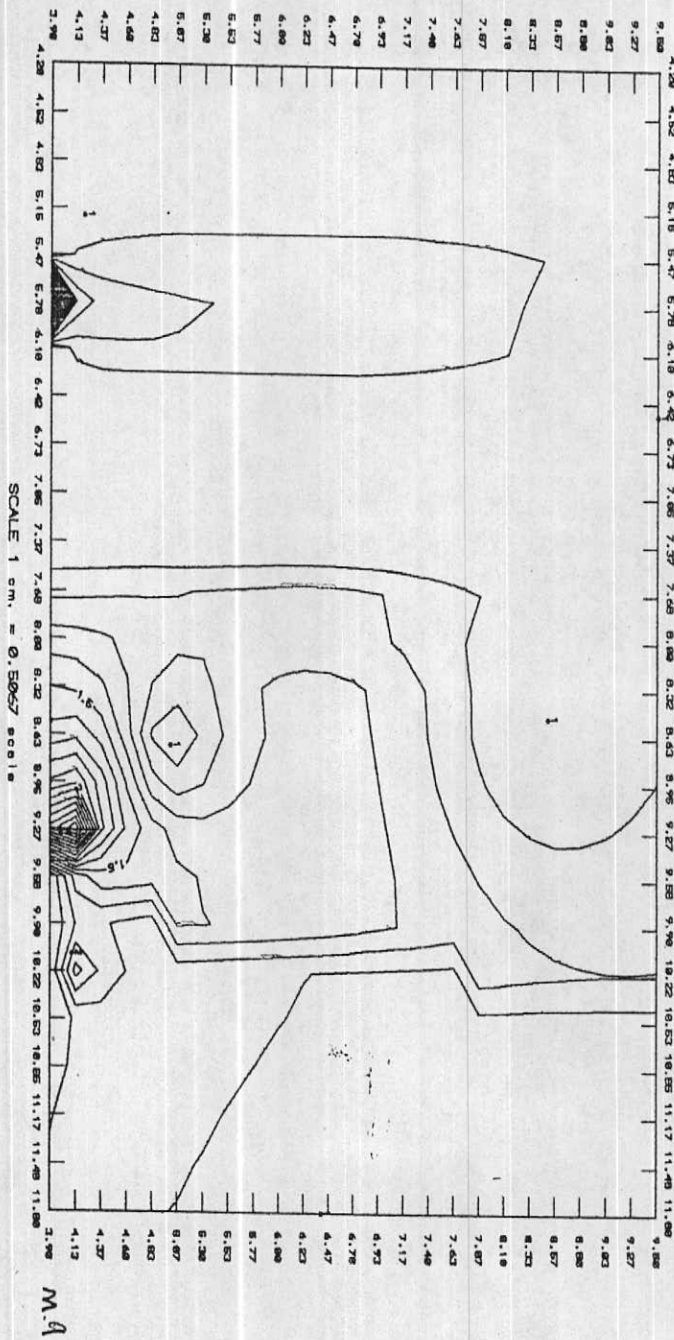
Data file: KAM04.DAT

## Statistics



Cumulative Percent

C.15



#### ۴-۹- انتشار نقره

بر اساس آنالیز نمونه‌ها بروش جذب انتقال مقدار نقره در طول پروفیل بین ۱ تا  $15.4 \text{ ppm}$  در نوسان است. با توجه به مقدار انحراف معیار  $S=3$  و میانگین  $=2.6$  مقدار ضریب تغییرات انحراف  $=116.3$  معیار حول محور میانگین  $=11.3 \text{ ppm}$  است که حضور آنومالی مطلق و تمرکز احتمالی این عنصر را قوت می‌بخشد (نمودارهای C.8,H.8).

جایگاه نقره با عیار بالا به ویژه در بخش اول و سوم پروفیل منطبق بر نمونه شماره ۱۵ و نمونه ۳۶ است که اولی در رابطه با زون آهکمای دکرکون شده و دومی در محدوده سنگهای ولکانیکی قرار دارد (نقشه شماره M.8).

#### ۴-۱۰- انتشار و انادیوم

انتشار و انادیوم در حد نرمال است، و با توجه به اینکه مقدار میانگین  $=122$  و مقدار انحراف معیار  $S=58 \text{ ppm}$  است لذا انتظار حضور آنومالی غنی از این عنصر را نمیتوان داشت. محل تمرکز جفرافیائی این عنصر بیشتر در بخش سوم پروفیل و منطبق بر سنگهای ولکانیکی است (نقشه M.9) بطوریکه در بخش انتهائی پروفیل عیار و انادیوم بیش از  $250 \text{ ppm}$  می‌رسد (نمودار D.8).

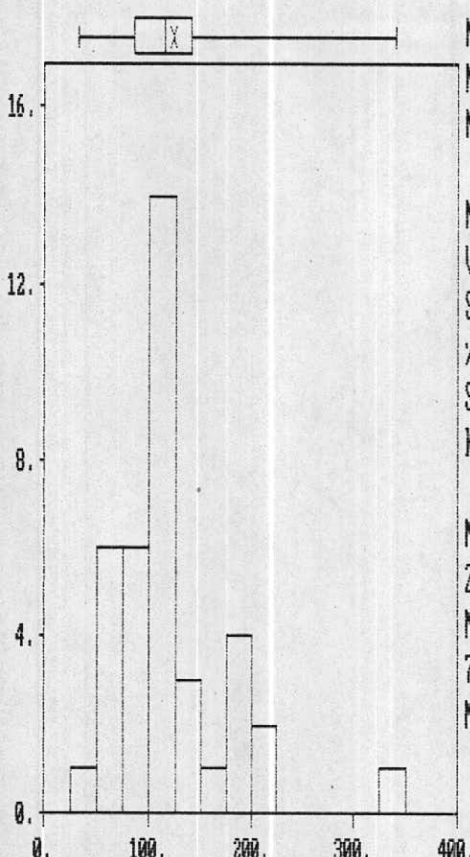
#### ۴-۱۱- انتشار باریوم، استر انسیوم و بر

نقشه‌های شماره M.10,M.11,M.12 انتشار جفرافیائی این سه عنصر را در طول پروفیل و محدوده اکتشاف نشان میدهد، که دارای انتظام کاملی با یکدیگر هستند. بیشترین تمرکز عناصر فوق الذکر در بخش سوم

Histogram

Data file: XAM04.DAT

Statistics



N Total :	38
N Miss :	0
N Used :	38
Mean :	122.842
Variance:	3373.388
Std. Dev:	58.081
% C.V.:	47.281
Skewness:	1.479
Kurtosis:	6.398
Minimum :	32.000
25th x :	84.500
Median :	114.000
75th x :	140.000
Maximum :	340.000

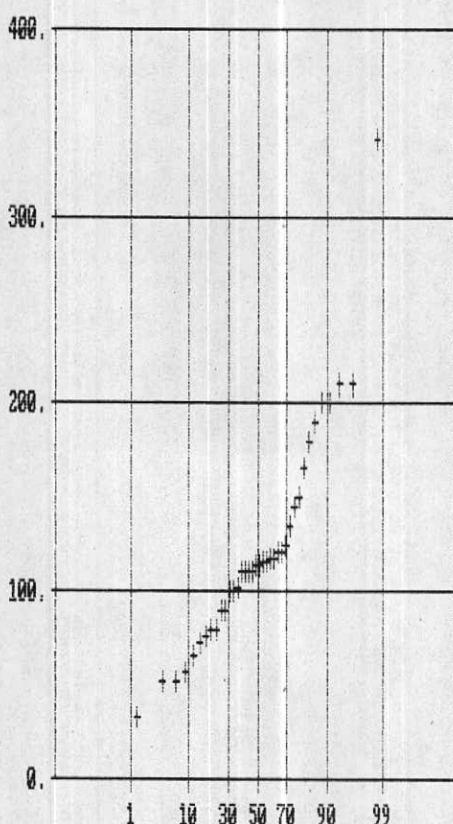
H-9

DA

Normal Probability Plot for V

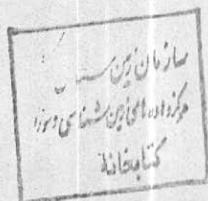
Data file: KAM04.DAT

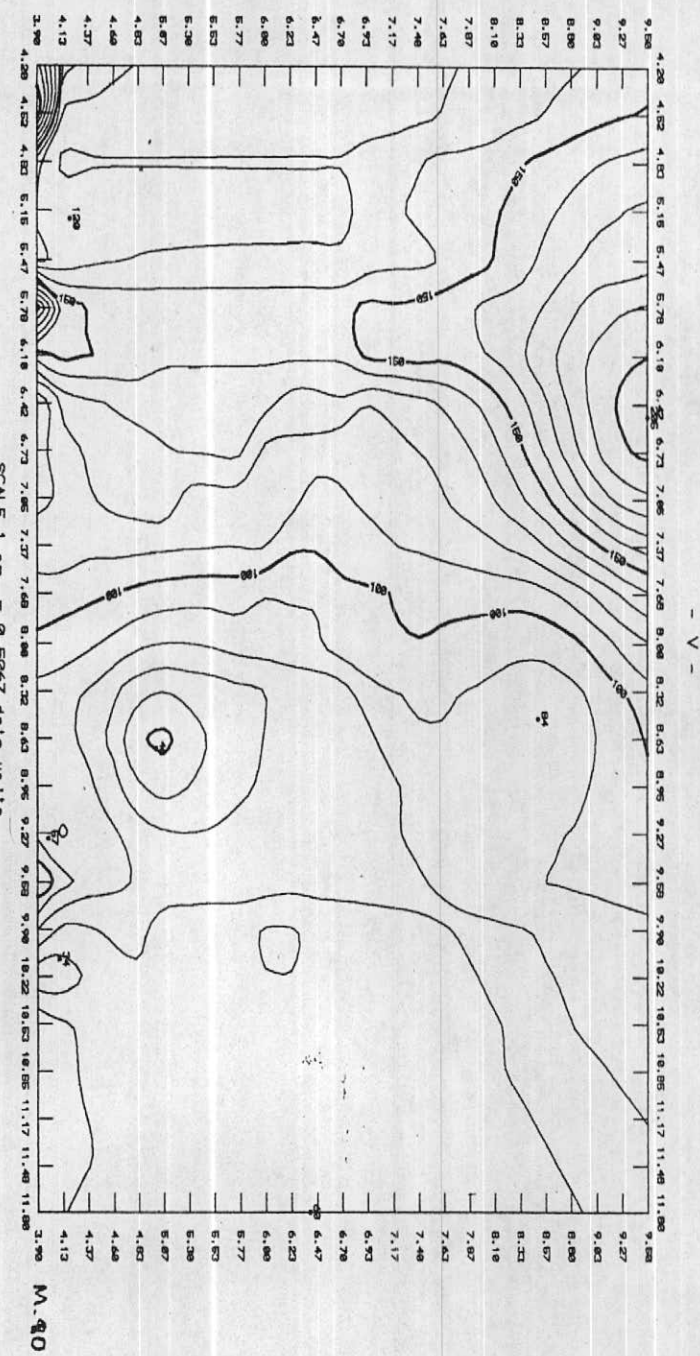
Statistics



N Total :	38
N Miss :	0
N Used :	38
Mean :	122.842
Variance:	3373.380
Std. Dev:	58.081
$\times$ C.V. :	47.281
Skewness:	1.479
Kurtosis:	6.390
Minimum :	32.000
$\times$ 25th % :	84.500
Median :	114.000
75th % :	140.000
Maximum :	340.000

C.9



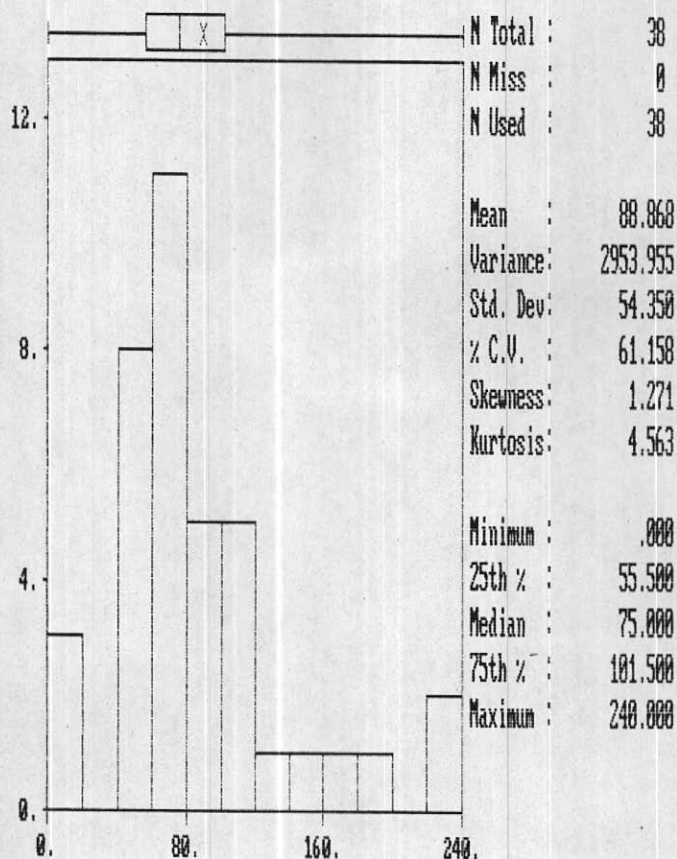


۸۲

Histogram

Data file: KAM04.DAT

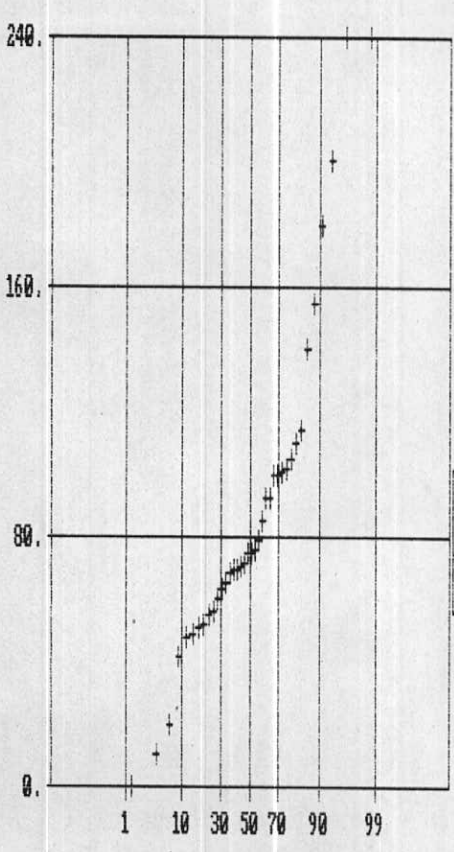
Statistics



## Normal Probability Plot for SR

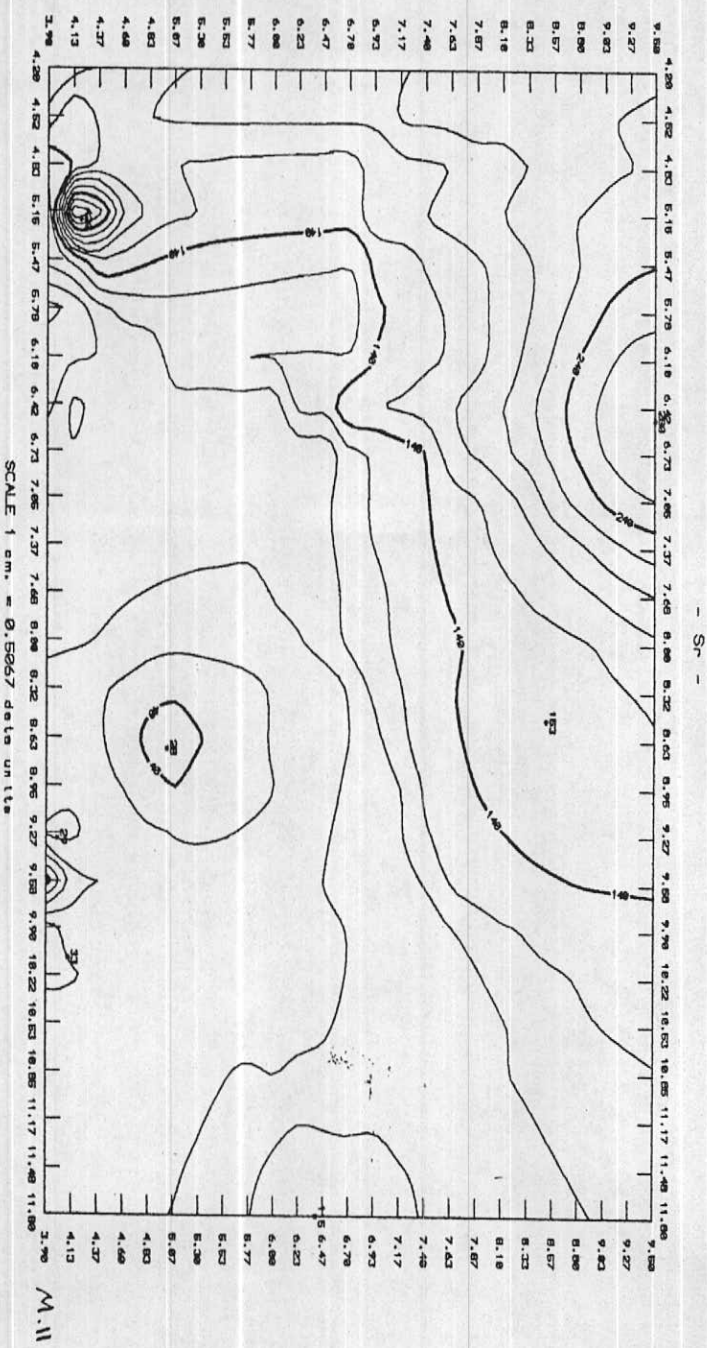
Data file: KAM04.DAT

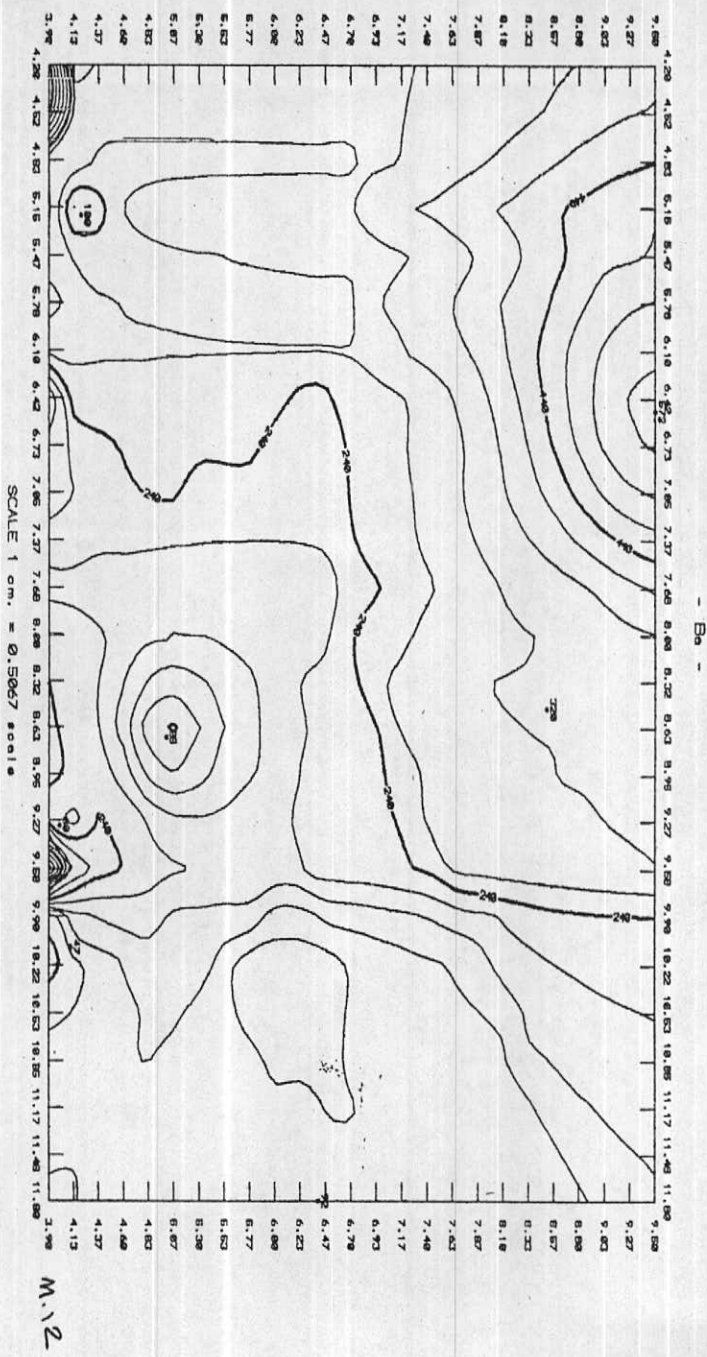
## Statistics



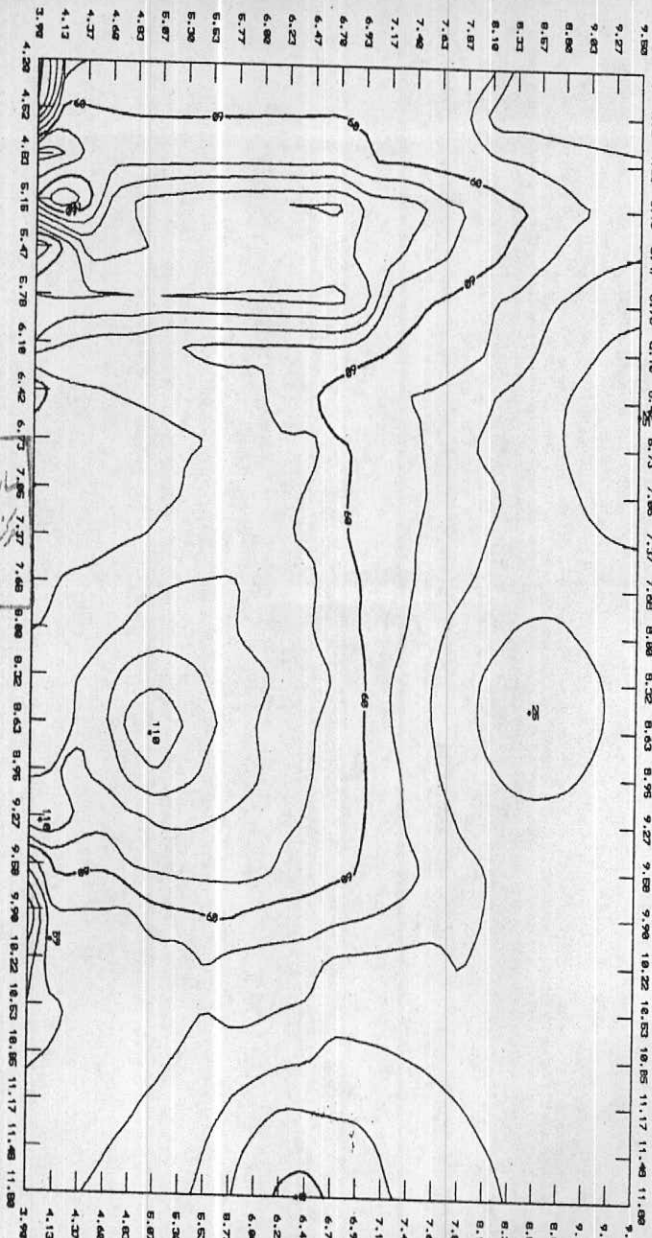
N Total :	38
N Miss :	0
N Used :	38
Mean :	88.868
Variance:	2953.955
Std. Dev:	54.350
% C.V. :	61.158
Skewness:	1.271
Kurtosis:	4.563
Minimum :	.000
25th % :	55.500
Median :	75.000
75th % :	101.500
Maximum :	240.000

C-II





N



۱۴۳

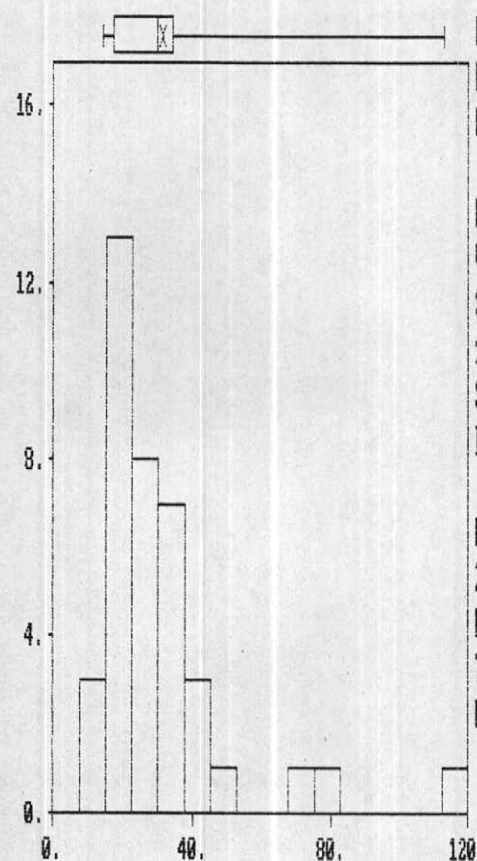
۱۹

سازمان این شناسی کرد  
کتابخانه  
گروه اقتصادی و ادبیات اسلامی دوستی

Histogram

Data file: XAM04.DAT

Statistics



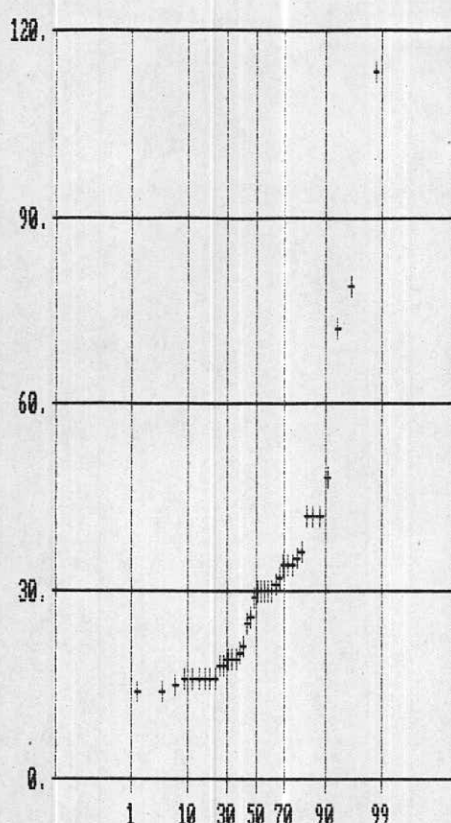
N Total :	38
N Miss :	0
N Used :	38
Mean :	30.974
Variance:	396.621
Std. Dev:	19.915
% C.V. :	64.298
Skewness:	2.409
Kurtosis:	9.569
Minimum :	14.000
25th % :	17.000
Median :	29.500
75th % :	34.000
Maximum :	113.000

H.12

## Normal Probability Plot for Y

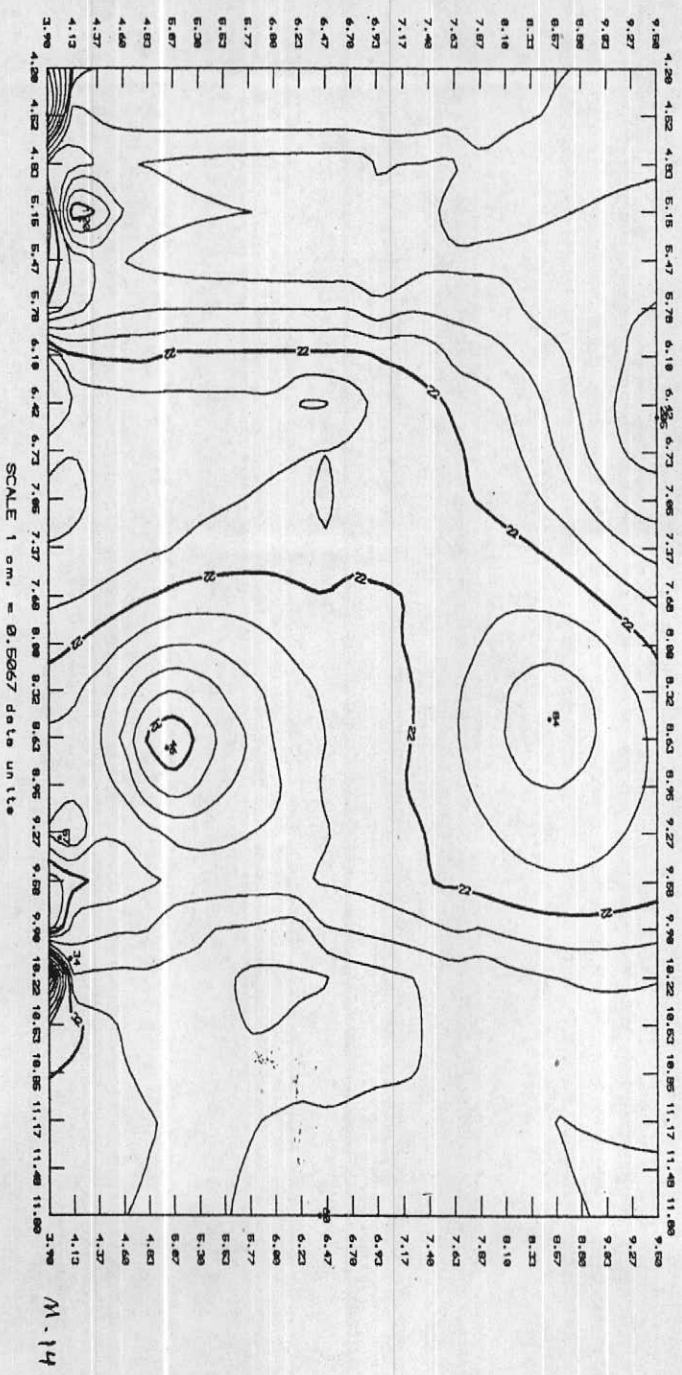
Data file: KAM04.DAT

## Statistics



Cumulative Percent

C.12

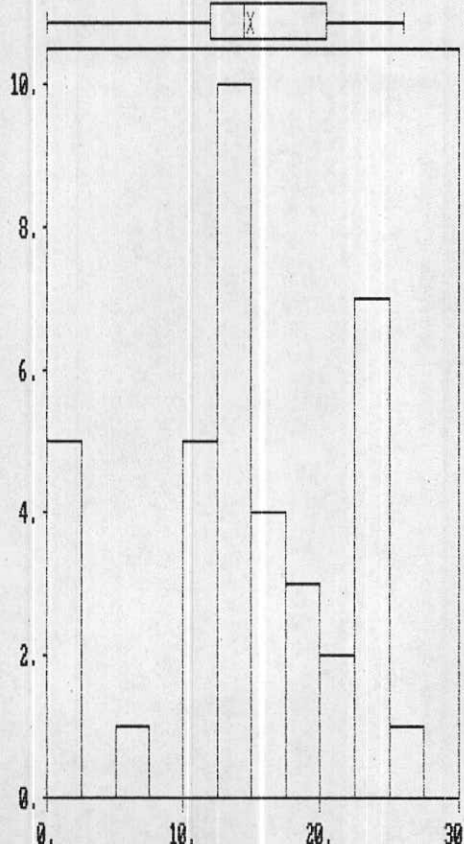


M - 14

Histogram

Data file: KAM04.DAT

Statistics



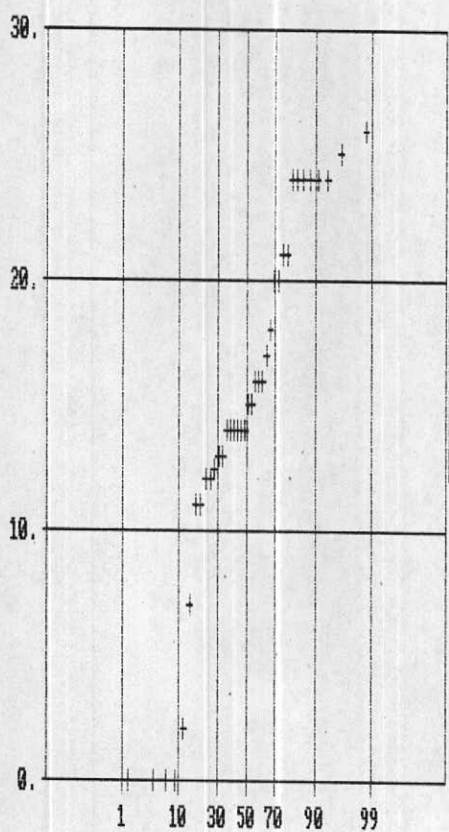
N Total :	38
N Miss :	0
N Used :	38
Mean :	14.932
Variance:	55.367
Std. Dev:	7.441
$\chi^2$ C.V. :	49.833
Skewness:	- .571
Kurtosis:	2.730
Minimum :	.000
25th % :	12.000
Median :	14.500
75th % :	20.500
Maximum :	26.000

H-13

## Normal Probability Plot for SC

Data file: KAM04.DAT

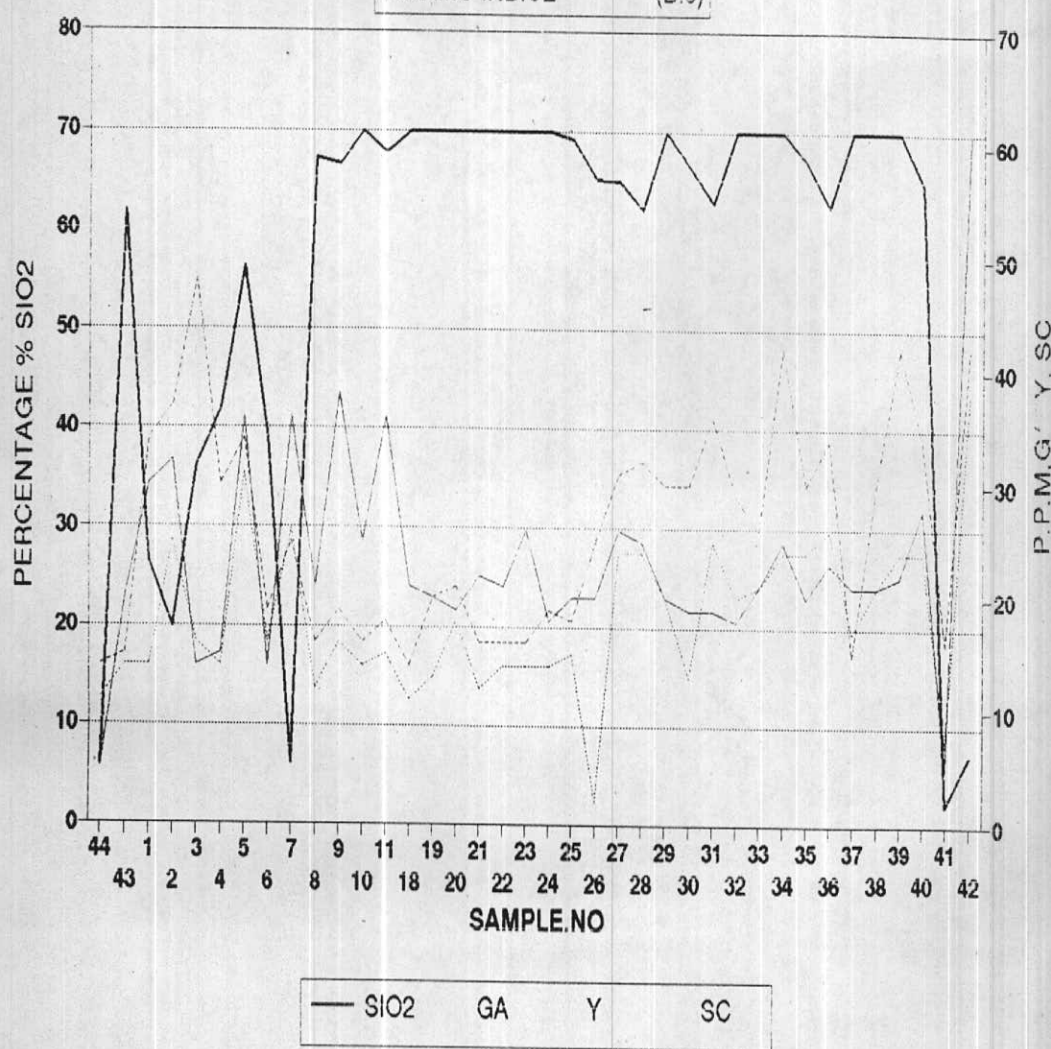
## Statistics

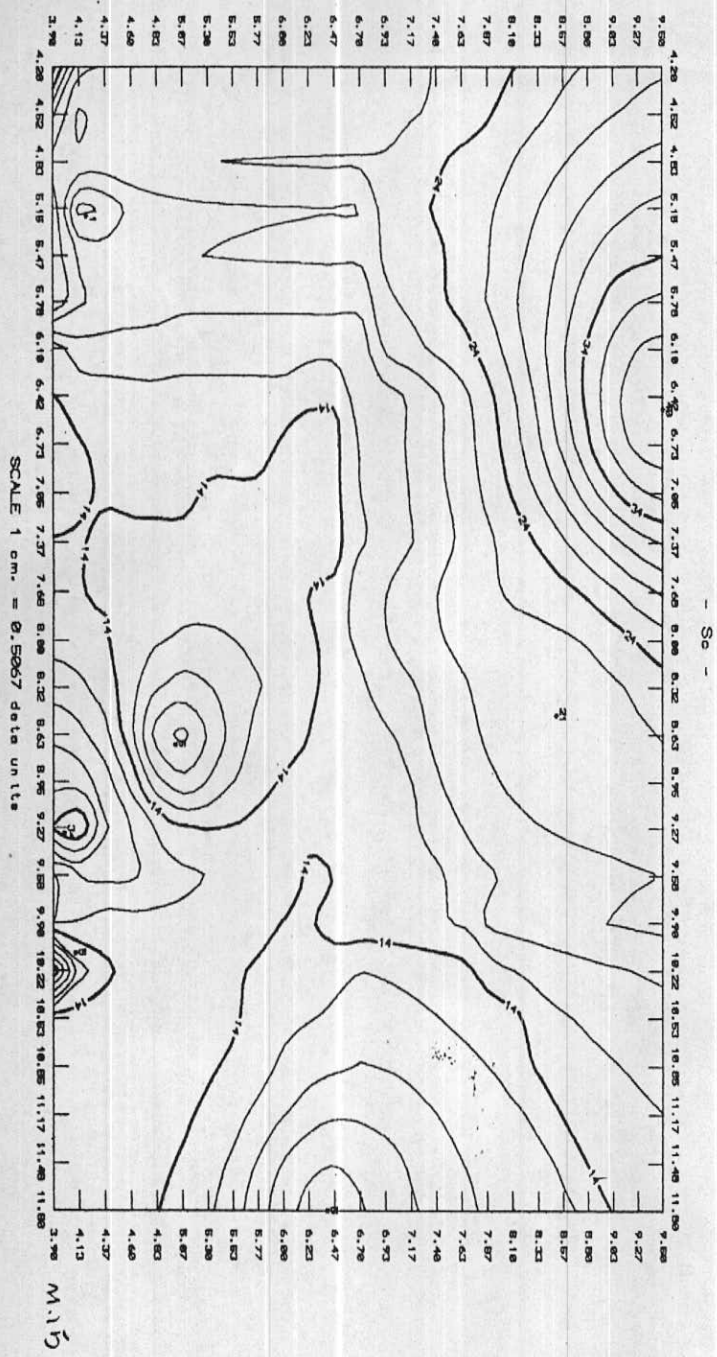


N Total :	38
N Miss :	0
N Used :	38
Mean :	14.932
Variance:	55.367
Std. Dev:	7.441
$\times$ C.V.:	49.833
Skewness:	- .571
$\times$ Kurtosis:	2.730
Minimum :	.800
25th % :	12.000
Median :	14.500
75th % :	20.500
Maximum :	26.000

C.13

DISTRIBUTION OF SIO<sub>2</sub>, GA, Y, SC  
IN KAMO INDICE (D.9)



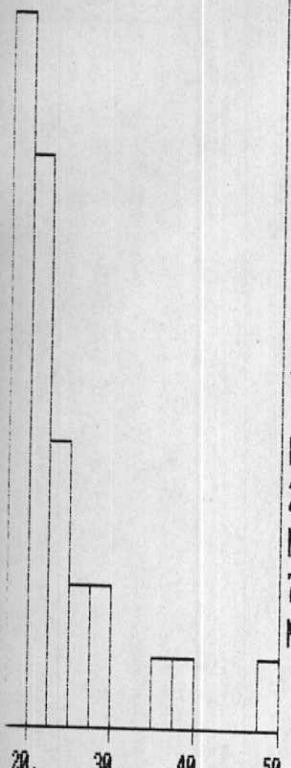


سازمان این شناسی کشور  
گردآوری این شناسی دروز  
کتابخانه

Histogram  
ta file: KAM04.DAT

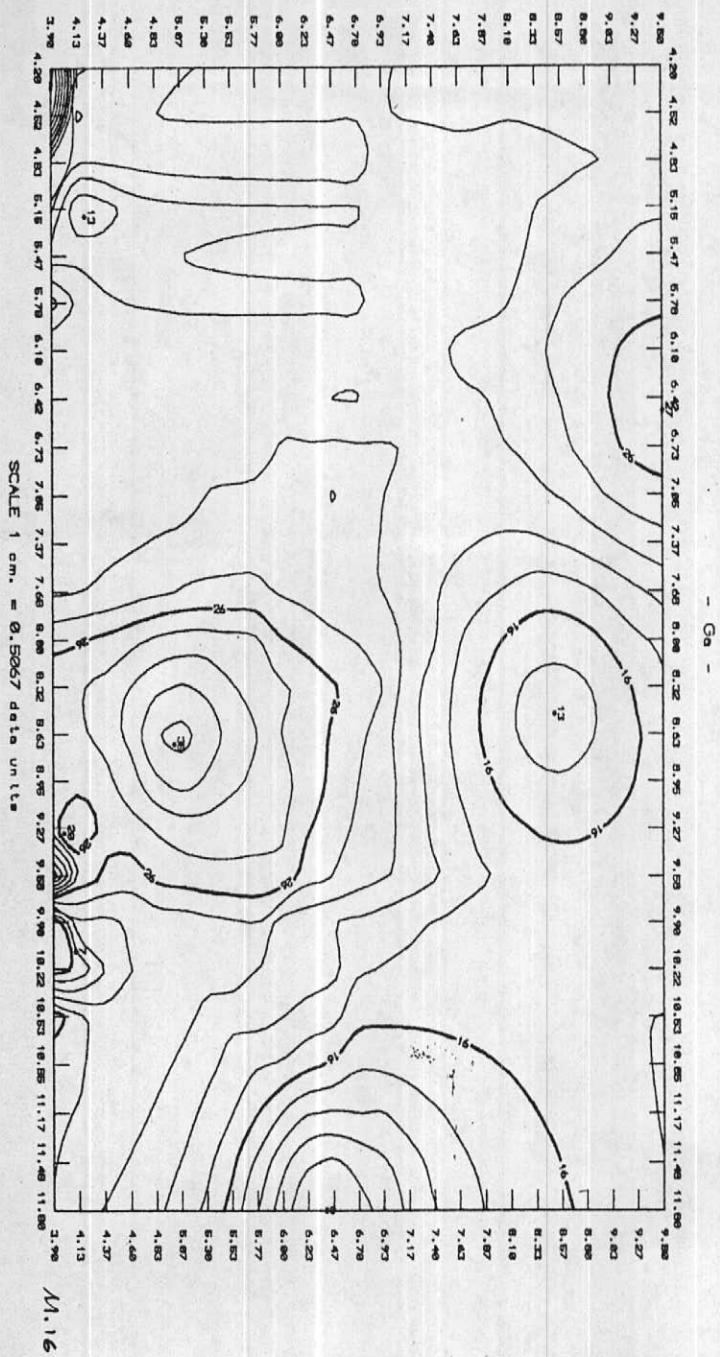
Statistics

X	Total :	38
	N Miss :	0
	N Used :	38
	Mean :	19.658
	Variance:	105.637
	Std. Dev:	10.278
	% C.V. :	52.284
	Skewness:	.035
	Kurtosis:	4.088
	Minimum :	.000
	25th % :	16.500
	Median :	20.500
	75th % :	24.000
	Maximum :	49.000



H-14

4



پروفیل و منطبق بر واحدهای ولکانیکی است، لذا تمرکز و انتباط  
آنها بر یکدیگر با توجه به پر اکنده‌ی اندیسیما و معادن باریت در  
محدوده اکتشاف دور از انتظار نمیتواند باشد (نمودار ۱۱.H.11.9C).

#### ۴-۱۲- انتشار عناصر نادر

عناصر نادر چون  $\text{Sc}, \text{Ga}, \text{Zr}$  دارای انتشاری لکاریتی هستند که در طول محور کانی‌سازی کمو بیشتر یکدیگر منطبق می‌باشند. حد اکثر مقدار ایتریوم ۱۱۳ و حد اکثر مقدار اسکاندیوم و کالیوم  $49, 26 \text{ ppm}$  می‌باشد "که تمام" از حد کلارک این عناصر در واحدهای سنگی مشابه بیشتر می‌باشد. نمودارهای H.12, H.13, H.14, C.12, C.13, C.14 و همچنین نمودارهای M.12, M.13, M.14 این عناصر در جدول شاره ۱ آراسته شده و بالاخره نمودار D.9 مشخصات آماری عناصری فوق الذکر را نشان میدهدند. مشخصات آنومالی‌های این عناصر در جدول شاره ۱ آراسته شده و بالاخره نمودار نقشه‌های انتشاری انتشار جغرافیائی و محل تمرکز عناصر را نشان میدهدند.

با مقایسه نمودارها و نقشه‌های انتشاری بیشترین افزایش تمرکز حول بخش اول و سوم پروفیل AA بوده و در بخش شرقی محدوده اکتشاف هر سه عنصر فوق الذکر دارای تمرکز قابل توجه و منطبق بر محل تمرکز روی، قلع و مس می‌باشد.

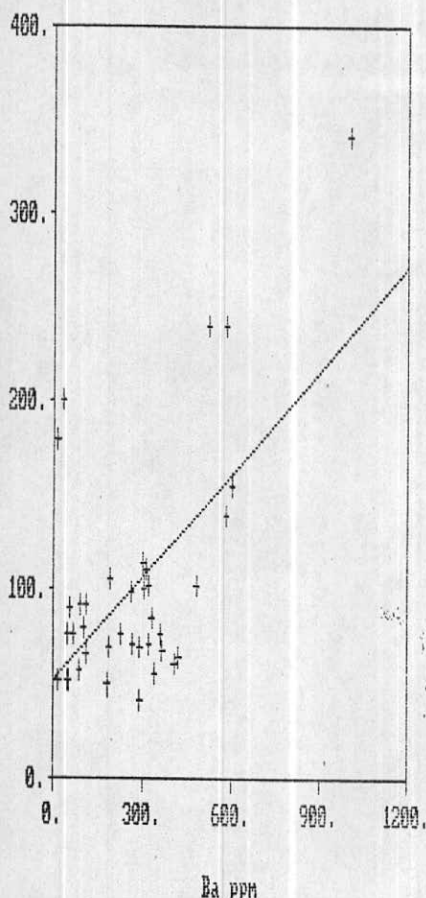
## ۵- تعبیر و تفسیر داده‌ها

### ۱-۵- همبستگی عناصر

یکی از مهمترین اهدافی که در محاسبات همبستگی مد نظر است تعیین وابستگی و رابطه ژنتیکی و کانی‌سازی بین تعدادی از عناصر در محدوده اکتشافی است. اصولاً "عناصر پار ایزز" بطور گروهی تمرکز و تجمع می‌یابند و در صورتیکه تمرکز در حد Cut off و یا در حد کانی سازی پر اکنده (Dispertion) باشد، حضور یکیا چند عنصر پار ایزز میتواند راهنمای خوبی برای بقیه عناصر (پار ایزز) هم‌خانواده باشد و بهمین دلیل با بالا رفتن عیار یک عنصر معمولاً "عنصر پار ایزز" آن نیز بالا خواهد رفت. واضح است که تمرکز جفرافیائی عناصر پار ایزز نیز میتواند راهنمای مناسی جیت تعیین موقعیت جفرافیائی کانسار احتمالی باشد. در محدوده‌اندیس معنی کامو بر روی ۱۲ عنصر کانسار ساز محاسبات آماری ضریب همبستگی یا Correlation Matrix بصورت خطی محاسبه کردیده است (نمودارهای R1 تا R31). علاوه بر نمودارهای مذکور که نتایج نهایی آن در جدول شماره ۲ ارائه شده است، محاسبات همبستگی با استفاده از روش Cluster Analysis نیز صورت گرفته است. بر اساس نتایج حاصل نتیجه Group Averages با ضریب همبستگی ۰.۸۱۳۶ (Correlation Coefficient) ممتازترین و بهترین همبستگی را ارائه می‌نماید (جدول شماره ۴۵ و ۵ و ۶ و ۷).

بر اساس نتایج حاصل از همبستگی خطی (جدول شماره ۳۵) عناصری که ضریب همبستگی آنها بالای ۰.۵ می‌باشد دارای همبستگی ژنتیکی و کانی‌سازی مثبت و قوی هستند و هر چه عدد مذکور به رقم ۱ نزدیکتر شود این همبستگی شدید می‌گردد (همبستگی خطی، جدول شماره ۳۵).

Scatter Plot  
from data file kamo.dat

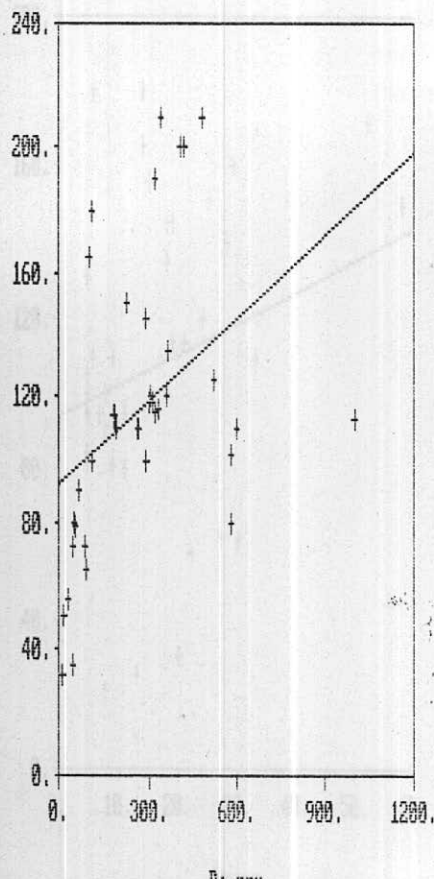


Regression Results:

# Pairs	:	38
Slope	:	.182
Intercept	:	52.367
Correl. coeff.:	:	.688

R.A

Scatter Plot  
from data file kamo.dat



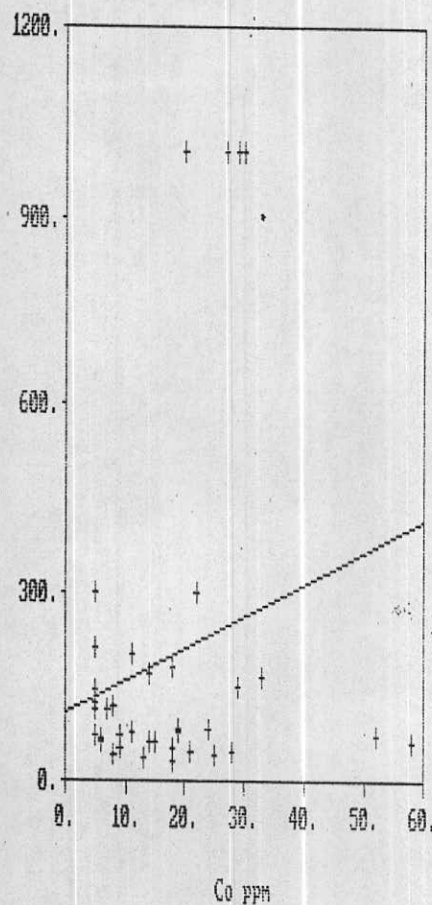
Regression Results:

# Pairs	:	38
Slope	:	.008
Intercept	:	92.416
Correl. coeff.:	:	.395

R.2

YR

Scatter Plot  
from data file kamo.dat

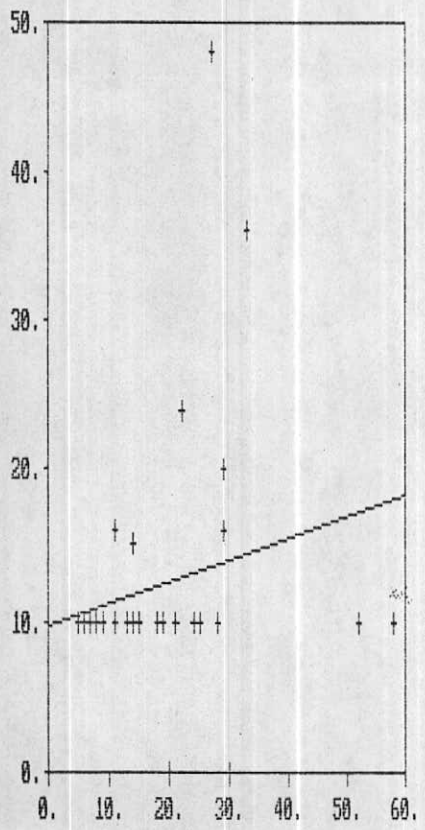


Regression Results:

# Pairs	:	38
Slope	:	5.095
Intercept	:	189.347
Correl. coeff.	:	.220

R.4

Scatter Plot  
from data file kamo.dat



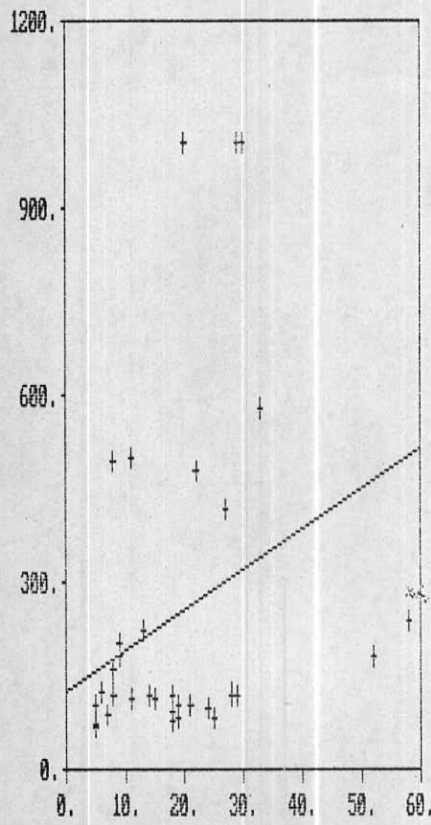
Regression Results:

# Pairs	:	38
Slope	:	.444
Intercept	:	9.747
Correl. coeff.	:	.216

R.s

سازمان زمین شناسی ایران  
دانشکده علوم زمین و محیط  
کارشناسی ارشد

Scatter Plot  
from data file kamo.dat



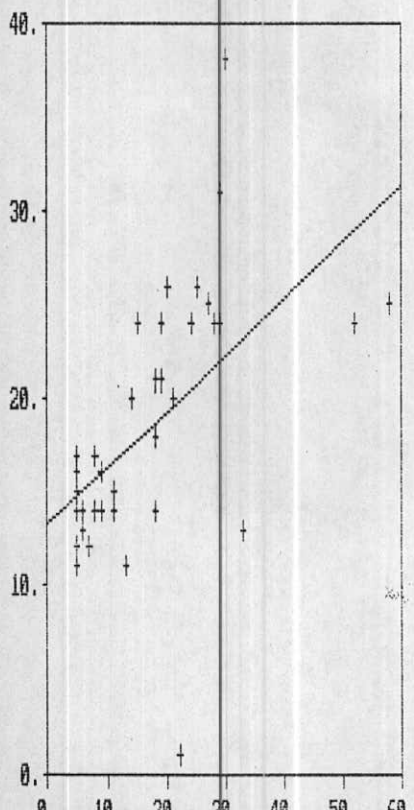
Regression Results:

# Pairs :	33
Slope :	6.604
Intercept :	122.813
Correl. coeff. :	.310

R.6

YV

Scatter Plot  
from data file kamo.dat



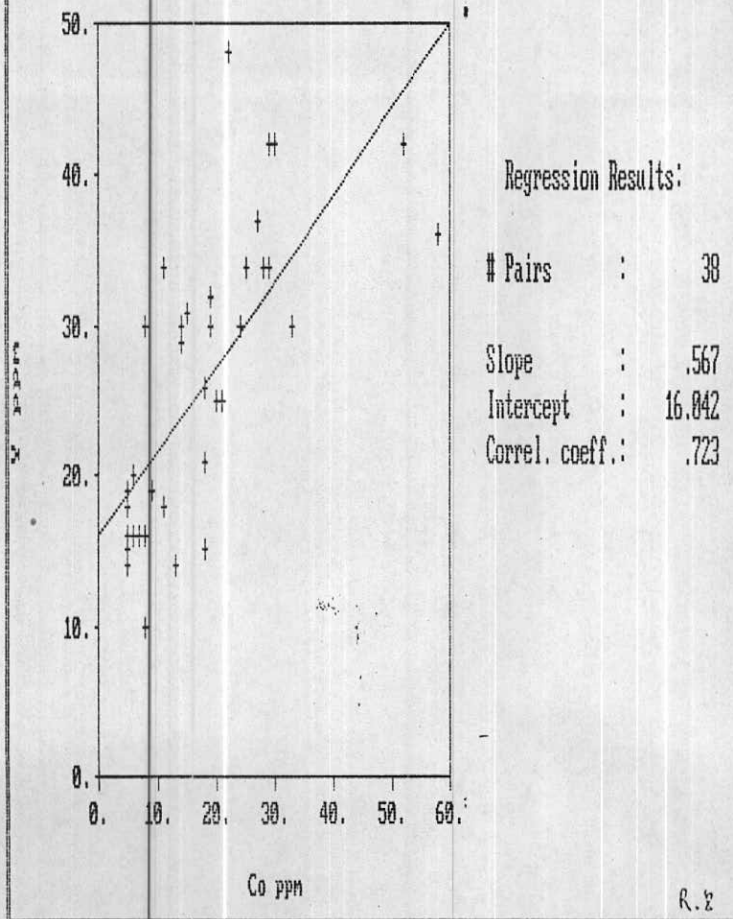
Regression Results:

# Pairs :	38
Slope :	.381
Intercept :	13.253
Correl. coeff. :	.554

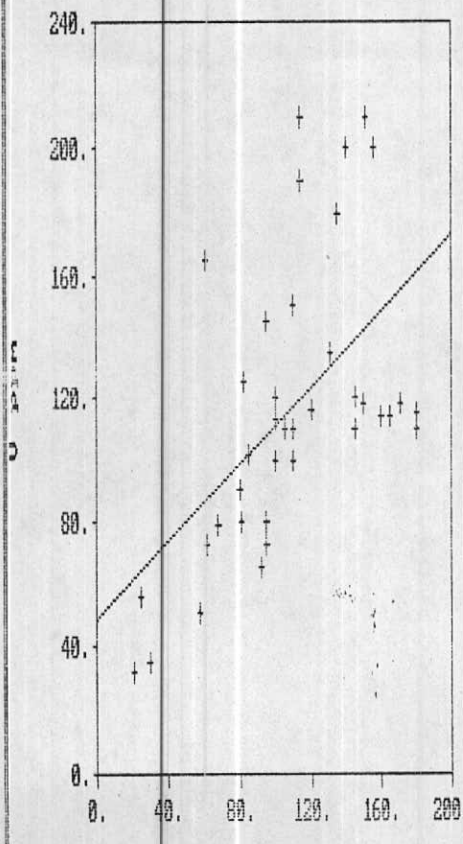
Q.7

V.A

Scatter Plot  
from data file kano.dat



Scatter Plot  
from data file kano.dat

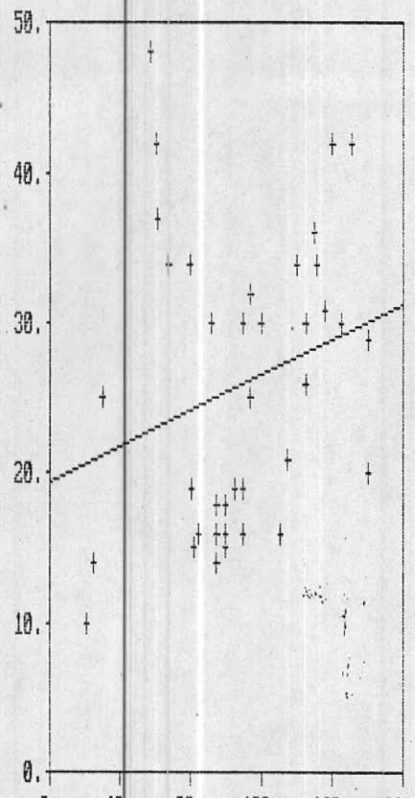


Regression Results:

# Pairs	:	38
Slope	:	.621
Intercept	:	48.693
Correl. coeff.	:	.557

R.sq

Scatter Plot  
from data file kamo.dat

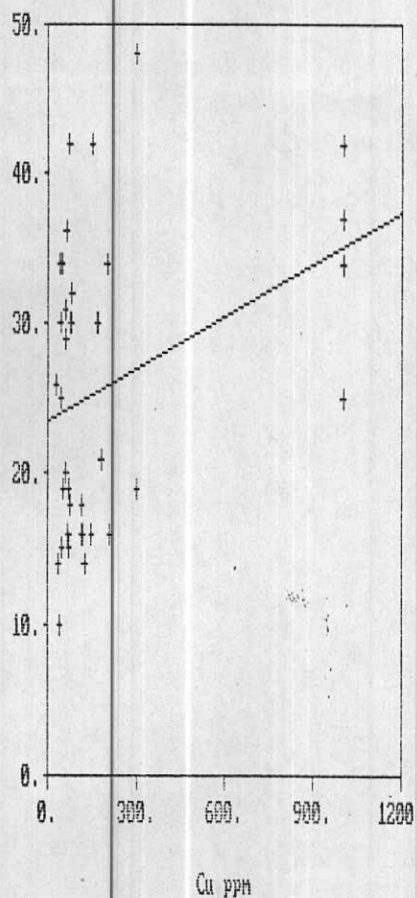


Regression Results:

# Pairs	:	38
Slope	:	.859
Intercept	:	19.442
Correl. coeff.	:	.253

R-10

Scatter Plot  
from data file kano.dat

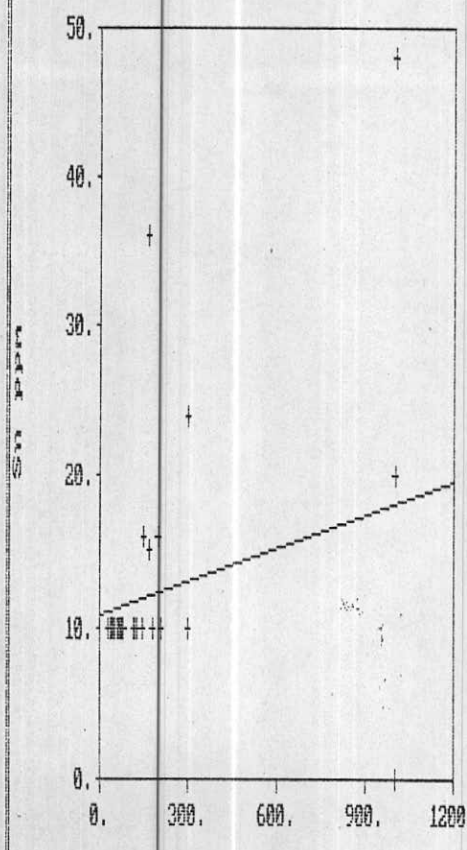


Regression Results:

# Pairs	:	38
Slope	:	.811
Intercept	:	23.602
Correl. coeff.:	:	.338

R.sq

Scatter Plot  
from data file kamo.dat

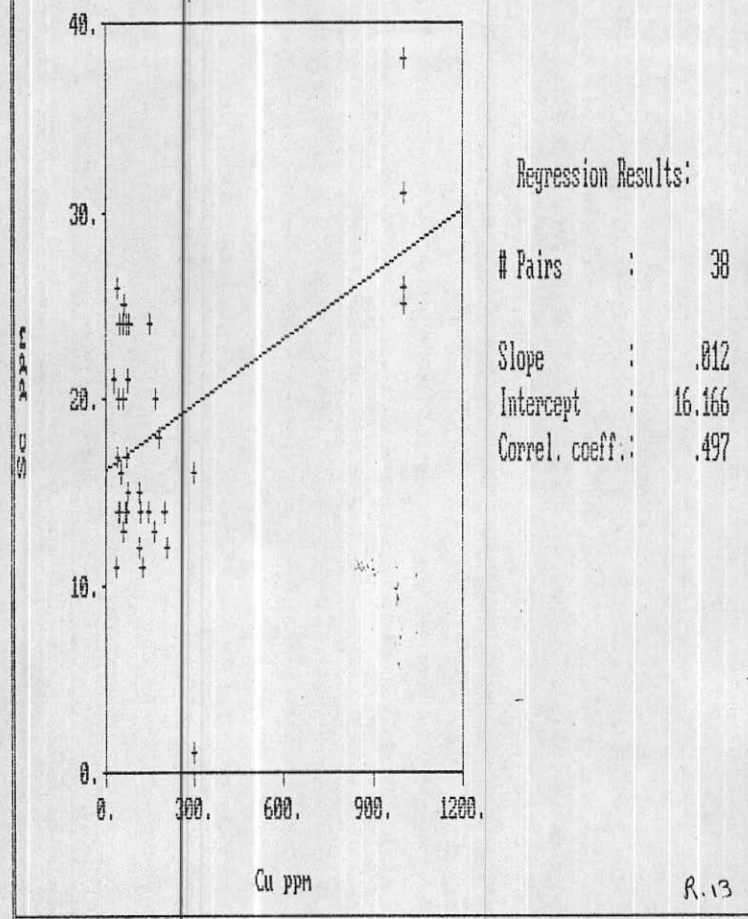


Regression Results:

# Pairs	:	38
Slope	:	.007
Intercept	:	10.766
Correl. coeff.:	:	.259

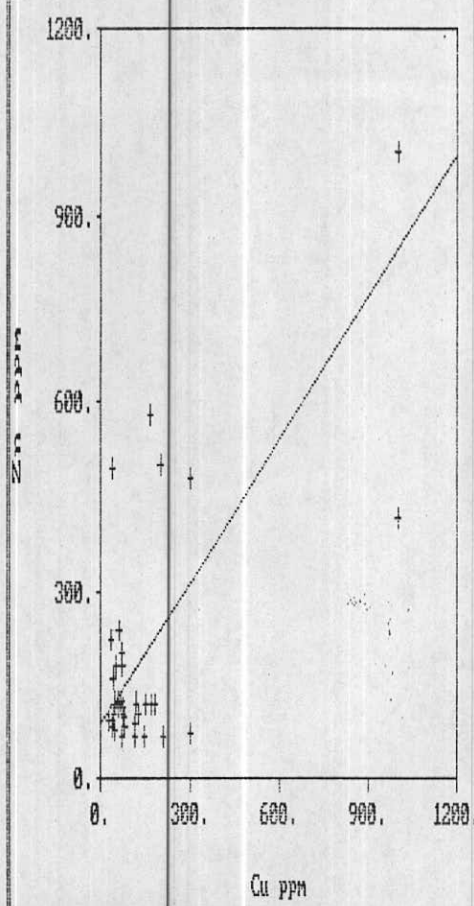
R.sq

Scatter Plot  
from data file kamo.dat



AΣ

Scatter Plot  
From data file kamo.dat

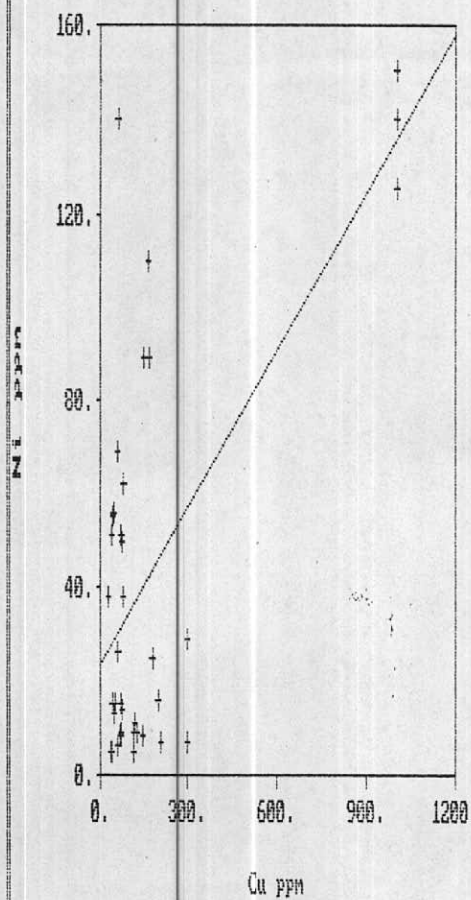


Regression Results:

# Pairs	:	38
Slope	:	.755
Intercept	:	88.008
Correl. coeff.	:	.826

R.sq

Scatter Plot  
from data file kano.dat

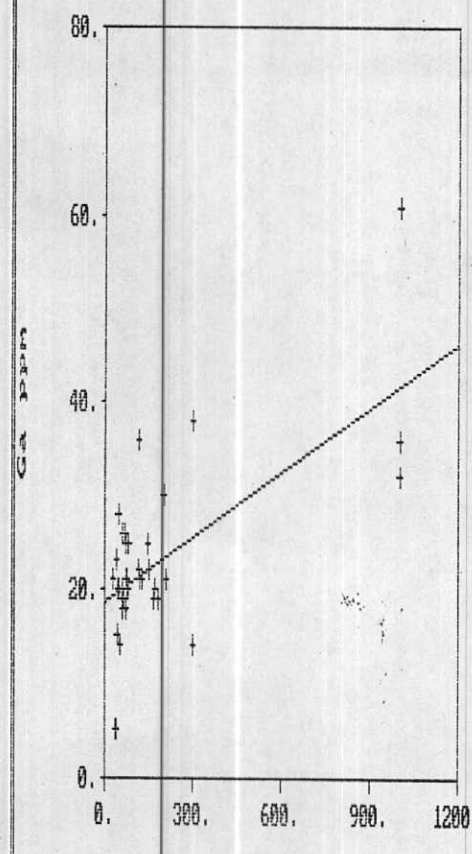


Regression Results:

# Pairs	:	39
Slope	:	.112
Intercept	:	23.188
Correl. coeff.	:	.694

R.M.S.

Scatter Plot  
from data file kamo.dat



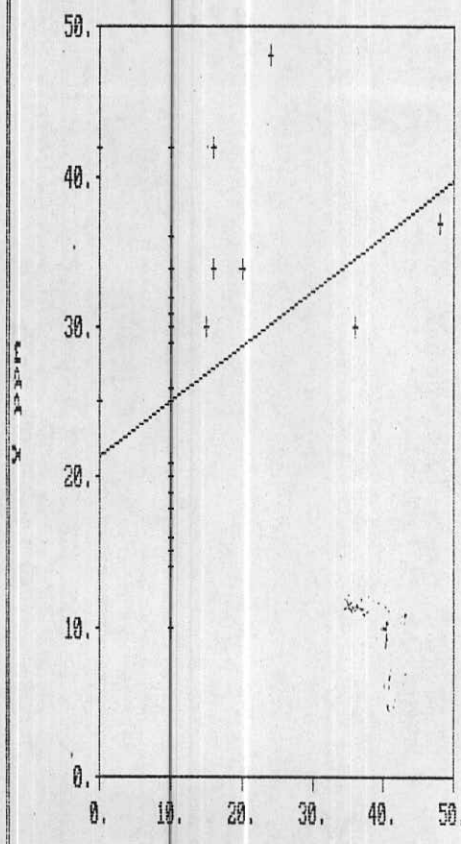
Regression Results:

# Pairs :	38
Slope :	.023
Intercept :	18.708
Correl. coeff. :	.684

R.16

XY

Scatter Plot  
from data file kamo.dat



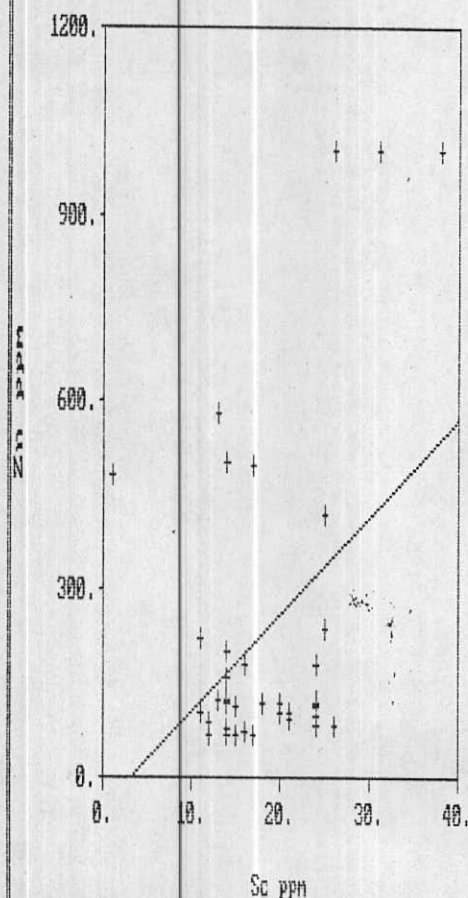
Regression Results:

# Pairs	:	38
Slope	:	.371
Intercept	:	21.332
Correl. coeff.	:	.315

R.17

88

Scatter Plot  
from data file kamo.dat

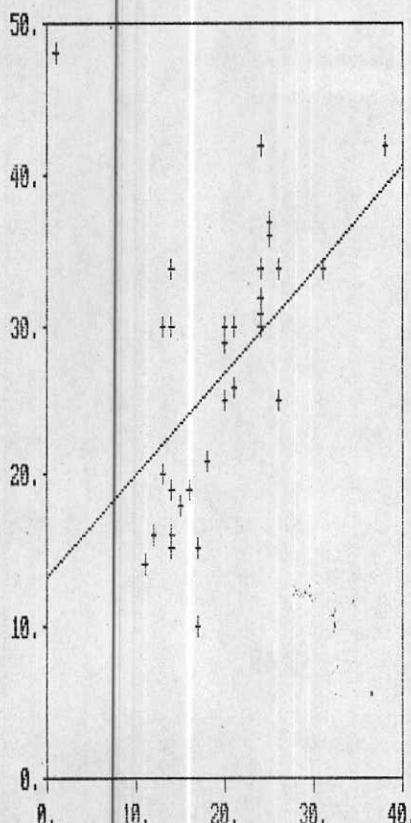


Regression Results:

# Pairs	:	38
Slope	:	15.492
Intercept	:	-48.857
Correl. coeff.:	:	.395

R.A8

Scatter Plot  
from data file kamo.dat

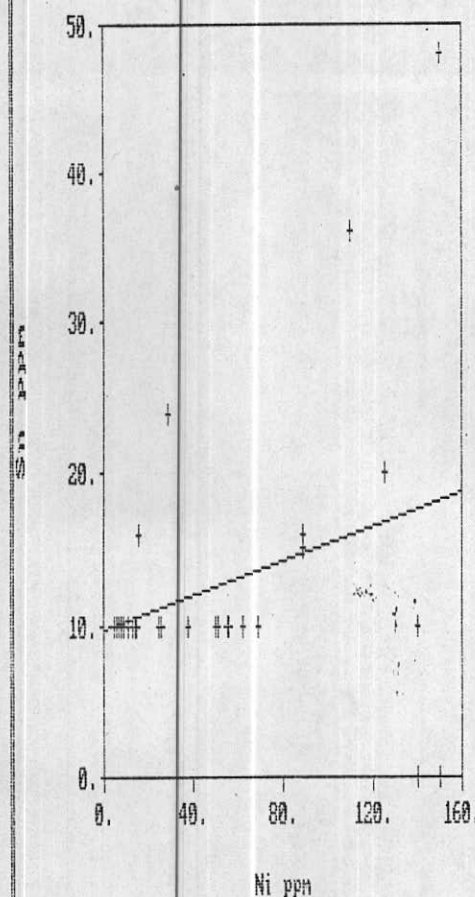


Regression Results:

# Pairs	:	38
Slope	:	.687
Intercept	:	13.186
Correl. coeff.	:	.476

R..19

Scatter Plot  
from data file kano.dat

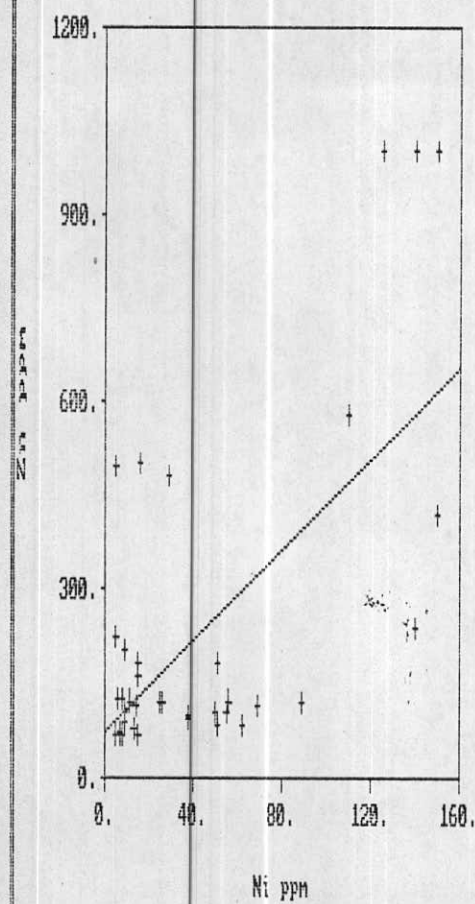


Regression Results:

# Pairs	:	38
Slope	:	.857
Intercept	:	9.647
Correl. coeff.:	:	.321

R. 2.0

Scatter Plot  
from data file kano.dat

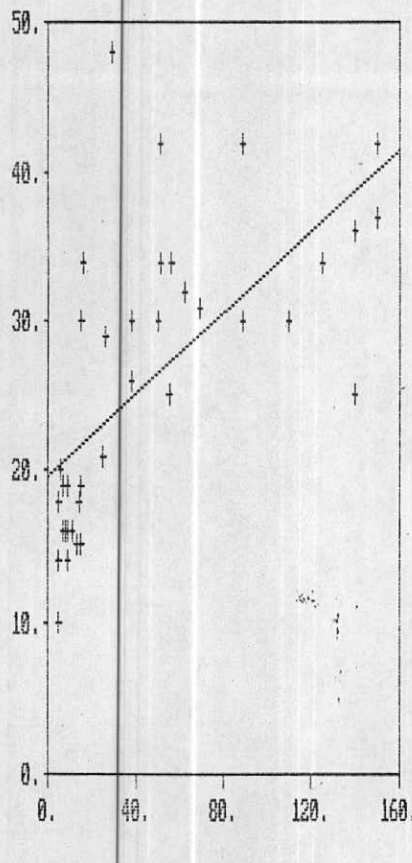


Regression Results:

# Pairs :	38
Slope :	3.625
Intercept :	73.252
Correl. coeff.:	.636

R.21

Scatter Plot  
from data file kamo.dat

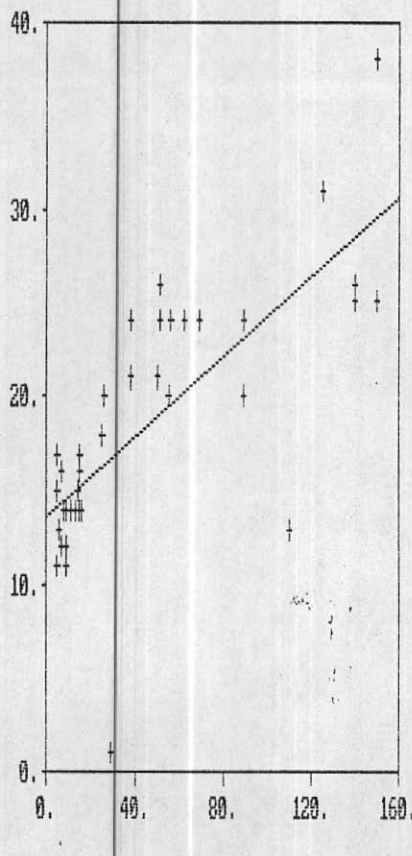


Regression Results:

# Pairs	:	38
Slope	:	.136
Intercept	:	19.695
Correl. coeff.:	:	.649

R.22

Scatter Plot  
from data file kamo.dat



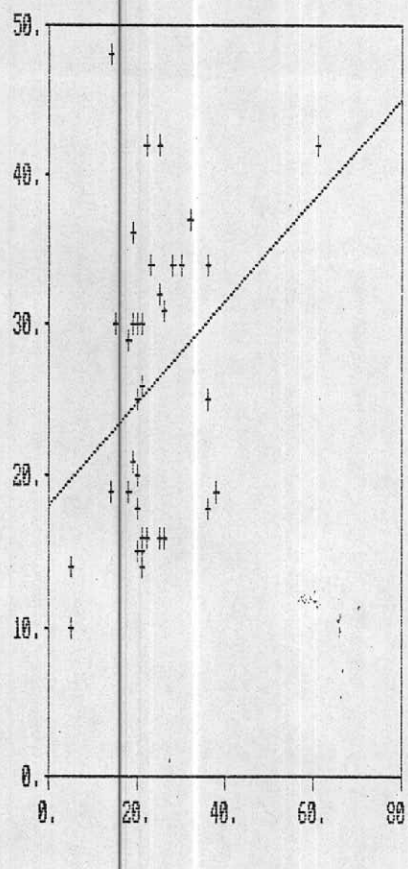
Regression Results:

# Pairs	:	38
Slope	:	.186
Intercept	:	13.655
Correl. coeff.	:	.732

R.23

سازمان آموزش عالی  
دانشگاه علم و صنعت اسلامی  
کتابخانه

Scatter Plot  
From data file kamo.dat

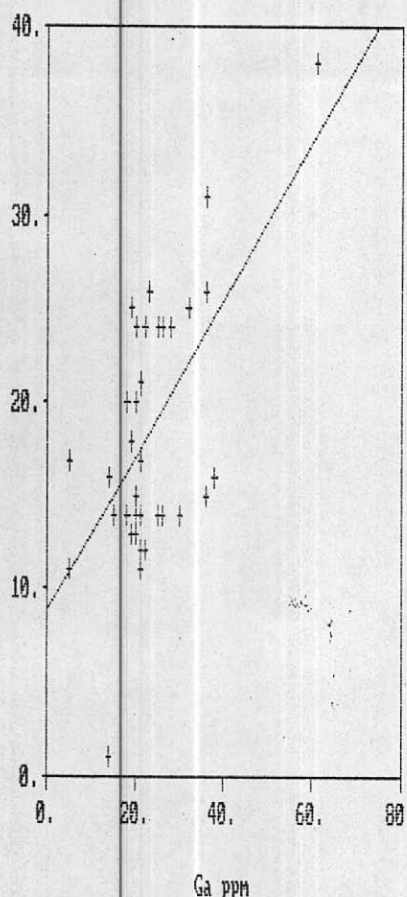


Regression Results:

# Pairs	:	38
Slope	:	.335
Intercept	:	13.887
Correl. coeff.	:	.339

R. 24

Scatter Plot  
From data file kamo.dat



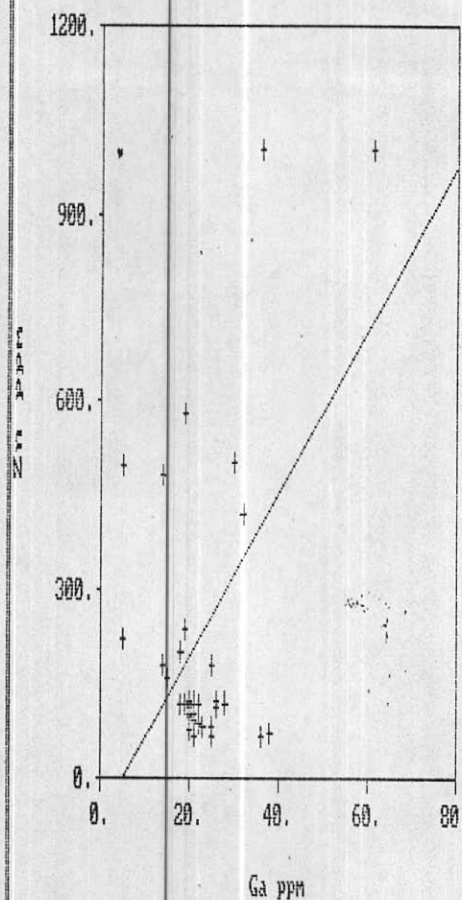
Regression Results:

# Pairs	:	38
Slope	:	.418
Intercept	:	8.761
Correl. coeff.	:	.595

R.26

سازمان این سیاستگذاری  
گردشگاری و حفظ شناختی دریا  
کتابخانه

Scatter Plot  
from data file kano.dat

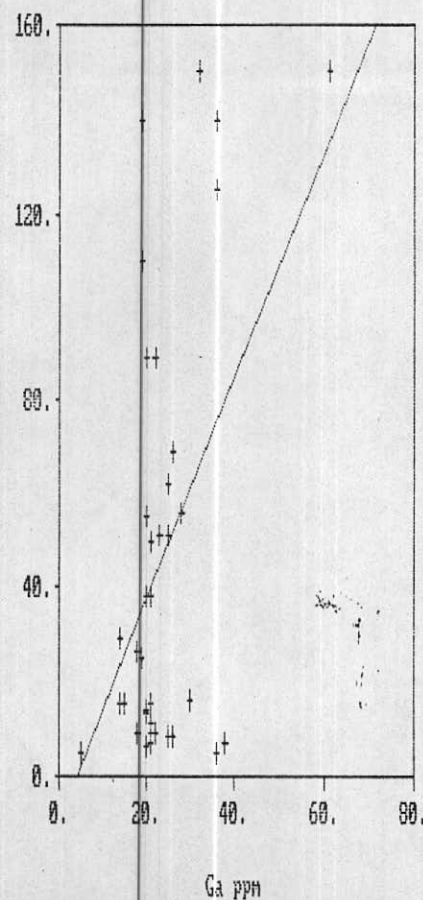


Regression Results:

# Pairs	:	38
Slope	:	13.086
Intercept	:	-64.884
Correl. coeff.	:	.473

R.26

Scatter Plot  
from data file kano.dat

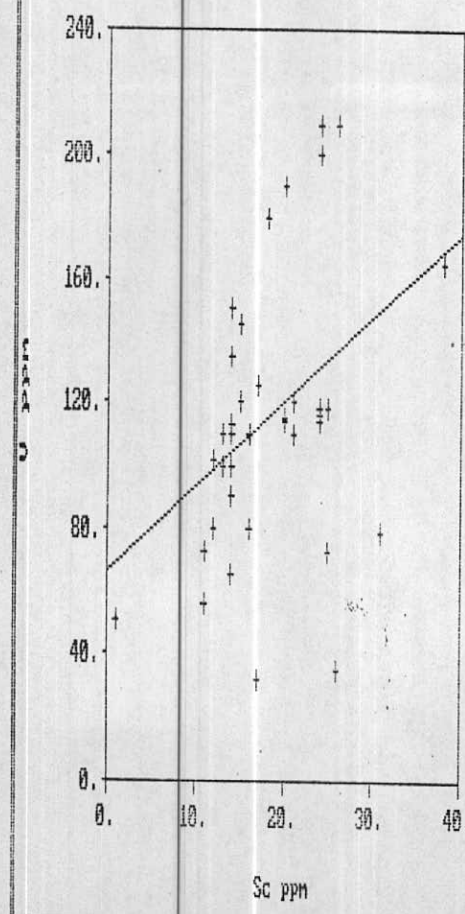


Regression Results:

# Pairs : 38  
Slope : .2.389  
Intercept : -10.250  
Correl. coeff.: .495

R. 27

Scatter Plot  
from data file kamo.dat

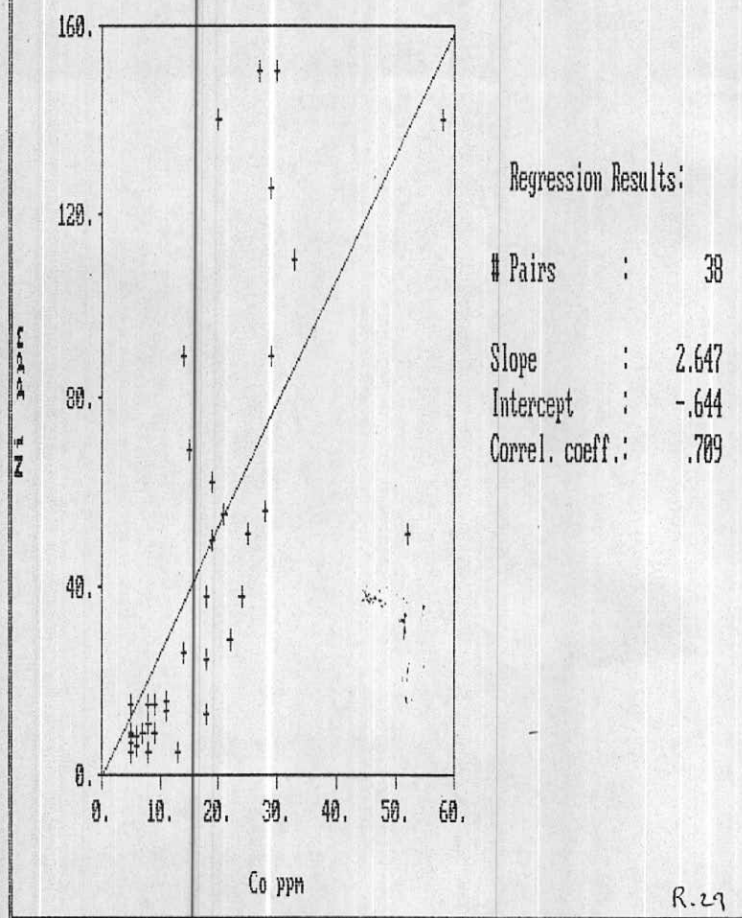


Regression Results:

# Pairs	:	38
Slope	:	2.685
Intercept	:	66.511
Correl. coeff.	:	.398

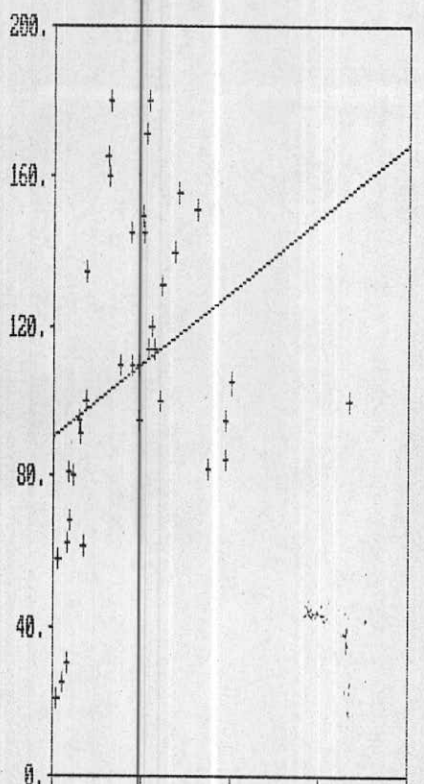
R.28

Scatter Plot  
from data file kano.dat



x!add/x

Scatter Plot  
from data file kamo.dat

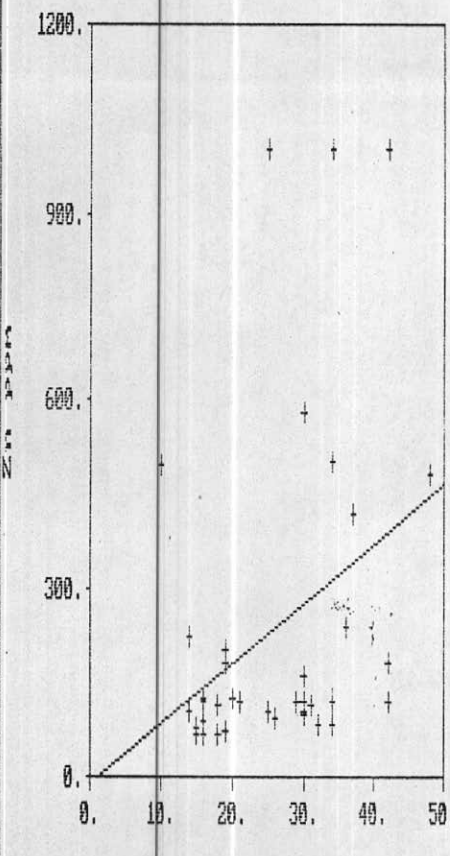


Regression Results:

# Pairs	:	38
Slope	:	.865
Intercept	:	99.962
Correl. coeff.:	:	.325

R.30

Scatter Plot  
from data file kamo.dat



Regression Results:

# Pairs	:	38
Slope	:	9.595
Intercept	:	-10.856
Correl. coeff.	:	.353

R.31

عنصر مس و روی در امتداد پروفیل AA بیشترین ضریب همبستگی را دارد ( $r=0.82$ ). انتشار جفر افیائی این دو عنصر نیز دارای انتطباق کامی بردیکر هستند (نقشه های M1، M2) در نقشه شماره M1 بیشترین تمرکز مس در بخش اول پروفیل بین نمونه های 44 تا 7 قرار دارد و در محدوده نمونه 32,31 نیز مجدداً مقدار این عنصر افزایش می یابد (نمودار D.7). خط طراز  $300 \text{ ppm}$  با توجه به پراکنده نمونه ها در محدوده نیمه شرقی منطقه را محصور می نماید و این نشان دهنده حضور تمرکز اختالی این عنصر در این محدوده است.

نقشه M2 نیز با کمی انحراف نسبتی ارائه بالاترین تمرکز روی در بخش اول پروفیل و در محدوده خط طراز  $460 \text{ ppm}$  مس خط طراز  $1000 \text{ ppm}$  روی تمرکز دارد و میتوان محدوده تمرکز این عنصر را با مس یکی دانست. همبستگی نیکل و روی، نیکل و اسکاندیوم و نیکل و آیتریوم به ترتیب عبارتند از  $r=0.649$ ,  $r=0.732$ ,  $r=0.694$ ,  $r=0.636$  که تمامی این ارقام نشانه ای از همبستگی مثبت و غنی این عنصر با یکدیگر هستند. اگرچه حضور عنصر نادری چون اسکاندیوم (Sc) و آیتریوم (Y) از نقطه نظر تمرکز اقتصادی بیشتر در رابطه با سنگهای سیپ اسیدی است ولی همبستگی آنها با عنصر نیکل بیشتر نیکونی ( $Ni$ ) از نظر حضور کانی سازی و پدیده تمرکز راهنمای خوبی هستند. ناکفته نشاند که در محدوده بخش اول و سوم پژوفیل AA این عنصر از درجه همبستگی R.16, R.15, R.14, R.13, R.12, R.11 بالاتری برخورد ار هستند. نمودارهای شماره R.23, R.22, R.21 نیز ضرائب و را نشان میدهند و همچنین نمودارهای R.7, R.29, R.8 میباشد که در نمودارهای R.7, R.29, R.8 دیده می شوند.

عنصر باریوم Ba و استر انسیوم Sr نیز دارای همبستگی مثبت و شدیدی هستند ( $r=0.6$ ) که این همبستگی شدید نیز با توجه به پاراژنر بودن این عنصر میتواند نشان ای از حضور کانی‌سازی توام با دیگر عنصر باشد (نمودار R.1).

نتایج حاصل از محاسبات خوش‌ای (Cluster Analysis) مبنی تاثید کلی نتایج حاصل از همبستگی خطی عنصر، ارتباط کروهی و شدت همبستگی عنصر هر کروه را نسبت به یکدیگر نشان می‌دهد (نمودارهای شماره ۵، ۶، ۷). کروههایی که دارای همبستگی مثبت و غنی هستند عبارتند از کروه عنصر L.O.I, CaO که هر دو منشاء رسمی داشته و بیتر در رابطه با مواد ارکانیکی هستند. در همین کروه P2O5 و سپس با فاصله‌ای دورتر Sr قرار دارد. مجموعه عنصرهای همبسته این کروه میتوانند در رابطه با تشکیل و احداثی سنگی بخش اول پروفیل AA باشند که با عیار بالائی در پروفیل D5 دیده می‌شوند. عیار این عنصر توام در بخش دوم پروفیل تقلیل یافته و سپس در بخش انتهایی پروفیل افزایش می‌یابد.

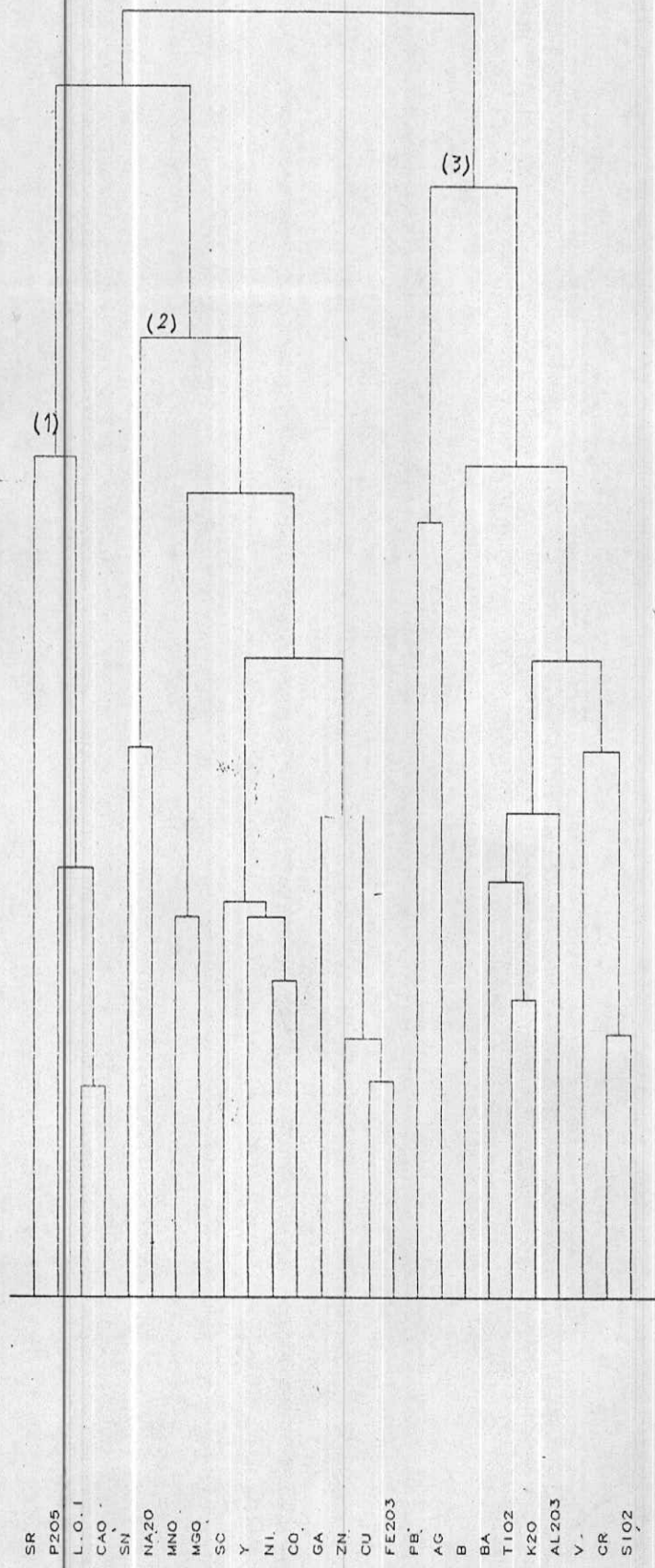
کروه دوم دارای همبستگی شدید هستند شامل عنصر Co, Ni, MgO, MnO, Na2O, Sn که شدیداً به یکدیگر وابسته می‌باشند و سپس با ۲ و اسکاندیوم در همین کروه آهن Fe2O3 و Cu نیز دارای همبستگی شدید بوده و در مرحله بعد هردوی این عنصرها با روی شدیداً پیوستگی دارند و در درجه چهارم عنصر کالیوم با هر سه عنصر مذکور همبستگی دارد. نمودارهای نوسانات این دو عنصر و رابطه نزدیک آنها را با یکدیگر به نمایش گذاشتند. بطوریکه دیده می‌شود، مس و آهن دارای نوسان یکنواخت و یکشکل هستند.

کبات و نیکل نیز دارای همبستگی شدیدی هستند و در درجه دوم و سوم با ایستربیوم و اسکاندیوم و ابسنگی دارند. نمودارهای شماره D6, D8

GEOLOGICAL SURVEY OF IRAN-Geochemical Study:KAMO (4)  
CLUSTER ANALYSIS - Cophenetic Correlation Coefficients

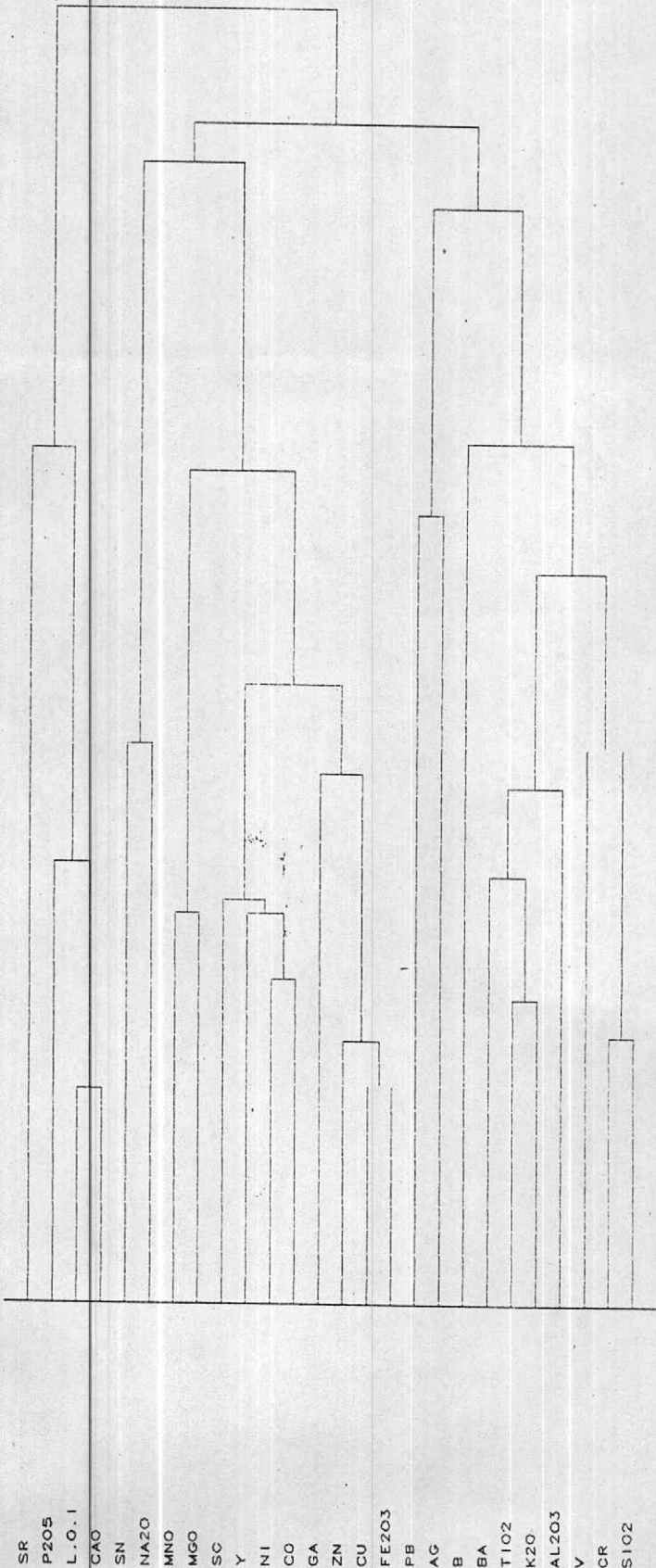
METHOD	Correlation Coeff.
Group averages	0.8136
Simple averages	0.7930
Furthest neighbours	0.7540
Nearest neighbours	0.6426
Wards method	0.5036

# GROUP AVERAGES



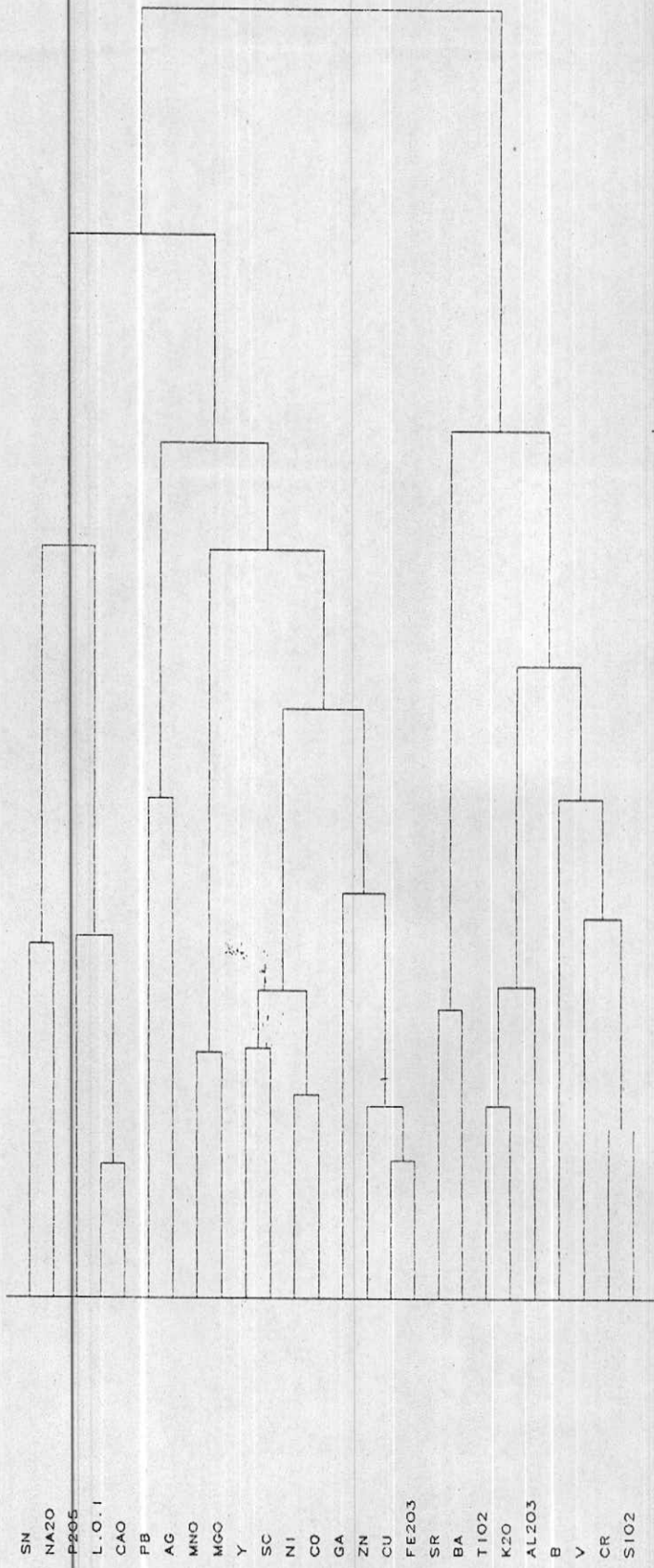
(5)

(6)

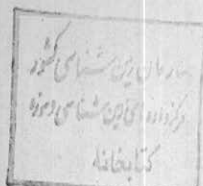


SIMPLE AVERAGES

# FURTHEST NEIGHBOURS



v.A



تعییرات هموی این دو عنصر را در امتداد پروفیل AA و نقشه‌های M4, M3 نیز انتشار جغرافیائی و انطباق آنها را بر یکدیگر در محدوده اکتشاف نشان می‌دهد.

تجمع و همبستگی اکسیدهای Al2O3, K2O, TiO2 احتمالاً در رابطه با حضور احتمالی توده غذایی و حضور یکمآگمای الکالیک یا اسیدی احتمالی می‌باشد که در مجاورت آهکهای اسکارن شده حضور دارد (توده مذکور در محدوده اکتشاف فاقد بیرون زدگی است ولی در نزدیکی محدوده در منطقه قبرود دیده می‌شود).

عنصر کرم و وانادیوم و همچنین اکسید سیلیسیوم (SiO2) نیز دارای همبستگی مثبتی هستند که در نیمه دوم پروفیل AA بخوبی دیده می‌شوند.

آنچه از بررسی مجموعه عناصر همبسته حامل میکردد، حضور و همبستگی عناصر کانسار ساز به ویژه تیپ اسید تا متوسط است که احتمالاً در رابطه با پدیده متامرفیسم مجاورتی با توده آهکی (اسکارن) میتواند باشد.

#### ۵-۲- کانی‌سازی و سطح فرسایش در اندیس معدنی در کامو

انتشار عناصر در طول پروفیل برداشت شده روند ویژه‌ای را ارائه می‌نمایند. این‌کوئه انتشار در رابطه مستقیم با تشکیل عناصر هم‌خانواده (Paragenese) می‌باشد. جهت ارزیابی انتشار عناصر و تعیین سطح فرسایش اندیس مذکور نسبت به سطح توپوگرافی فعلی و همچنین موقعیت احتمالی توده کانی‌ساز اقدام به تهیه دیاگرام اهمیّتی بر اساس ضرائب نسبت عناصر کانسارساز (Ratio Indexes) گردیده است.

در مجموع ۷ دیاگرام بر اساس ضرائب نسبت عناصر مختلف تهیه شده که عمد آن ارائه‌دهنده چگونگی انتشار دیاگرام هفتم مجموعه انتشار همه ضرائب در امتداد پروفیل می‌باشد (نمودارهای P1 تا P9).

## ۱-۲-۵- نسبت عناصر فوق کانساری به تحتکانساری یا ضریبکانسازی

امولا" عناصر بمحورت محلول در یک محلول ماقعه ای یا هیدروترمالی تازمانیکه شرایط فیزیکی و شیمیائی آن محلول به نخورد است همراه با محلول گرمابی به سمت طبقات فوقانی و یا جانشی حرکت می نمایند. زمانیکه به هر دلیل فیزیکی مثل فشار و درجه حرارت و یا شیمیائی چون تغییر در ترکیب محلول و یا سنکماه در برگیرنده محلول بوجود آید عناصر بمحورت گروه و یا هم خانواده بتریج از محلول گرمابی خارج می شوند و در محیط Paragenece اطراف نهشته میگردند. ترتیب خروج از محلول و نهشته شدن را سکانس می خوانند و همچنین ترتیب تشکیل و قرار گرفتن عناصر را در سه بعد فضایی در داخل سنکماه در برگیرنده را زون Zonation و یا Zonality می نامند. آنچه مسلم است در هر نقطه فضایی تمرکز عناصر بمحورت حد اکثر و حداقل متوجه صورت میگیرد، بعبارت دیگر در هر نقطه که عمل نهشته شدن و تمرکز مجموعه ای از عناصر پدیده آید، تعدادی از عناصر با عیار بالا و تعدادی دیگر با عشار پاشین تولما" تشکیل میگردند، در اینصورت عناصری که دارای عیار بالایی هستند ماده اصلی معدنی را تشکیل میدهند و عناصر دیگری که دارای تمرکز و عیار کمتری هستند بنام عناصر همراه Byproduct خوانده می شوند. لذا تشکیل کانسارهای فلزی اکثر ا" چند عنصری بوده و بنام پلی متال معروف هستند.

عامل دیگری که در چکونکی تشکیل، تعریق و نهشته شدن عناصر در یک توده معدنی نقشی اساسی دارد نوع عناصر میباشد، بطور مثال عناصر مافیک مثل کرم، کبالت، نیکل ... بدلیل تقلیل بالای خود در

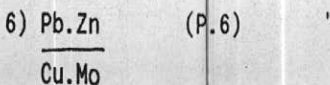
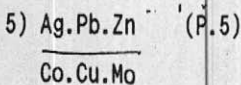
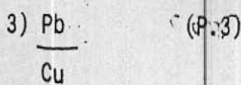
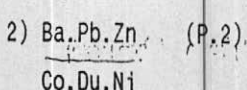
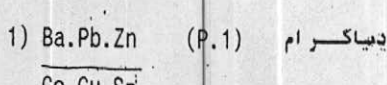
همان مراحل اولیه تعریق از محصول ماقمایی جدا میشوند و عناصر اسید چون، سرب، روی، نفره، ارسنیک، آنتیموانو غیره بتدربیج در مرحله بعدی و در طبقات بالاتر توده معدنی مشتق و نهشته میشوند. طبیعی است که تعدادی از عناصر حدواتسط بوده و در محدوده حدواتسط این دو قطب جدایش فرار میکنند. باید توجه داشت در هر مرحله از جدا شدن عناصر بازیکبا مافنیک با مقدار کمتری از عناصر مافنیک همراه باشند. بطور کلی عناصر اسیدی با مقدار کمتری از عناصر مافنیک همراه باشند. نهشته عناصر مافنیک در یک توده معدنی در بخش‌های تحتانی توده نهشته میشوند که این عناصر معرف تحت کانساری یا Under ore indicator elements توده معدنی نهشته میشوند معروف به عناصر معرف فوق کانساری یا Supra ore indicator elements (S.V.Grigorian 1975) میباشد.

با توجه به مقدمه ای که کذشت میتوان چنین نتیجه گرفت که نسبت عناصر فوق کانساری به تحت کانساری در هر سطح از توده معدنی میتواند راهنمای خوبی جهت تشخیص سطح فرسایش توپوگرافی و یا دوری و نزدیکی ماده اصلی معدنی به سطح افق باشد. واضح است چنانچه سطح فعلی توپوگرافی متنطبق بر بخش اصلی توده معدنی یا (ore) باشد (کانسار بیرون زده است) نسبت عناصر فوق کانساری مثل سرب، روی، باریوم ... به عناصر تحت کانسار مثل مس، کبالت، مولیبدنیوم و غیره بطور نسبی در حداقل خود قرار دارند و اگر سطح فعلی توپوگرافی با سطح توده اصلی ماده معدنی فاصله داشته باشد (توده اصلی در عمق قرار داشته و فاقد بیرون زده است) در اینصورت میتوان انتظار داشت که نسبت عناصر فوق کانساری تحت کانساری رقم فوق العاده بالا شود و شکل بدهد. این ارقام معمولاً

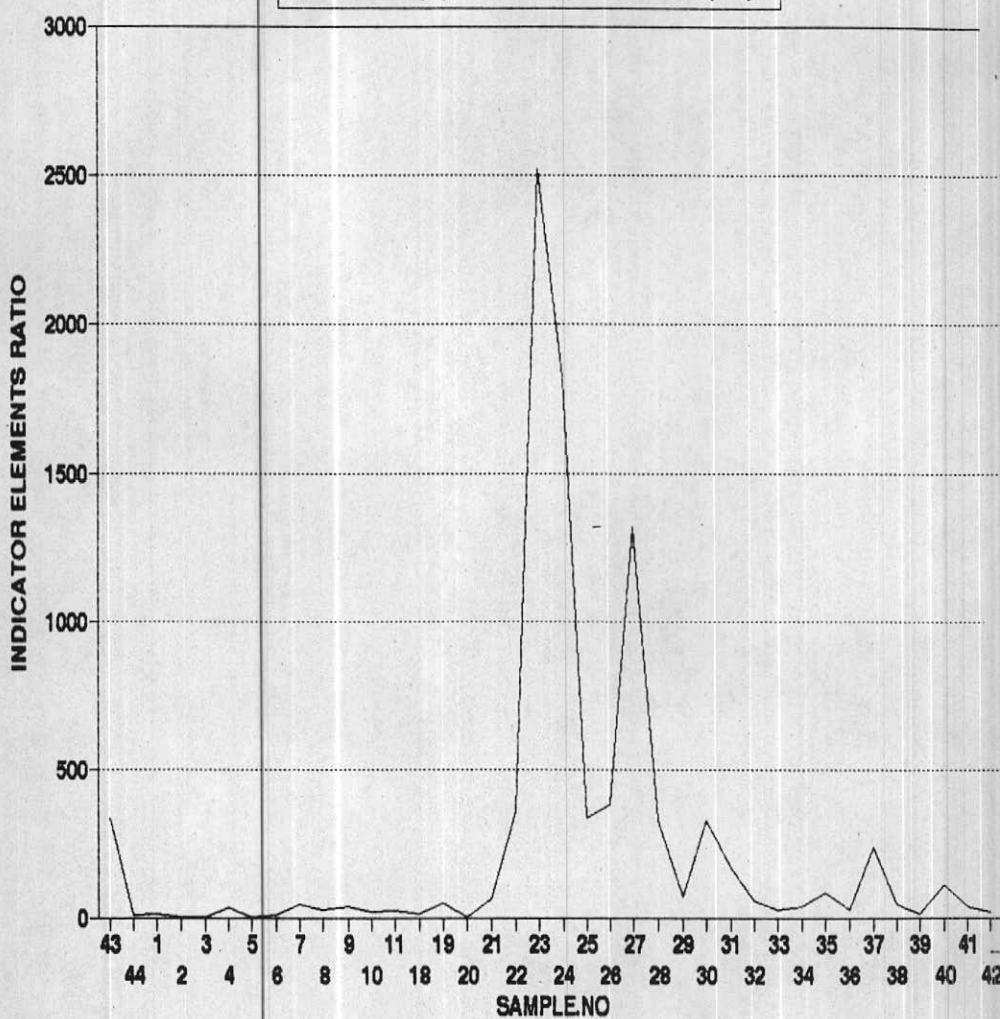
بین  $47 \times 10^{-7}$  تا  $77 \times 10^{-7}$  در نوسان است.

روش بسیار مناسی جهت تعیین موقعیت سطح فلزی توده معدنی  
 نسبت به سطح فعلی  
 توسط سو و کریکوپریان طبقه بندهی و استانند از  $\text{Pb}$  کسردیده است. در روش  
 وی، ابتدا مقدار عناصر فویک، کابسیا و ران در یکدیگر ضرب نموده و سر  
 حاصل ضرب عنصر همچنین کانپیار  $\text{Cu}$  به میزان معماییم در آن صورت رقم  
 بدست آمده با مقسومیت  $10$  برآورده شود. اگر مقدار  $5$  اکتشاف کویای  
 موقعیت فضایی سطح توده معدنی خواهد بود.  
 در امتداد پروفیل اندیس معدنی کامتو بطول تقریباً یک  
 ده متر که بفوق اقل هزار متر یک شوت از لیکنبرد آشتگردیده  
 محاسبات نسبت عناصر فویک کاشاری به تحت کاشاری با توجه به عناصر  
 آنالیز شده بمورت زیر بعمل آمده است.

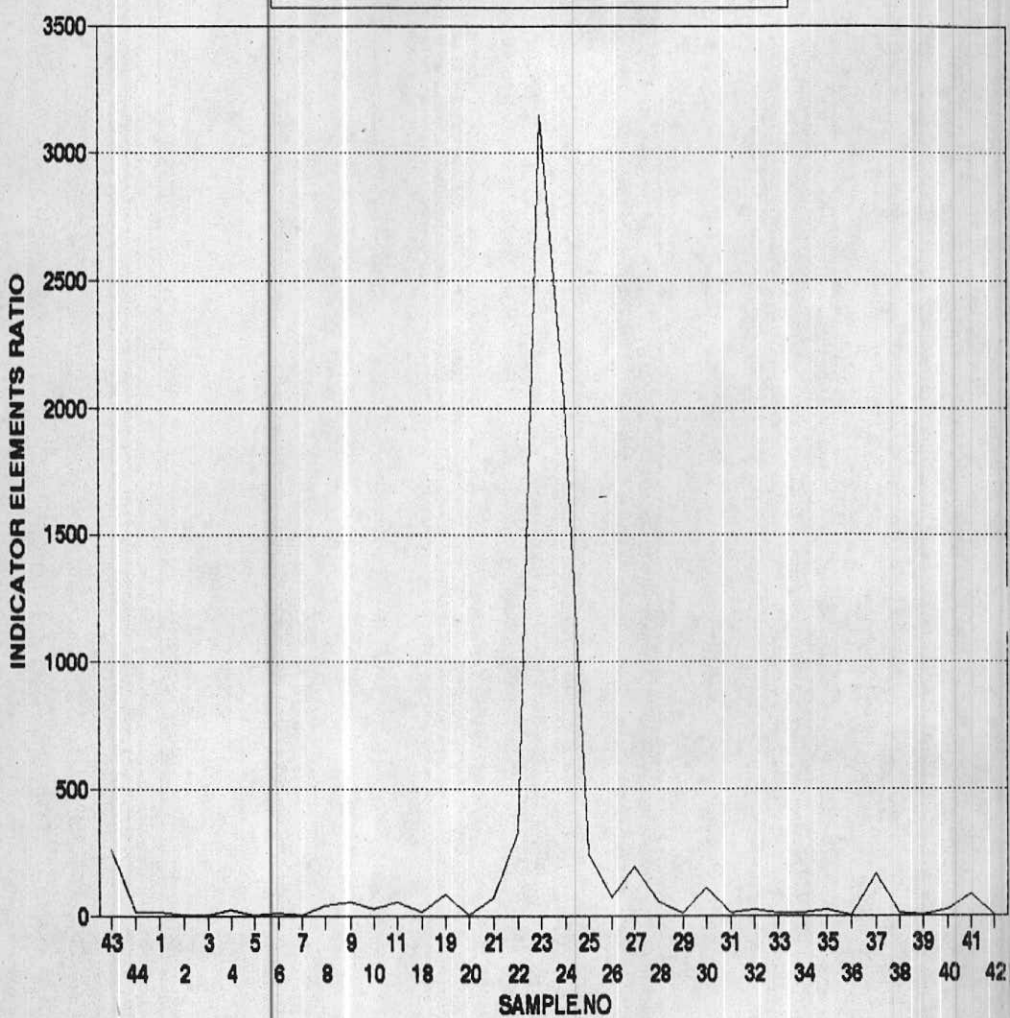
۱- نسبت عناصر فویک کاشاری به تحت کاشاری بزرگی عناصر:



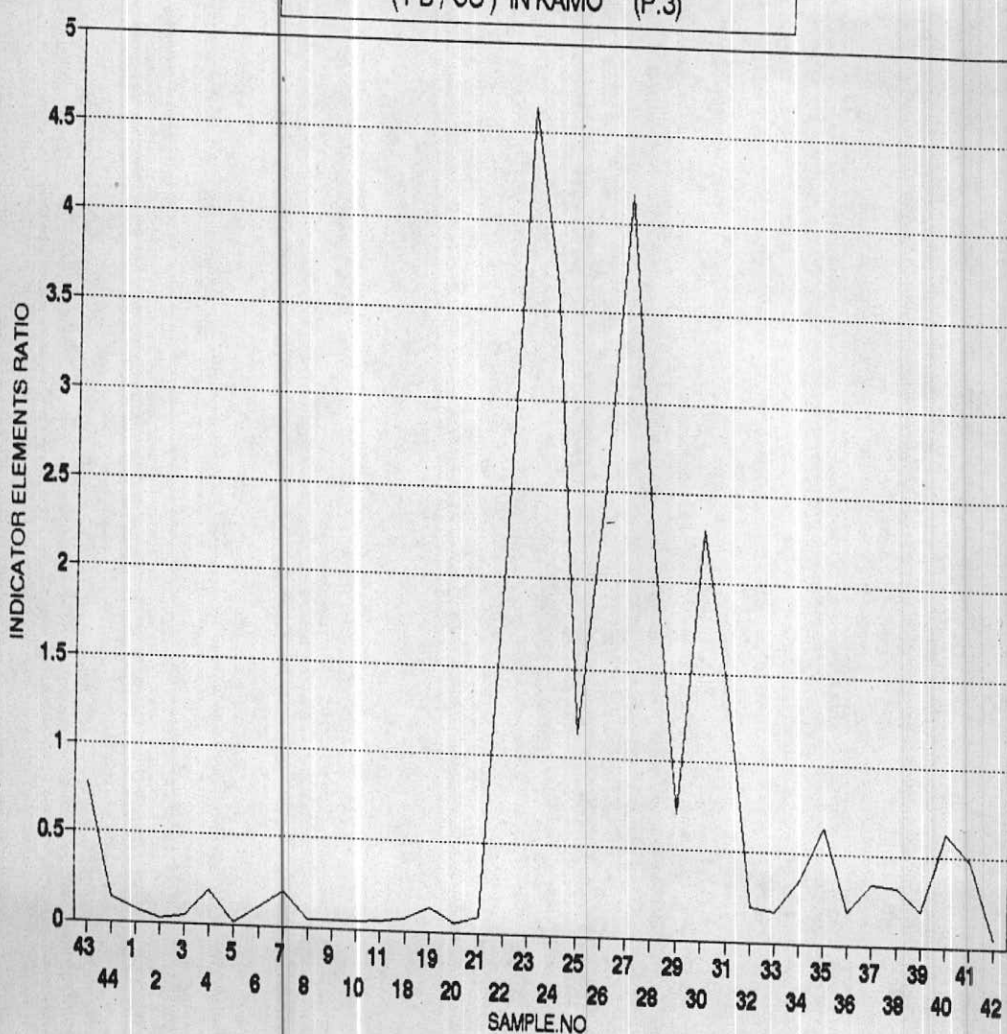
RATIO INDEX OF INDICATOR ELEMENTS  
 $(\text{BA} * \text{PB} * \text{ZN}) / (\text{CO} * \text{CU} * \text{SN})$  IN KAMO (P.1)



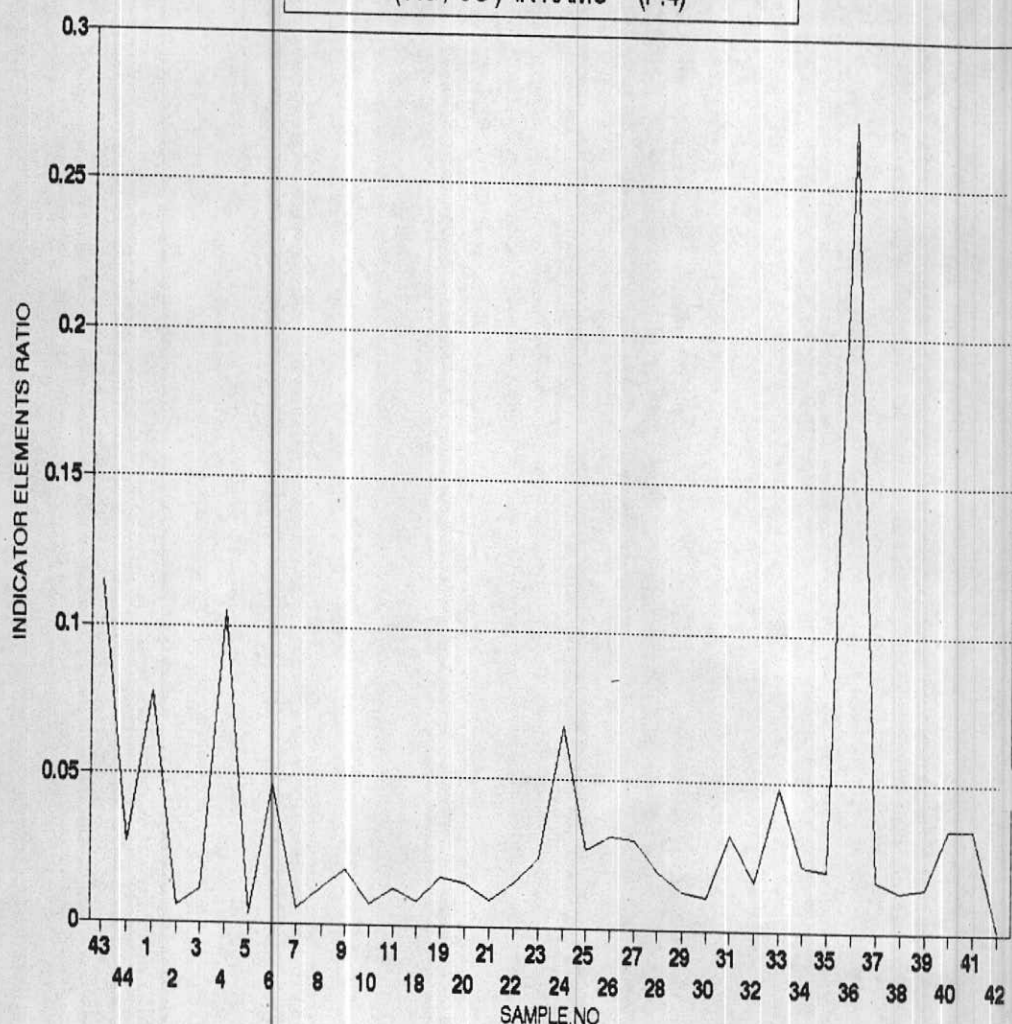
RATIO INDEX OF INDICATOR ELEMENTS  
 $(Ba \cdot Pb \cdot Zn) / (Co \cdot Cu \cdot Ni)$  IN KAMO (P.2)



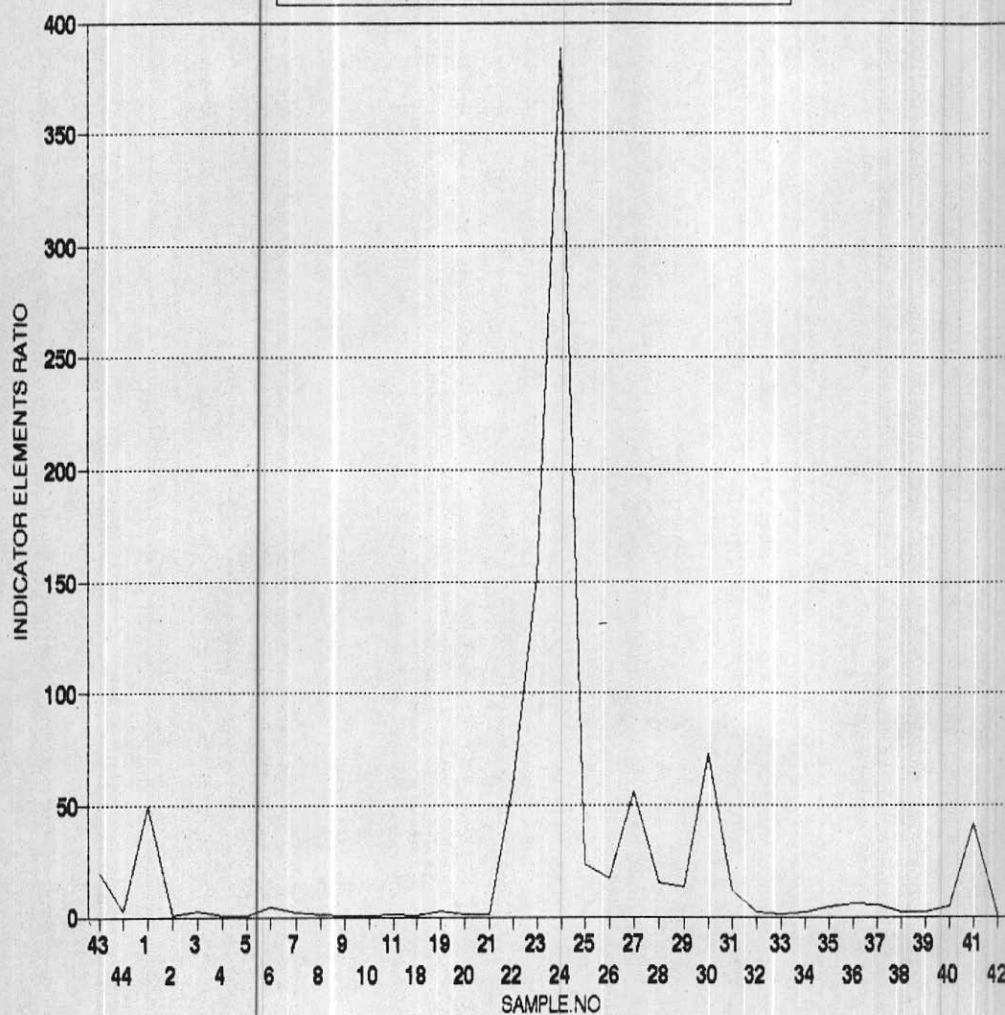
RATIO INDEX OF INDICATOR ELEMENTS  
(PB / CU) IN KAMO (P.3)



RATIO INDEX OF INDICATOR ELEMENTS  
(AG / CU) IN KAMO (P.4)



RATIO INDEX OF INDICATOR ELEMENTS  
 $(AG \cdot PB \cdot ZN) / (CO \cdot CU \cdot MO)$  IN KANO (P.5)



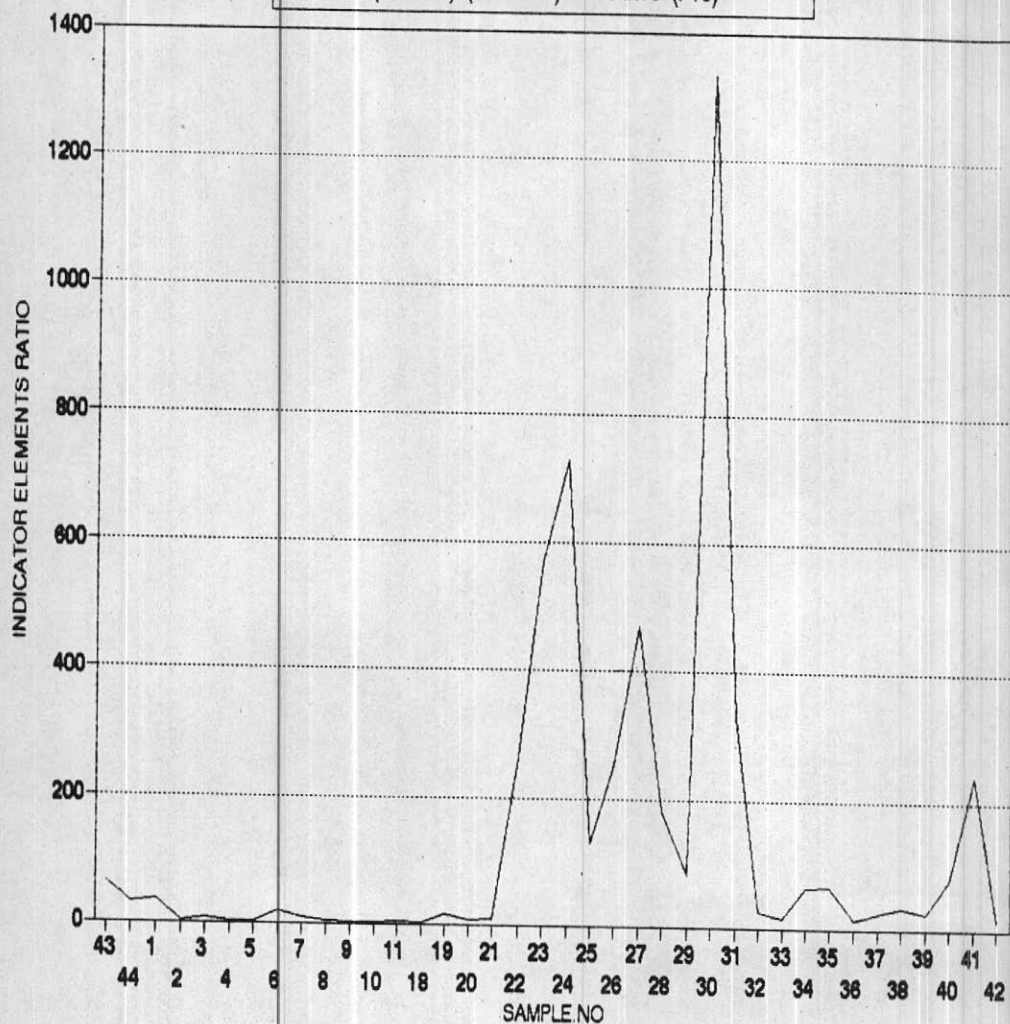
در خصوص بخش سوم پروفیل یعنی محدوده بین نمودار ۳۰ الی ۴۲ مجدداً با کاهش مقدار عناصر فوق کانساری به تحت کانساری سطح توپوگرافی به سطح بوده اصلی کاهش یافته ولی نسبت به بخش اول در عمق بیشتری قرار دارد .  
نمودار شماره P.2 تقریباً همان روند سطح فرسایش نمودار شماره P.1 را نشان میدهد ، با این تفاوت که بجای عنصر Sn عنصر Ni در نظر گرفته شده است .

نمودار شماره P.6 چهار عنصر سرب ، روی و مس و مولیبدن جهت تعیین ضریب نسبت عناصر فوق کانساری به تحت کانساری بکار رفته است .  
نتایج حاصل از این پروفیلهای شماره P.2,P.1 تقریباً منطق بوده و سه زون مختلف را ارائه می‌نمایند .  
در نمودار شماره P.3 نسبت سرب به مس انتخاب شده است . نتیجه حاصل نشان دهنده زون کانی‌سازی مس در بخش اول پروفیل و زون کانی‌سازی سرب در بخش دوم پروفیل می‌باشد .

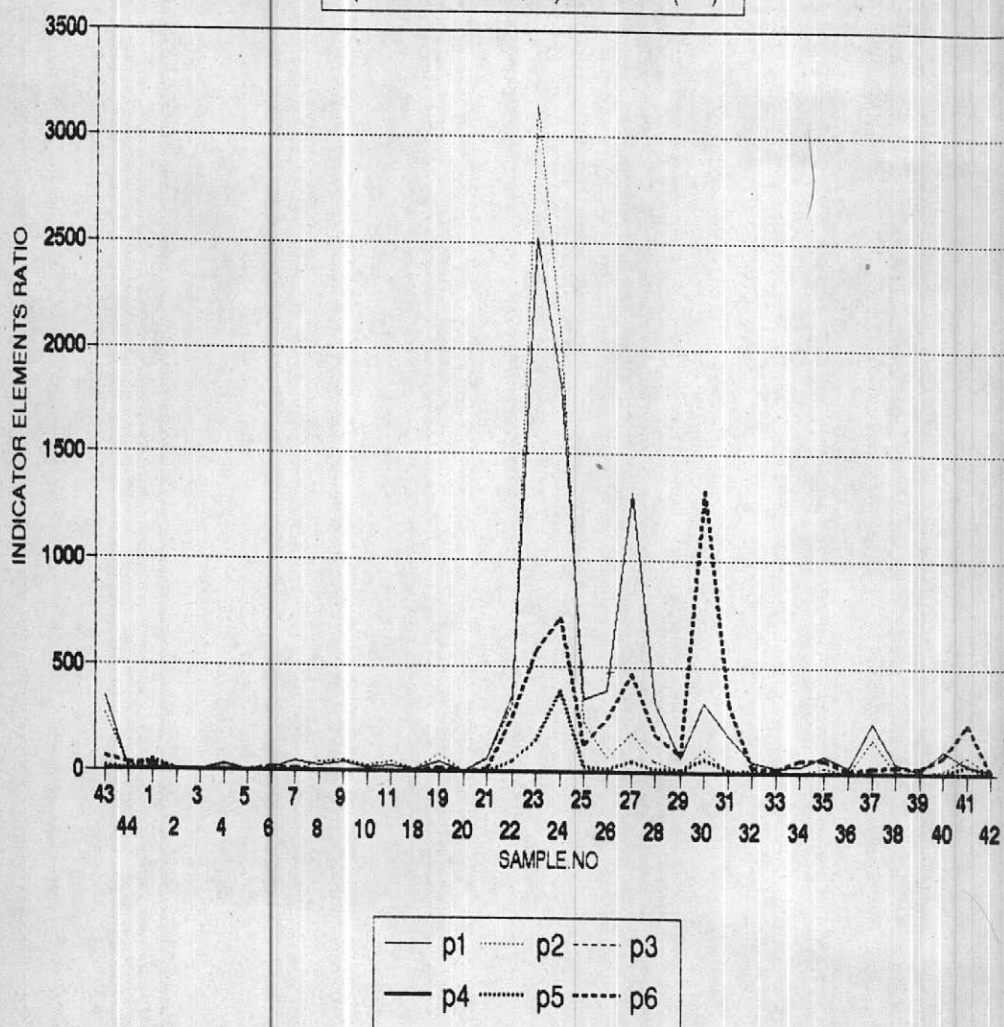
در نمودار شماره P.4 نسبت نقره به مس در نظر گرفته شده است .  
در این نمودار نقاط مرکز نقره و مس از یکدیگر بتعکیک‌کردیده است و علاوه بر این در دیاکرام شماره P.8 ارتباط و انتشار سرب و نقره که پار ایزتر یکدیگر هستند به خوبی نشان میدهد ، که زون تشکیل این دو عنصر نسبت به مس تغییر می‌کند .

نمودار شماره P.5 نیز نسبت عناصر فوق کانسار به تحت کانسار را با توجه به عنصر Mo نشان میدهد که تحقیقاً بر دیاکرامهای قبلی منطبق می‌باشد . برای مشاهده بهتر نتایج حاصل از غ پروفیل ، کلیه نمودارها را بر روی یک نمودار (P.7) نشان داده شده است و در نتیجه

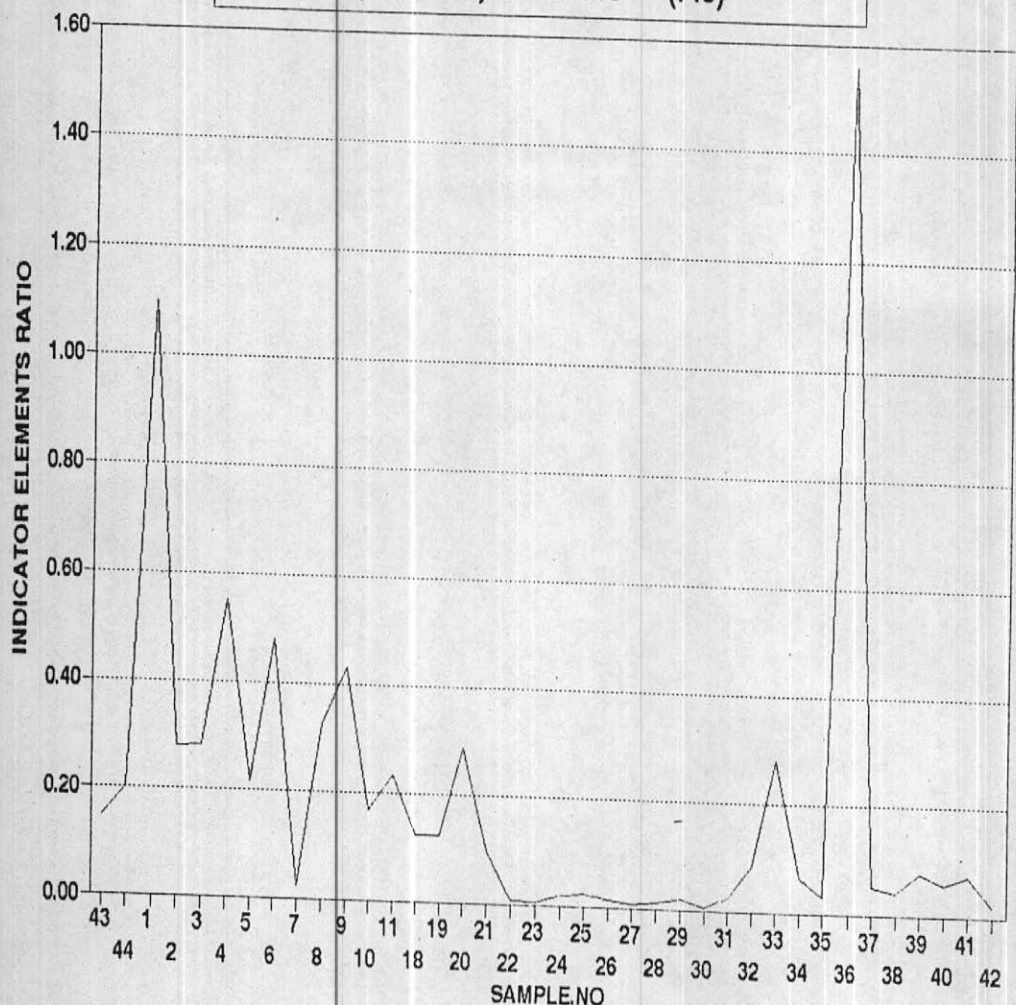
**RATIO INDEX OF INDICATOR ELEMENTS  
 $(\text{PB}^*\text{ZN})/(\text{CU}^*\text{MO})$  IN KAMO (P.6)**



COMPARING OF RATIO INDEXES  
(P<sub>1</sub>, P<sub>2</sub>, P<sub>3</sub>, P<sub>4</sub>, P<sub>5</sub>, P<sub>6</sub>) IN KAMO (P.7)



RATIO INDEX OF INDICATOR ELEMENTS  
( AG / PB ) IN KAMO (P.8)



ملاحظه میکردد که تماماً "ظرائب بست آمده نشانه ای از تزدیک بودن

سطح توپوگرافی به سطح بوده معدنی در بخش اول پروفیل است.

آنچه میتوان از بحث فوق الذکر نتیجه گرفت عبارتست از :

۱- محدوده واقع بین نمونه های ۴۴ تا ۲۰ منطبق بر زون کانیسازی

عنامر تحت کانسار یعنی عنامر مس، کبات، سنگل، آهن و قلع ...

سیباشد و محدوده واقع بین نمونه های ۲۱ تا ۳۲ منطبق با تمرکز و

تشکیل احتالی عنامر فوق کانساری بسویژه سرب و روی و باریوم را

دارد و بخش سوم پروفیل نیز شرایط کم و بیش مشابه بخش اول

باشد کمتری میباشد.

۲- با توجه به حضور عدسیهای آهن و مشاهده کانیماسی چون پیریت،

کالکوپیریت و حضور کانیهای ویژه اسکارن چون کارنت و اپیدوت در

آهکهای مجاور و در برگیرنده عدسیها میتوان بخش اول پروفیل را

در محدوده یک کانسار احتالی از نوع اسکارن دانست که با مشخصات

همبستگی عنامر و انتشار آنها در محدوده مذکور نظریه حضور کانسار

احتالی را قوت میبخشد.

۳- رابطه کانیسازی و واحدهای سکی منطقه

---

در محدوده اکتشافیه ویژه محدوده پروفیل AA، سکهای موجود

عبارتند از آهکهای سفید رنگ که در بخش شرقی پروفیل (ابتدای

پروفیل) فرا داشته و در مجاورت آهکهای مذکور عدسیهای متعدد آهن

نیز تشکیل شده است (به سمت غرب سکهای آهکی با سکهای

خروجی از تیپ آندزیت، توفهای اسیدی در کناتکت میباشد. نیمه

دوم پروفیل تماماً از شیوه های سلیسی شده همراه با سکهای

ولکانیکی نظیر آندزیت، داسیت و توفهای اسیدی است).



کانیهای مکتسبت و همایعیت بصورت عدیمهاشی در کن tact آهکها،  
 همچنین کانیهای پیریت کالکوپیریت، آرسنوبیریت؟ تو ام با  
 رکهای سیلیسی و کانیهای تیپ اسکارن نظیر اپیدوت تا محدوده کف  
 آبراهه اصلی بستردیج دیده میشود (محدوده نمونه ها ۱ تا ۱۹ پروفیل AA)  
 نمونه های برداشت شده از واحدهای کانی ساز در محدوده اکتشاف  
 نمونه های شاره ۵۸,۵۵ دارای مقادیر قابل توجهی مس، آهن و  
 کبات است (جدول شاره ۳).

جدول ۳ صورت آنالیز نمونه های سنگ

شاره نمونه	Fe%	Co ppm	Cu ppm	Zn ppm
K.Ab.55	72.767	16	521	-
K.Ab.58	73.01	17	224	-
K.Ab.59	83.68	19	233	-
K.Ab.69	1.28 *	-	0.63%	112
K.Ab.70	-	-	112	164
K.Ab.71	76.32	40	0.32%	

نمونه‌های دیگری که در محدوده اکتشاف پر اکنده‌اند اکثراً "دارای کانی‌سازی پیریت، کالکوپیریت بورنیت، آرسن‌پیریت، مکنتیت، هماتیت و لیمونیت" می‌باشد که در نمونه‌های دستی کانیهای مذکور قابل تشخیص هستند. حضور کانیهای فوتوالکتریک در نمونه‌های سنگ برداشت شده و انتطاب آنها با پر اکنده‌کی عناصر (نقشه‌های انتشار عناصر M) نشانه‌ای از کسترش کانی‌سازی در محدوده اکتشاف می‌باشد.

با توجه به آنچه در شرح انتشار و تمرکز عناصر گفتگشده، تمرکز کانی‌سازی و حضور احتمالی یک پدیده کانی‌ساز از نوع اسکارن در درجه اول در بخش شرقی (بخش اول پروفیل AA) مشاهده می‌گردد و همچنان ر احتمال کانی‌سازی در بخش دوم و سوم پروفیل در رابطه با فعالیت کانی‌سازی در تشکیلات ولکانیکی است.

#### ۶- نتایج و پیشنهادات

##### ۱- نتایج

یکی از اهداف اصلی کزارش فعلی ارائه و تعمیین روش علمی جهت بررسی و مطالعه اندیشهای معدنی است که بدلاً از کوئاکون چون کم بود بودجه نمیتوان مطالعات دقیق‌تر و مفهوم‌تری را به مورد اجرا کرد از این‌رویه اندیشهای معدنی هستند که در مساحت محدود رخمنو داشت و شواهد زمین‌شناسی و معدنی حکایت از غنی بودن اندیس و احتمال حضور نکات پرمیار و تمرکز یافته‌تری در محدوده اندیس می‌باشد که می‌بایستی با یک بررسی و مطالعه محدود تک‌ایف و ارزش اندیس معلوم کردد تا در صورت مثبت بودن مراحل بعدی اکتشاف به اجراء در آید. مطالعه حاضر را که بر روی یکی از دهها اندیس معدنی در ورقه

یکمدهزار کاشان مورت کرفته است در واقع ارائه طریق هر چند ناقص در خصوص بررسی و ارزیابی اندیسیمای معدنی است که کم و بیش مبتنی بر دلائل علمی و منطقی است که میتوان با ضریب اطمینان بیشتری نسبت به ارزش اندیسین قضاوت نمود.

نتایج حاصل از مورت آنالیز نمونه ها که در امتداد پروفیل AA برداشت شده و همچنین آنالیز نمونه های چکشی که در محدوده اکتشاف (نقشه شماره ۶) نیز برداشت شده است به چند روش مختلف مورد مطالعه و محاسبه قرار گرفت اند. اهدافی که از این بررسی مورد نظر بوده عبارتند از:

- ۱- تعیین زون مثبت و غنی از کانی سازی
- ۲- تعیین ضریب کانی سازی و محدوده های تناهنجاری
- ۳- تعیین محدوده کانی سازی و بررسی و ارزیابی سطح فرسایش بمنظور تعیین حضور احتمالی بوده کانی ساز در زیر سطح فعلی توپوگرافی
- ۴- و بالاخره ارزیابی اندیس از نقطه نظر ارزش اکتشافی مبتنی بر نتایج که از مطالعه اندیس در هکامو بدست آمده است

عبارتند از:

- ۱- تمرکز و تجمع در حد آنومالی عنصر آهن، مس، روی، کالیوم، آیتریوم، Mn, Mg، کروم و قلع در بخش اول پروفیل و در بخش شرقی محدوده اکتشاف، در مجاور بودهای آهک و عدیمهای آهن
- ۲- حضور کانیهای تیپ اسکارن در مجاور عدیمهای آهن و آهکها و نیز تمرکز و تجمع عنصر تیپ اسید در همین محدوده حکایت از احتمال کانی سازی اسکارن را میدهد. با توجه به حضور تمرکزهایی از قلع در زون اسکارن احتمال حضور تنکستن نیز بعید نمیباشد (عنصر تنکستن مورد آزمایش قرار نگرفته است).

۳- همبستگی عناصر تیپ اسید و بازیک و همچنین انطباق این عناصر با انتشار جفرافیائی عناصر در محدوده اکتشافتگر دلیل دیگری بر حضور کانی‌سازی احتمالی بهویژه در بخش شرقی محدوده اکتشاف است.

۴- اعمال ارزیابی اندیس معدنی مذکور به روش تعیین سطح فرسایش با استفاده از روش نسبت عناصر فوق کانساری به تحت کانساری نیز دورنمایی منطقی از حضور عناصر تحت کانساری در بخش اول پروفیل AA و همچنین حضور عناصر فوقکانساری در بخش دوم پروفیل دارد. نسبت مذکور نشان میدهد که سطح توپوگرافی فعلی در بخش شرقی محدوده اکتشاف به مرتب به توده معدنی نزدیکتر است تا بخش غربی محدوده اکتشاف.

۵- در یک جمع‌بندی نهائی، حضور سطح فرسایش شدید و نزدیکی به توده اهلی کانی‌ساز و همچنین وجود همبستگی مثبت و غنی عناصر در بخش شرقی محدوده اکتشاف و بالاخره انطباق زون‌های کانی‌ساز با ساختمان زمین‌شناسی و کانیهای پیریت، کالکوپیریت، مگنتیت، ارسنوبیریت و کوولیت... و غیره و انطباق آنومالیهای عناصر کانسارساز تماماً نشانه‌ای از غنی‌بودن و احتمال حضور توده‌کانی‌ساز پنهان (Blind deposit) در بخش شرقی محدوده اکتشاف می‌باشد.

## پیشنهاد ات

با توجه به نتایج حاصل از ارزیابی اندیس کامو پیشنهاد زیر جهت ادامه اکتشاف ارائه میگردد.

۱- انجام اکتشافات نمیه تکمیلی در مساحت ۵ تا ۸ کیلومتر مربع.

۲- نمونه برداری از سنگ و یا خاک بر اساس شبکه نمونه برداری به تعداد ۴۰ تا ۵۰ نمونه در هر کیلومتر مربع

۳- آنالیز نمونه ها جهت تعیین زوئنهاي کانی ساز و آلتراسیون به طریق XRD و یا اسپکترومتری.

اهدافی که در پایان اجرای مرحله نمیه تکمیلی بدست خواهد آمد.

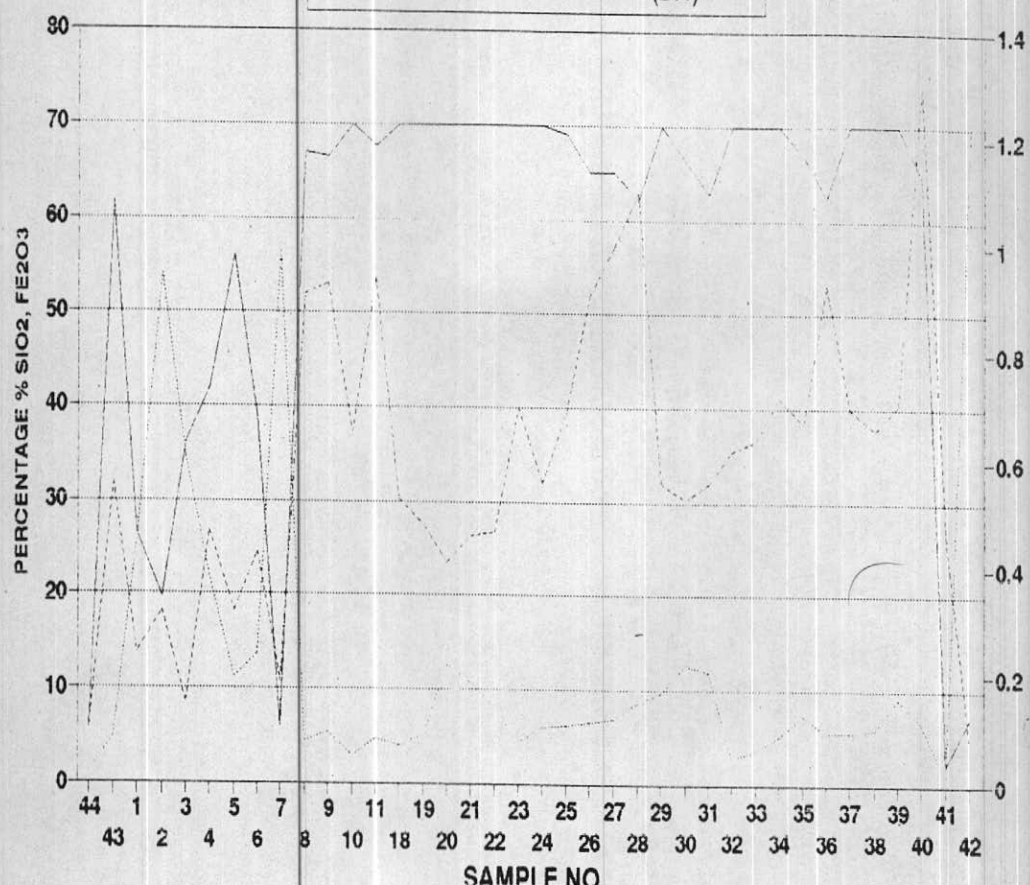
تعیین محدوده مناسب اکتشافات تکمیلی و احتمالاً "محدوده مناسب حفاری خواهد بود.

## منابع

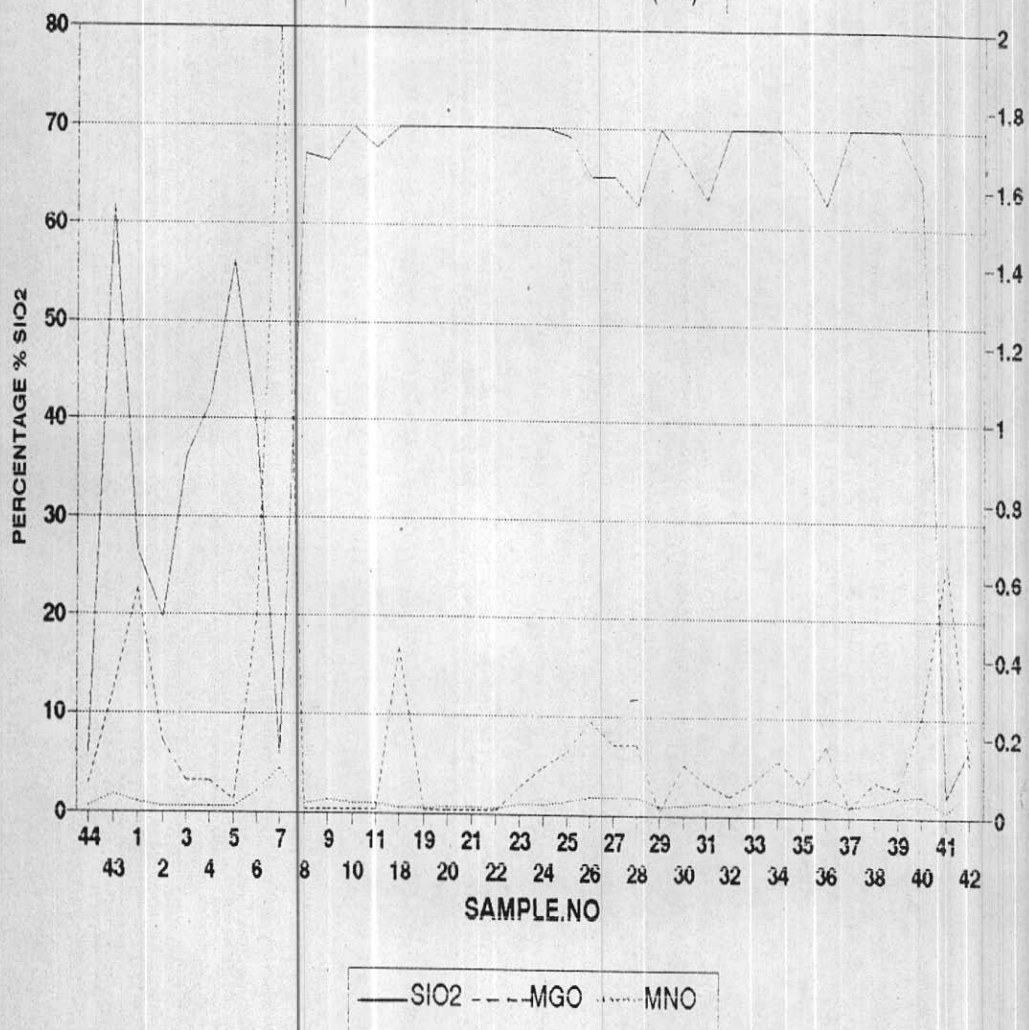
A.A. Beus and S.,V.Grigorian(1975).

Geochemical Exploration Methods for Mineral Deposits.

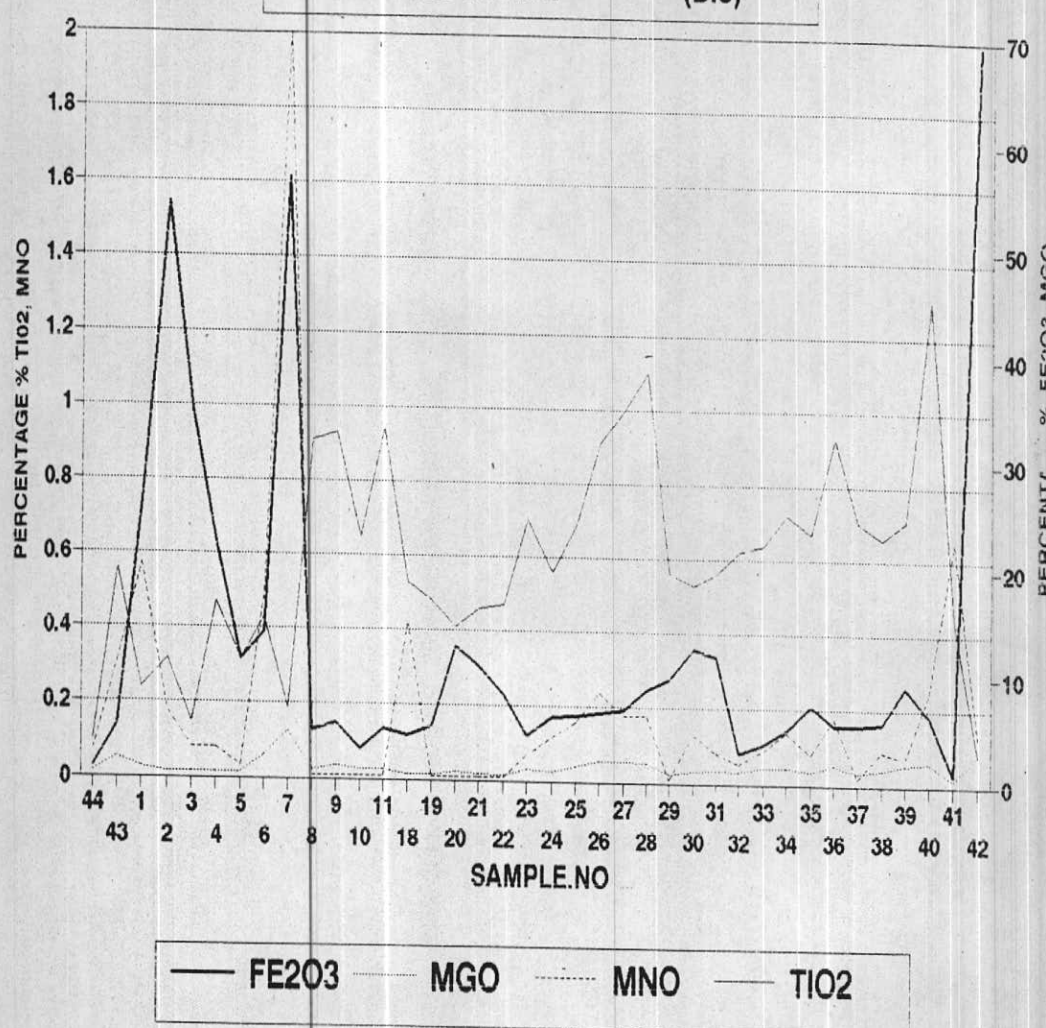
DISTRIBUTION OF SIO<sub>2</sub>, FE<sub>2</sub>O<sub>3</sub>, TiO<sub>2</sub>  
IN KAMO INDICE  
(D. 1)



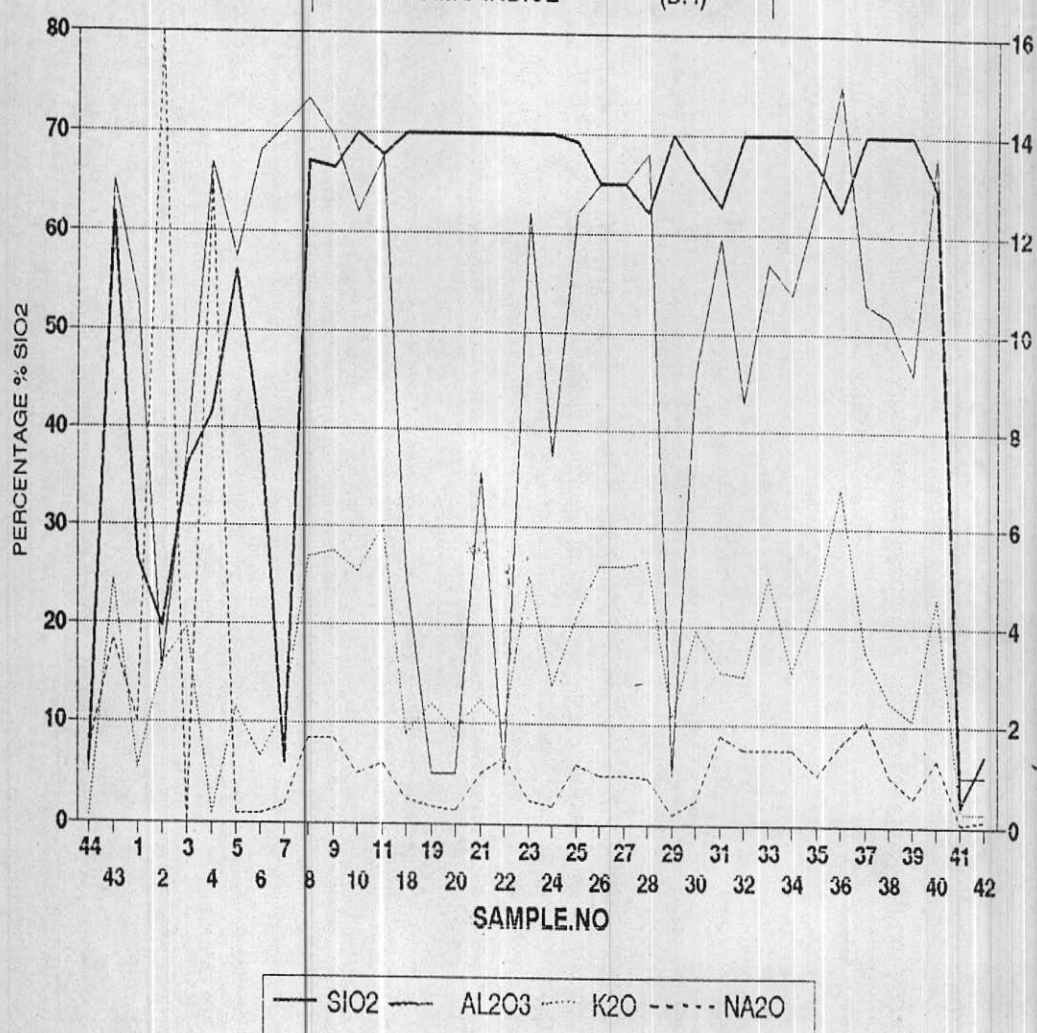
DISTRIBUTION OF SIO<sub>2</sub>,MGO,MNO  
IN KAMO INDICE  
(D.2)



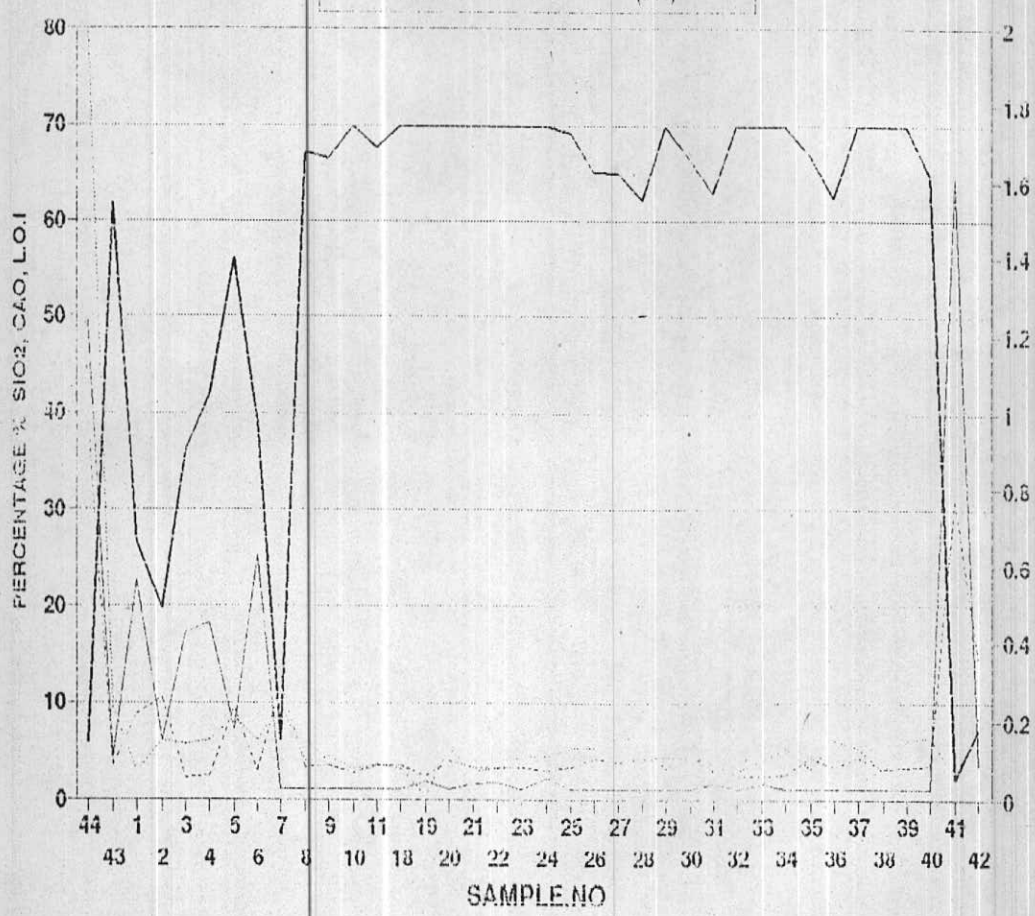
DISTRIBUTION OF  $\text{Fe}_2\text{O}_3$ ,  $\text{MgO}$ ,  $\text{MnO}$ ,  $\text{TiO}_2$   
IN KAMO INDICE  
(D.3)



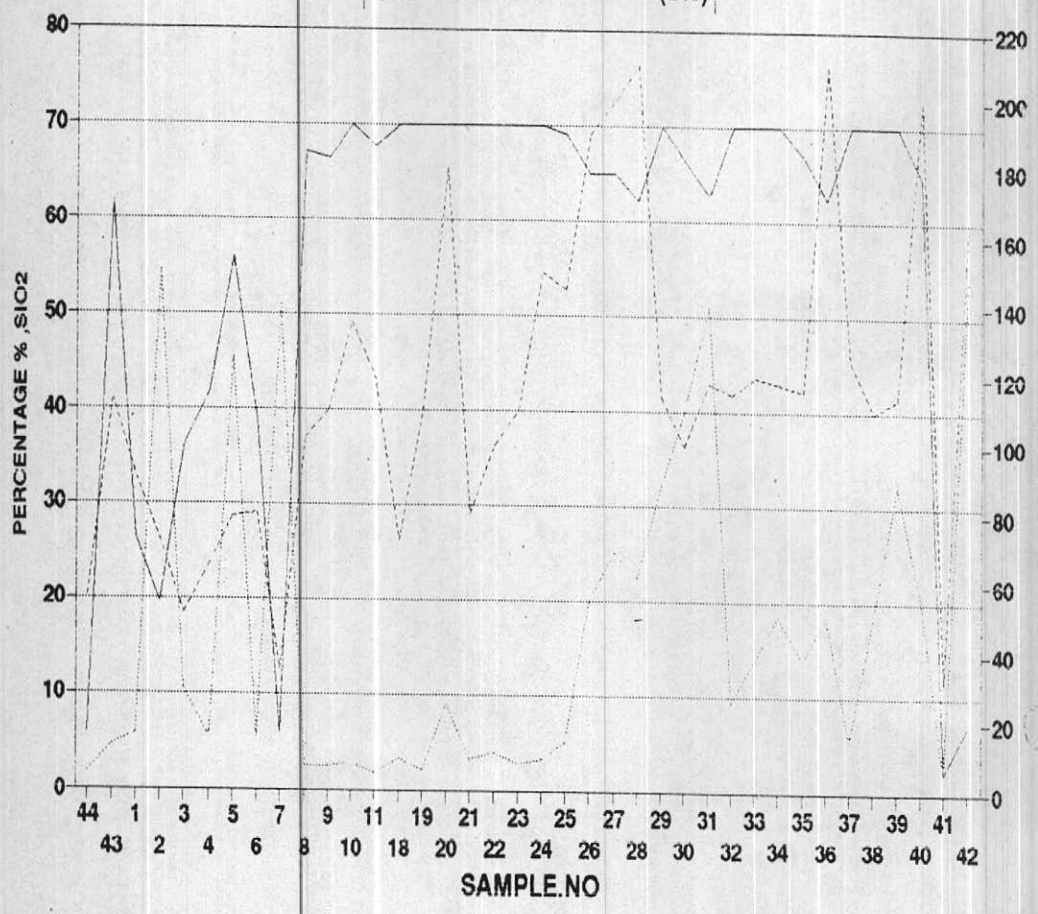
DISTRIBUTION OF SIO<sub>2</sub>, AL<sub>2</sub>O<sub>3</sub>, K<sub>2</sub>O, NA<sub>2</sub>O  
IN KAMO INDICE (D.4)



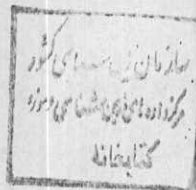
DISTRIBUTION OF SIO<sub>2</sub>, CAO, L.O.I, P205  
IN KAMO INDICE (D.S)



DISTRIBUTION OF  $\text{SiO}_2$ ,  $\text{Ni}$ ,  $\text{V}$   
IN KAMO INDICE  
(D.8)



—  $\text{SiO}_2$  —  $\text{Ni}$  - - -  $\text{V}$



شماره و سریال سنگ : K.Ab.178/3060. D

بافت سنگ : گلومرو پورفیریتیک زمینه میکروکریستالین  
نام سنگ : میکروگرانودیوریت پورفیری .

فنرکریستال :

\*\*\*\*\*

- ۱ - پلازیوکلاز بلورهای نیمه شکل دارو گاه شکل دار فللبَا "باماکل پلی سنتیک و برخی با ساختیان منطقه ای میباشد ، معمولاً" این بلورها مجتمع بوده و تا ۴/۵ میلیمتر قطر دارند ، انکلوزیون آپاتیت و تجزیه کمی به کانیهای رسی و سریسیت و گاه اپیدت ازدیگر ریزگیهای پلازیوکلازها است ، بلورهای آکالانی فلدوپات به میزان کمتر از پلازیوکلاز هم حضور دارد .  
۲ - آمفیبیول (هورنبلند) که بصررت ستونی یامنشوری شکل باحداکثر قطر ۲/۳ میلیمتر هستند که در بعضی تجزیه به کلریت و کربنات و تعدادی اپیدت و کانی کدر رخ داده است ، علاوه بر آمفیبیول پولک های ظرفی ازبیوتیت به مقدار کم هم وجود دارد .

زمینه : ریزدانه و اساساً کوارتز فلدوپاتیک است ، اپیدت ، کربنات کلریت ، لوکرکسن و سایر کانیهای کدرهم در زمینه وجوددارد .

کانیهای ثانویه :

\*\*\*\*\*

کانیهای ثانوی : کانیهای رسی ، سریسیت ، اپیدت ، کلریت ، کربنات .

✓

کانیهای فرعی :

\*\*\*\*\*

کانیهای کدرو اکسید آهن ، آپاتیت

قابل توضیح بمنظیر میرسد که علیرغم اینکه نمره دستی منعکس کننده یک  
تیپ گرانیتی است وبالطبع انتظار وجود پورفیر کوارتز میرود ولی در مقطعی  
کوارتز تنها در خمیره مشاهده گردید.

( تایپ فارسی و لاتین محبی ) .

\*\*\*\*\*

بافت: پورفیرتیک با زمینه هولوکریستالین - میکروگرانولار - بافت نیمه عمیق؟!  
پورفیرها: ۱) فلدوپات، ائرهدرال تا ساب هدرال، با تجزیه وسیع به سریسیت و کاه جانشینی توسط مقادیری کربنات و نیز کلریت ملاحظه شد.

کانیهای زمینه: زمینه سنگ ظاهرها بعلت فراوانی تجزیه به سریسیت و نیز patch های کربنات چندان مشخص و واضح نمیباشد. ظاهرها از تجزیه بدورمانده و میزان آن نیز قابل ملاحظه می باشد، تجمع مواد کلریتی اغلب موجود است.

کانیهای شانویه: سریسیت، کلسیت، لوکوکسن - اسفن  
کانیهای فرعی: کانیهای اپاک

نام: سنگ آذرینی اسیدی، کربناتیزه سریسیتیزه و تاحدی کلریتیزه - سنگ بعلت شدت تجزیه برای مطالعه میکروسکوپی چندان مناسب نیست، سنگ در زیر میکروسکوپ سنگی نیمه عمیق ولی روی نمونه دستی بیشتر و لکانیک بنظر می رسد.

بافت: بطون جوشی پورفیرتیک گرانولار (بافت نیمه عمیق؟)  
کانیها: ۱) پلازیوکلاز، Subhedral با حداکثر قطر ۳ میلیمتر (تصویر پورفیر) با ترکیبی حدود الیزیوکلاز - آندرین؟ ملاحظه شد، فلدوپاتها کاهی در امتداد zon ing به سریسیت و مقادیری کانیهای رسی تجزیه شده است. فلدوپات آکالایک کاهی بصورت حواشی و یا پرکننده فضای بین پلازیوکلازها ظاهر شده است.

۲) کوارتز ، گزنومورف با بعادی بطور متوسط ۱۵٪، میلیمتر وحدود ۱۰٪ حجم کلی سنگ موجود است.

۳) سورنبلاند Suoneland تا گزنومورف موجود است کانی مذکور اورالیتیزده است  
۴) کلینرپیروکسن بمقدار کم و ظاهرًا "بصورت بتایایی و با تجزیه وسیع به اورالیت ملاحظه شد.

۵ - بیوتیت قیوادی ، گزنومورف گاهی موجود است

کانیهای ثانوی : سریسیت ، کانیهای رسی ، اورالیت

کانیهای فرعی : کانیهای اپاک ، آلانیت ، آپاتیت

نام : کوارتز دیوریت

لاراز هان فردیس شنایپر گشتوان

تهران: ایوان آزادی، خیابان میرزا جعفر صندوق هشتاد و چهارم، ۱۳۸۴

شماره

## بسمه تعالى تعاونت تحقیقات آزمایشگاهی امور آزمایشگاهها آزمایشگاه تجزیه شیعیانی

درخواست کننده: آقای بهروز بربنا  
تاریخ درخواست: ۷/۲۰/۷۲  
بهای تجزیه: ۲۲۱،۰۰۰  
شماره گزارش: ۹۴-۱۴۲

شاره زماینده	۸۲۵	۸۲۶	۸۲۳	۸۲۲	۸۱۱	۸۲۰	۸۲۴
G-GB	G-GB	K-AB	K-AB	K-AB	K-AB	K-AB	نمونه
۷۷	۷۹	۷۱	۷۹	۷۸	۷۸	۷۸	۷۸
۸S402							
%Al2O3							
۷/۱۰ ۷۸/۷۷	۷۱/۸۲	۸۲/۷۸	۷۸/۰۱	۷۲/۸۷	۷۳Fe2O3		
%Fe2O3							
%CaO							
%MgO							
%Tl2O2							
%P2O5							
%MnO							
%SO3							
%Na2O							
%K2O							
%L.O.I							

## تجزیه کنندہ ہدایت زادہ

## تأثیر پرستی شهناز احتشامی

مکتبہ رائے

## سازمان اسناد و کتابخانه ملی

هران، مردانه (زیرا) خواهان مراج  
محلی پسی ۱۳۸۶/۱۴۹  
تاریخ: ۱۳۹۰/۰۶/۲۵ کم: ۰۰۰۰۰۲۲۸  
شماره: ۱۷۱

بسمه تعالیٰ  
۲ معاونت تحقیقات آزمایشگاهی  
امور آزمایشگاهها  
آزمایشگاه دلو شیمی

درخواست کنندہ: تاریخ درخواست: کد امور:

عدد: ۱۹ تعداد نمونه: بهای تجزیه:

شماره نمونه	شماره آزمایشگاه	PPm Cu	PPm Co	PPm Zn	PPm Pb	PPm Ag
G - Dsh-29	G-72-420	-	-	145	0.12%	-
30	421	0.11%	-	0.34%	31.27%	27
31	422	7.02%	-	0.54%	1.23%	86
Ds-34	423	714	22	-	-	-
Pg-38	424	3.68%	-	0.49%	0.22%	51
39	425	5.56%	-	1.36%	0.24%	43
V-40	426	-	-	383	5.47%	22
GS-45	427	0.36%	-	318	4.28%	27
46	428	1.74%	-	809	0.48%	27
✓ K-Ab-55	429	521	16	-	-	-
✓ 58	430	224	17	-	-	-
✓ 59	431	233	19	-	-	-
✓ 70	432	62	-	-	-	-
✓ 71	433	0.32%	-	-	-	-

n.d. not detected

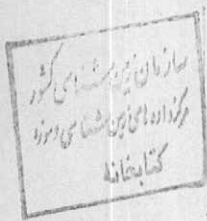
محصور رسانی مکان

سرپرست آزمایشگاه دلو شیمی

تجزیه کنندہ:

سازمان زردهی اسنادی کشور

تهران، میدان آزادی، خیابان مدراج  
شماره پستی: ۱۴۱۹۶، ۱۴۱۸۵، ۱۴۱۸۴



4

بسمه تعالیٰ  
تعاونت تحقیقات آزمایشگاهی  
امور آزمایشگاهها  
آزمایشگاه وشو شیمی

۲۳۶

تعد ادنونه :  
وها و تجزيه :

درخواست کننده:  
تاریخ درخواست:  
کد امور:

شماره نمونه	شماره زماینگاه	PPm Cu	PPm Zn	PPm Pb	PPm CO	PPm Ag
A.B.Z.175	G.72.900	10	-	-	-	-
177	901	-	-	-	-	-
✓ K.Ab.178	902	5	-	-	-	-
✓ 179	903	120	-	-	-	-
✓ 180	904	37	-	-	-	-
✓ 181	905	19	-	-	-	-
✓ 182	906	33	-	-	-	-
✓ 183	907	36	-	-	-	-
✓ 184	908	122	-	-	-	-
✓ 185	909	129	-	-	-	-
B.Z.186	910	28	-	-	48	-

n.d.: not detectable

## محدوده ارثا ارمغان

تجزیه کنندگان: بخشایی



**سازمان زمین شناسی کشور**

گروه آزمایشگاهی اسپکترومتری  
امور آزمایشگاهی

SPECTROMETRIC LABORATORIES  
GEOLOGICAL SURVEY OF IRAN

Report No.

نمره ۷ از ۲ مفعه : M.72-34  
است کنندۀ :

Requested by :

درخواست : خ

Date of Request :

کراش : خ

Date of Report :

بلک : نه

Plate No.:

ردیف : نه

JOB No.:

هزینه آزمایشات :

**QUANTITATIVE**

**ANALYSIS REPORT**

The results reported in.

ش آنالیز کمی لسمدوده میباشد

The error of measurement is +

مح آزمایش بر حسب مدت اندازه گیری % است

Symbols used :

بکار رفته : مبکار

" $< a$ " : less than a :

اگرتر از " $< a$ "

" $> a$ " : greater than a :

بیشتر از " $> a$ "

blank space : not requested.

خلالی : در خواست نشده است

Field No.	5	6	7	8	9	10	Field No.	5	6	7	8	9
Lab. No.	~72-774	775	776	777	778	779	Lab. No.	~72-774	775	776	777	778
SiO <sub>2</sub>	56.1	38.9	6.8	67.1	66.5	>70.0	Ta					
Al <sub>2</sub> O <sub>3</sub>	11.5	13.6	14.1	14.7	13.9	12.4	Te					
Fe <sub>2</sub> O <sub>3</sub>	11.1	13.6	56.5	4.6	5.3	2.9	Th					
MgO	.50	2.1	4.5	.87	1.3	1.0	Tl					
CaO	7.2	25.3	1.1	<1.0	<1.0	<1.0	U					
P <sub>2</sub> O <sub>5</sub>	.21	.15	.25	-10	.11	.08	V	79	80	35	102	110
Na <sub>2</sub> O	.16	.19	.38	1.7	1.7	1.0	W					
K <sub>2</sub> O	2.3	1.3	2.3	5.4	5.5	5.1	Y	34	19	25	16	19
TiO <sub>2</sub>	.32	.43	.19	.91	.93	.65	Yb	<10	<10	<10	<10	<10
MnO	.03	.5	2.0	<.01	.01	.01	Zn	1000	180	>1000	66	73
L.O.I	9.48	2.93	12.03	3.33	3.47	2.71	Zr					
Ag	1	<1	1	<1	<1	<1	Pr					
As							Nd					
Au							Sm	-				
B	72	12	85	52	42	60	Eu					
Ba	55	52	47	530	600	365	Gd					
Be	<3	<3	<3	<3	<3	<3	Tb					
Bi	<5	<5	<5	<5	<5	<5	Dy					
Cd							Ho					
Ce							Er					
Co	29	9	20	<5	<5	<5	Tm					
Cr	68	81	30	85	105	131	Lu					
Cu	71000	51	>1000	210	300	145	Ir					
Ga	36	14	36	21	33	25	Os					
Ge							Rh					
Hf							Ru					
Hg							Se					
In	<5	<5	<5	<5	<5	<5	Cs					
La							Rb					
Li												
Mo												
Nb												
Ni	125	15	140	7	7	8						
Pb	13	5	200	8	13	6						
Pd												
Pt												
Re												
Sb												
Sc	31	16	26	12	16	14						
Sn	20	<10	*	<10	<10	<10						
Sr	39	51	51	140	155	63						

جزیه کنندۀ :

Approved :

شید مسئول :

No. of sheets

## ازمیان زمین شناسی کشور

کروه آزمایشگاه های اسپکتروماتری  
امور آزمایشگاه ها

صفحه ۳ از ۷

SPECTROMETRIC LABORATORIES  
GEOLOGICAL SURVEY OF IRAN

Report No.

M.72-34

Requested by :

نامه گزارش:

Date of Request :

درخواست کننده:

Date of Report :

تاریخ درخواست:

Plate No.:

تاریخ گزارش:

JOB No.

هزینه آزمایشات:

نامه پلاک:

## QUANTITATIVE

## ANALYSIS REPORT

The results reported in.

میباشد

The error of measurement is +  
Symbols used :

+ است.

" $< a$ " : less than a :

نژارش آنالیز کمی اسقاط مردمی

" $> a$ " : greater than a :

نتایج آزمایش بر حسب

blank space : not requested.

خطای متد اندازه گیری %

جای خالی : در خواست نشده است.

• کمتر از " $< a$ "• بیشتر از " $> a$ "

• جای خالی : در خواست نشده است.

Field No.	11R	18	19	20	21	22	Field No.	11R	18	19	20	21	22
Lab. No.	780	781	782	783	784	785	Lab. No.	780	781	782	783	784	785
SiO <sub>2</sub>	67.7	>70.0	>70.0	>70.0	>70.0	>70.0	Ta						
Al <sub>2</sub> O <sub>3</sub>	13.5	5.0	<1.0	<1.0	7.1	<1.0	Te						
Fe <sub>2</sub> O <sub>3</sub>	4.7	4.1	5.0	12.6	10.7	8.1	Th						
MgO	1.0	<0.5	<0.5	<0.5	<0.5	<0.5	Tl						
CaO	<1.0	<1.0	1.8	<1.0	1.6	1.7	U						
P2O <sub>5</sub>	.09	.08	<.01	.13	.07	.08	V	120	72	110	180	30	100
Na <sub>2</sub> O	1.2	4.9	32	28	1.0	1.3	W						
K <sub>2</sub> O	6.0	1.8	2.4	1.9	2.5	2.0	Y	18	19	20	21	16	16
TiO <sub>2</sub>	.94	.53	4.8	4.1	4.6	4.7	Yb	<10	<10	<10	<10	<10	<10
MnO	<.01	.42	<.01	<.01	<.01	<.01	Zn	68	105	122	119	89	12
L.O.I	3.43	3.43	2.26	3.75	3.25	3.31	Zr						
Ag	<1	1	<1	<1	<1	3	Pr						
As							Nd						
Au							Sm						
B	86	51	21	49	42	53	Eu						
Ba	360	86	190	110	580	109	Gd						
Be	<3	<3	<3	<3	<3	<3	Tb						
Bi	<5	<5	<5	<5	<5	<5	Dy						
Cd							Ho						
Ce							Er						
Co	<5	<5	6	18	7	8	Tm						
Cr	100	95	180	135	95	100	Lu						
Cu	115	125	61	180	115	120	Ir						
Ga	36	21	20	19	22	21	Os						
Ge							Rh						
Hf							Ru						
Hg							Se						
In	<5	<5	<5	<5	<5	<5	Cs						
La							Rb						
Li													
Mo													
Nb													
Ni	<5	9	6	25	9	11							
Pb	6	8	8	9	10	260							
Pd													
Pt													
Re													
Sb													
Sc	15	11	13	18	12	14							
Sn	<10	<10	<10	<10	<10	<10							
Sr	75	56	105	92	240	65							

تجزیه کننده:

Approved :

تجزیه کننده:

تأثید مسئول:

No. of sheets

## سازمان زمین شناسی کشور

گروه آزمایشگاهی اسپکترومتری  
امور آزمایشگاهیSPECTROMETRIC LABORATORIES  
GEOLOGICAL SURVEY OF IRAN

M.72-34

Report No.

Requested by :

Date of Request :

Date of Report :

Plate No.:

JOB No.

نامه گزارش:

درخواست کننده:

تاریخ درخواست:

نامه گزارش:

نامه پلاک:

هزینه آزمایشات:

نامه ردیف:

## QUANTITATIVE

## ANALYSIS REPORT

The results reported in.

The error of measurement is  $\pm$ 

Symbols used :

" $< a$ " : less than a :" $> a$ " : greater than a :

blank space : not requested.

زارش آنالیز کمی امعنیترین

میباشد

نایاب آزمایش بر حسب

طای متد اندازه کیری % است.

لائم بکار رفته:

"  $< a$  " : کمتر از a"  $> a$  " : بیشتر از a

نایاب خالی : درخواست نشده است.

Field No.	23	24	25	26	27	28	Field No.	23	24	25	26	27	28
Lab. No.	786	787	788	789	790	791	Lab. No.	786	787	788	789	790	791
SiO <sub>2</sub>	70.0	70.0	69.1	65.1	65.0	62.1	Ta						
Al <sub>2</sub> O <sub>3</sub>	12.4	7.5	12.4	13.0	13.0	13.6	Te						
Fe <sub>2</sub> O <sub>3</sub>	4.3	6.1	6.2	6.5	6.8	3.6	Th						
MgO	1.0	1.0	1.4	1.9	1.9	1.8	Tl						
CaO	21.0	2.2	<1.0	<1.0	<1.0	<1.0	U						
P <sub>2</sub> O <sub>5</sub>	0.11	0.11	0.13	0.13	0.16	0.15	V	110	150	145	190	200	210
Na <sub>2</sub> O	0.47	0.37	1.2	0.97	0.77	0.93	W						
K <sub>2</sub> O	5.0	2.8	4.2	5.2	5.2	5.3	Y	16	19	18	25	31	32
TiO <sub>2</sub>	0.70	0.56	0.69	0.91	1.0	1.1	Yb	<10	<10	<10	<10	<10	<10
MnO	0.07	0.12	0.16	0.24	0.18	0.18	Zn	123	199	114	103	113	182
L.O.I	3.29	3.00	3.30	4.16	3.79	4.14	Zr						

Ag	1	1	<1	<1	<1	<1	Pr						
As							Nd						
Au							Sm	-					
B	100	85	90	71	100	102	Eu						
Ba	265	225	290	321	420	340	Gd						
Be	<3	<3	<3	<3	<3	<3	Tb						
Bi	25	<5	<5	<5	<5	<5	Dy						
Cd							Ho						
Ce							Er						
Co	6	9	11	21	15	19	Tm						
Cr	110	110	95	114	150	114	Lu						
Cu	69	71	75	45	60	81	Ir						
Ga	26	18	20	20	26	25	Os						
Ge							Rh						
Hf							Ru						
Hg							Se						
In	<5	<5	<5	<5	<5	<5	Cs						
La							Rb						
Li													
Mo													
Nb													
Ni	8	9	14	55	69	62							
Pb	320	260	85	110	250	180							
Pd													
Pt													
Re													
Sb													
Sc	14	14	15	20	24	24							
Sn	<10	<10	<10	<10	<10	<10							
Sr	70	76	69	71	63	55							

جزئیه کننده:

Approved :

نید مسئول:

سازمان زمین شناسی کشور

گروه آزمایشگاهی اسپکترومتری  
امور آزمایشگاهی

SPECTROMETRIC LABORATORIES

GEOLOGICAL SURVEY OF IRAN

مکارش: ۷۲.۳۴

است گندنه:

درخواست:

گارش:

بلک:

ردیف:

Report No.

Requested by :

Date of Request :

Date of Report :

Plate No.:

JOB No.

QUANTITATIVE

ANALYSIS REPORT

The results reported in.

آنالیز کمی این مجموعه

The error of measurement is +

آزمایش بر حسب

Symbols used :

میباشد

" $< a$ " : less than a :

کمتر از "a"

" $> a$ " : greater than a :

بیشتر از "a"

blank space : not requested.

خالی : در خواست نشده است

Field No.	29	30	31	32	33	34	Field No.	29	30	31	32	33
Lab. No.	M.72 792	--	--	--	--	--	Lab. No.	M.72 792	--	--	--	--
SiO <sub>2</sub>	>70.0	66.3	62.8	>70.0	>70.0	>70.0	Ta					
Al <sub>2</sub> O <sub>3</sub>	<1.0	9.2	11.9	8.6	11.4	10.8	Te					
Fe <sub>2</sub> O <sub>3</sub>	9.7	12.6	11.9	9.8	3.7	5.0	Th					
MgO	.81	1.1	1.2	1.1	1.5	1.6	Tl					
CaO	<1.0	<1.0	1.6	<1.0	1.5	1.0	U					
P2O <sub>5</sub>	.08	.13	.07	.07	.10	.13	V	114	100	118	115	120
Na <sub>2</sub> O	.20	.46	1.8	1.5	1.5	1.5	W					
K <sub>2</sub> O	2.1	3.9	3.1	3.0	5.0	3.1	Y	30	30	36	29	26
TiO <sub>2</sub>	.56	.53	.56	.62	.64	.72	Yb	<10	<10	<10	<10	<10
MnO	.01	.13	.08	.05	.09	.14	Zn	116	580	240	117	94
L.O.I	4.23	4.27	3.65	2.28	2.27	2.44	Zr					

Ag	<1	<1	<1	<1	<1	<1	Pr					
As							Nd					
Au							Sm	-				
B	50	150	91	300	69	21	Eu					
Ba	180	290	300	320	305	310	Gd					
Be	<3	<3	<3	<3	<3	<3	Tb					
Bi	<5	<5	<5	<5	<5	<5	Dy					
Cd							Ho					
Ce							Er					
Co	14	33	58	14	18	52	Tm					
Cr	165	110	150	180	145	171	Lu					
Cu	170	165	62	61	29	73	Ir					
Ga	20	19	19	18	21	25	Os					
Ge							Rh					
Hf							Ru					
Hg							Se					
In	<5	<5	<5	<5	<5	<5	Cs					
La							Rb					
Li												
Mo												
Nb												
Ni	89	110	140	26	38	51						
Pb	120	380	85	19	<5	25						
Pd												
Pt												
Re												
Sh												
Sc	20	13	25	20	21	24						
Sn	15	36	10	<10	<10	<10						
Sr	49	41	114	101	100	110						

Analysis by :

زیه گندنه :

Approved :

شید مسئول :

No. of sheets

## سازمان زمین‌شناسی کشور

گروه آزمایشگاهی اسپکترومتری

آزمایشگاه

Report No.

SPECTROMETRIC LABORATORIES  
GEOLOGICAL SURVEY OF IRAN

M.72-34

Requested by :

نامه‌گزارش:  
رخواست‌کننده:

Date of Request :

اریخ درخواست:

Date of Report :

تاریخ کزارش:

Plate No.:

نامه پلاک:

JOB No.

هزینه آزمایشات:

نامه ردیف:

## QUANTITATIVE

## ANALYSIS REPORT

The results reported in.

سازمان آنالیز کمی اسپکترومتری

میباشد

تایخ آزمایش بر حسب

The error of measurement is +

+ است.

Symbols used :

نطای متد اندازه گیری %

" $< a$ " : less than a :

"کمتر از " &lt; a "

"&gt; a" : greater than a :

بیشتر از " &gt; a "

blank space : not requested.

بای خالی : در خواست نشده است.

Field No.	41R	7(1)
Lab. No.	804	805
SiO <sub>2</sub>	61.8	5.9
Al <sub>2</sub> O <sub>3</sub>	13.0	<1.0
Fe <sub>2</sub> O <sub>3</sub>	4.9	<1.0
MgO	1.8	<.5
CaO	4.3	49.5
P <sub>2</sub> O <sub>5</sub>	.23	2.0
Na <sub>2</sub> O	3.7	1.4
K <sub>2</sub> O	4.9	<.10
TiO <sub>2</sub>	.56	<.10
MnO	.31	.07
L.O.I	3.39	38.99

Field No.	41R	7(1)
Lab. No.	804	805
Ta		
Te		
Th		
Tl		
U		
V	113	56
W		
Y	15	14
Yb	110	<10
Zn	79	220
Zr		

Aq	<1	1
As		
Au		
B	21	<5
Ba	>100	31
Be	<3	<3
Bi	<5	<5
Cd		
Ce		
Co	18	13
Cr	100	25
Cu	49	37
Ga	20	<5
Ge		
Hf		
Hg		
In	<5	<5
La		
Li		
Mo		
Nb		

Pr		
Nd		
Sm		-
Eu		
Gd		
Tb		
Dy		
Cd		
Ho		
Er		
Tm		
Lu		
Ir		
Os		
Rh		
Ru		
Se		
Cs		
Rb		

Ni	13	<5
Pb	38	<5
Pd		
Pt		
Re		
Sb		
Sc	14	11
Sn	<10	<10
Sr	340	200

تجزیه کننده:

Approved :

تئید مسئول:

No. of sheets

## سازمان زمین‌شناسی کشور

گروه آزمایشگاهی اسکترومتری  
امور آزمایشگاهی

مفعه ۷ از ۷

SPECTROMETRIC LABORATORIES  
GEOLOGICAL SURVEY OF IRAN

M.72-34

Report No.

Requested by :

Date of Request :

Date of Report :

Plate No.:

JOB No.

صاریحگزارش:

خراست کننده:

اریخ درخواست:

تاریخ گزارش:

سواره پلاک:

هزینه آزمایشات:

شماره ردیف:

## QUANTITATIVE

## ANALYSIS REPORT

The results reported in.

میباشد

The error of measurement is + -

+ است.

Symbols used :

نیاز آنالیز کمی اعمده را می

تایپ آزمایش بر حسب

خطای متد اندازه گیری %

لائم بکار رفته:

" $< a$ " : less than a :کمتر از " $< a$ "" $> a$ " : greater than a :بیشتر از " $> a$ "

blank space : not requested.

بای خالی : در خواست نشده است.

Field No.	41R	7U)
Lab. No.	804	805
SiO <sub>2</sub>	61.8	5.9
Al <sub>2</sub> O <sub>3</sub>	13.0	<1.0
Fe <sub>2</sub> O <sub>3</sub>	4.9	<1.0
MgO	1.8	<.5
CaO	4.3	49.5
P <sub>2</sub> O <sub>5</sub>	.23	2.0
Na <sub>2</sub> O	3.7	1.4
K <sub>2</sub> O	4.9	<.10
TiO <sub>2</sub>	.56	<.10
MnO	.31	.07
L.O.I	3.39	38.99

Field No.	41R	7U)
Lab. No.	804	805
Ta		
Te		
Th		
Tl		
U		
V	113	56
W		
Y	15	14
Yb	10	<10
Zn	79	220
Zr		

Ag	<1	1
As		
Au		
B	21	<5
Ba	>1000	31
Be	<3	<3
Bi	<5	<5
Cd		
Ce		
Co	18	13
Cr	100	25
Cu	49	37
Ga	20	<5
Ge		
Hf		
Hg		
In	<5	<5
La		
Li		
Mo		
Nb		
Ni	13	<5
Pb	38	<5
Pd		
Pt		
Re		
Sb		
Sc	14	11
Sn	<10	<10
Sr	340	200

Pr		
Nd		
Sm	-	
Eu		
Gd		
Tb		
Dy		
Ho		
Er		
Tm		
Lu		
Ir		
Os		
Rh		
Ru		
Se		
Cs		
Rb		

Analysis by :

تجزیه کننده:

Approved :

تأید مسئول: